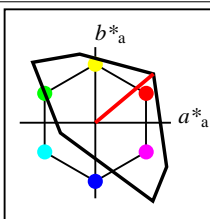


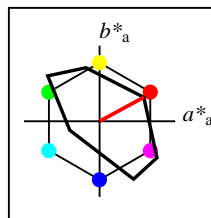
%Umfang  
 $u^*_{rel} = 158$   
%Regularität  
 $g^*_{H,rel} = 20$   
 $g^*_{C,rel} = 37$

TLS00	$L^*=L^*_a$	$a^*_a$	$b^*_a$	$C^*_{ab,a}$	$h^*_{ab,a}$
O <sub>Ma</sub>	50.5	76.91	64.55	100.41	40
Y <sub>Ma</sub>	92.66	-20.67	90.75	93.08	103
L <sub>Ma</sub>	83.62	-82.73	79.9	115.02	136
C <sub>Ma</sub>	86.88	-46.14	-13.53	48.1	196
V <sub>Ma</sub>	30.39	76.06	-103.59	128.52	306
M <sub>Ma</sub>	57.31	94.35	-58.39	110.96	328
N <sub>Ma</sub>	0.01	0.0	0.0	0.0	0
W <sub>Ma</sub>	95.41	0.0	0.0	0.0	0
R <sub>CIE</sub>	39.92	58.74	27.99	65.07	25
J <sub>CIE</sub>	81.26	-2.88	71.56	71.62	92
G <sub>CIE</sub>	52.23	-42.41	13.6	44.55	162
B <sub>CIE</sub>	30.57	1.41	-46.46	46.49	272



%Umfang  
 $u^*_{rel} = 158$   
%Regularität  
 $g^*_{H,rel} = 20$   
 $g^*_{C,rel} = 37$

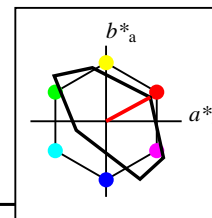
TLS00a; adaptierte CIELAB-Daten	$L^*=L^*_a$	$a^*_a$	$b^*_a$	$C^*_{ab,a}$	$h^*_{ab,a}$
O <sub>Ma</sub>	50.5	76.91	64.55	100.41	40
Y <sub>Ma</sub>	92.66	-20.67	90.75	93.08	103
L <sub>Ma</sub>	83.62	-82.73	79.9	115.02	136
C <sub>Ma</sub>	86.88	-46.14	-13.53	48.1	196
V <sub>Ma</sub>	30.39	76.06	-103.59	128.52	306
M <sub>Ma</sub>	57.31	94.35	-58.39	110.96	328
N <sub>Ma</sub>	0.01	0.0	0.0	0.0	0
W <sub>Ma</sub>	95.41	0.0	0.0	0.0	0
R <sub>CIE</sub>	39.92	58.74	27.99	65.07	25
J <sub>CIE</sub>	81.26	-2.88	71.56	71.62	92
G <sub>CIE</sub>	52.23	-42.41	13.6	44.55	162
B <sub>CIE</sub>	30.57	1.41	-46.46	46.49	272



%Umfang  
 $u^*_{rel} = 72$   
%Regularität  
 $g^*_{H,rel} = 26$   
 $g^*_{C,rel} = 45$

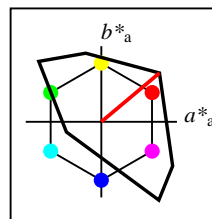
TLS38a; adaptierte CIELAB-Daten	$L^*=L^*_a$	$a^*_a$	$b^*_a$	$C^*_{ab,a}$	$h^*_{ab,a}$
O <sub>Ma</sub>	58.77	58.45	31.73	66.51	28
Y <sub>Ma</sub>	92.98	-18.1	70.81	73.09	104
L <sub>Ma</sub>	85.11	-68.57	60.02	91.14	139
C <sub>Ma</sub>	87.92	-39.41	-11.86	41.17	197
V <sub>Ma</sub>	46.64	44.93	-76.55	88.77	300
M <sub>Ma</sub>	63.71	75.92	-48.21	89.94	328
N <sub>Ma</sub>	37.99	0.0	0.0	0.0	0
W <sub>Ma</sub>	95.41	0.0	0.0	0.0	0
R <sub>CIE</sub>	39.92	58.74	27.99	65.07	25
J <sub>CIE</sub>	81.26	-2.88	71.56	71.62	92
G <sub>CIE</sub>	52.23	-42.41	13.6	44.55	162
B <sub>CIE</sub>	30.57	1.41	-46.46	46.49	272

Workflow-Wahlen  
für Farbmuster:  
1. keine Farbänderung  
2. Buntton-Änderung  
3. Buntheits-Änderung



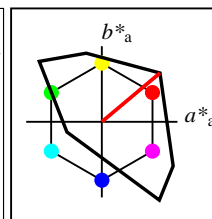
%Umfang  
 $u^*_{rel} = 72$   
%Regularität  
 $g^*_{H,rel} = 26$   
 $g^*_{C,rel} = 45$

TLS38a; adaptierte CIELAB-Daten	$L^*=L^*_a$	$a^*_a$	$b^*_a$	$C^*_{ab,a}$	$h^*_{ab,a}$
O <sub>Ma</sub>	58.77	58.45	31.73	66.51	28
Y <sub>Ma</sub>	92.98	-18.1	70.81	73.09	104
L <sub>Ma</sub>	85.11	-68.57	60.02	91.14	139
C <sub>Ma</sub>	87.92	-39.41	-11.86	41.17	197
V <sub>Ma</sub>	46.64	44.93	-76.55	88.77	300
M <sub>Ma</sub>	63.71	75.92	-48.21	89.94	328
N <sub>Ma</sub>	37.99	0.0	0.0	0.0	0
W <sub>Ma</sub>	95.41	0.0	0.0	0.0	0
R <sub>CIE</sub>	39.92	58.74	27.99	65.07	25
J <sub>CIE</sub>	81.26	-2.88	71.56	71.62	92
G <sub>CIE</sub>	52.23	-42.41	13.6	44.55	162
B <sub>CIE</sub>	30.57	1.41	-46.46	46.49	272



%Umfang  
 $u^*_{rel} = 158$   
%Regularität  
 $g^*_{H,rel} = 20$   
 $g^*_{C,rel} = 37$

TLS00a; adaptierte CIELAB-Daten	$L^*=L^*_a$	$a^*_a$	$b^*_a$	$C^*_{ab,a}$	$h^*_{ab,a}$
O <sub>Ma</sub>	50.5	76.91	64.55	100.41	40
Y <sub>Ma</sub>	92.66	-20.67	90.75	93.08	103
L <sub>Ma</sub>	83.62	-82.73	79.9	115.02	136
C <sub>Ma</sub>	86.88	-46.14	-13.53	48.1	196
V <sub>Ma</sub>	30.39	76.06	-103.59	128.52	306
M <sub>Ma</sub>	57.31	94.35	-58.39	110.96	328
N <sub>Ma</sub>	0.01	0.0	0.0	0.0	0
W <sub>Ma</sub>	95.41	0.0	0.0	0.0	0
R <sub>CIE</sub>	39.92	58.74	27.99	65.07	25
J <sub>CIE</sub>	81.26	-2.88	71.56	71.62	92
G <sub>CIE</sub>	52.23	-42.41	13.6	44.55	162
B <sub>CIE</sub>	30.57	1.41	-46.46	46.49	272



%Umfang  
 $u^*_{rel} = 158$   
%Regularität  
 $g^*_{H,rel} = 20$   
 $g^*_{C,rel} = 37$

TLS00	$L^*=L^*_a$	$a^*_a$	$b^*_a$	$C^*_{ab,a}$	$h^*_{ab,a}$
O <sub>Ma</sub>	50.5	76.91	64.55	100.41	40
Y <sub>Ma</sub>	92.66	-20.67	90.75	93.08	103
L <sub>Ma</sub>	83.62	-82.73	79.9	115.02	136
C <sub>Ma</sub>	86.88	-46.14	-13.53	48.1	196
V <sub>Ma</sub>	30.39	76.06	-103.59	128.52	306
M <sub>Ma</sub>	57.31	94.35	-58.39	110.96	328
N <sub>Ma</sub>	0.01	0.0	0.0	0.0	0
W <sub>Ma</sub>	95.41	0.0	0.0	0.0	0
R <sub>CIE</sub>	39.92	58.74	27.99	65.07	25
J <sub>CIE</sub>	81.26	-2.88	71.56	71.62	92
G <sub>CIE</sub>	52.23	-42.41	13.6	44.55	162
B <sub>CIE</sub>	30.57	1.41	-46.46	46.49	272

Relatives CIELAB-Buntheitsdiagramm: ( $a_R^* = lab^*a$ ,  $b_R^* = lab^*b$ ) und absolutes CIELAB Bunttondreiecks-Diagramm: ( $L^*$ ,  $C_{ab}^*$ ) für Ein- (—) und Ausgabe (---)  
TLS00: Eingabe (i) Farbmatrik-Sytem; Sechs Bunttonwinkel des Farbgerätes: (40.0, 102.8, 136.0, 196.4, 306.3, 328.2); Vier Bunttonwinkel der Elementarfarben: (25.5, 92.3, 162.2, 271.7)  
TLS00: Ausgabe (o) Farbmatrik-Sytem; Sechs Bunttonwinkel des Farbgerätes: (40.0, 102.8, 136.0, 196.4, 306.3, 328.2); Vier Bunttonwinkel der Elementarfarben: (25.5, 92.3, 162.2, 271.7)

#### Y Gelb

$olv3Mi = 1.0 \ 1.0 \ 0.0$   
 $olv3Mo = 1.0 \ 1.0 \ 0.0$   
 $LCHMi = 92.7 \ 93.1 \ 103$   
 $LCHo = 92.7 \ 93.1 \ 103$   
 $tchMi = 0.5 \ 1.0 \ 0.286$   
 $tchMo = 0.5 \ 1.0 \ 0.286$

#### L Laubgrün

$olv3Mi = 0.0 \ 1.0 \ 0.0$   
 $olv3Mo = 0.0 \ 1.0 \ 0.0$   
 $LCHMi = 83.6 \ 115.0 \ 136$   
 $LCHo = 83.6 \ 115.0 \ 136$   
 $tchMi = 0.5 \ 1.0 \ 0.378$   
 $tchMo = 0.5 \ 1.0 \ 0.378$

#### C Cyanblau

$olv3Mi = 0.0 \ 1.0 \ 1.0$   
 $olv3Mo = 0.0 \ 1.0 \ 1.0$   
 $LCHMi = 86.9 \ 48.1 \ 196$   
 $LCHo = 86.9 \ 48.1 \ 196$   
 $tchMi = 0.5 \ 1.0 \ 0.545$   
 $tchMo = 0.5 \ 1.0 \ 0.545$

#### O Orangerot

$olv3Mi = 1.0 \ 0.0 \ 0.0$   
 $olv3Mo = 1.0 \ 0.0 \ 0.0$   
 $LCHMi = 50.5 \ 100.4 \ 40$   
 $LCHo = 50.5 \ 100.4 \ 40$   
 $tchMi = 0.5 \ 1.0 \ 0.111$   
 $tchMo = 0.5 \ 1.0 \ 0.111$

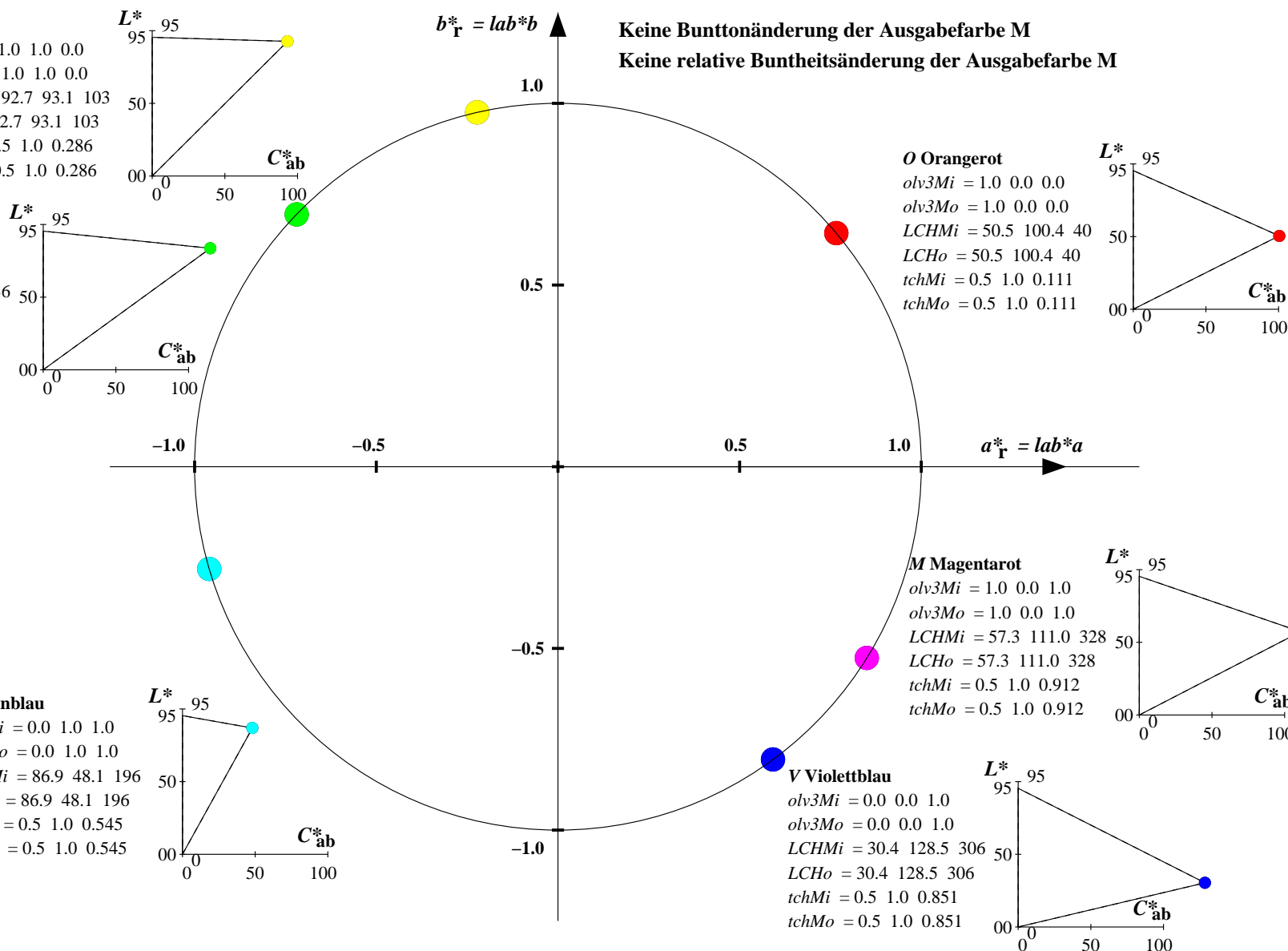
#### M Magentarot

$olv3Mi = 1.0 \ 0.0 \ 1.0$   
 $olv3Mo = 1.0 \ 0.0 \ 1.0$   
 $LCHMi = 57.3 \ 111.0 \ 328$   
 $LCHo = 57.3 \ 111.0 \ 328$   
 $tchMi = 0.5 \ 1.0 \ 0.912$   
 $tchMo = 0.5 \ 1.0 \ 0.912$

#### V Violettblau

$olv3Mi = 0.0 \ 0.0 \ 1.0$   
 $olv3Mo = 0.0 \ 0.0 \ 1.0$   
 $LCHMi = 30.4 \ 128.5 \ 306$   
 $LCHo = 30.4 \ 128.5 \ 306$   
 $tchMi = 0.5 \ 1.0 \ 0.851$   
 $tchMo = 0.5 \ 1.0 \ 0.851$

Keine Bunttonänderung der Ausgabefarbe M  
Keine relative Buntheitsänderung der Ausgabefarbe M



Relatives CIELAB-Buntheitsdiagramm: ( $a^*_r = lab^*a$ ,  $b^*_r = lab^*b$ ) und absolutes CIELAB Bunttondreiecks-Diagramm: ( $L^*$ ,  $C^*_{ab}$ ) für Ein- (---) und Ausgabe (----) TLS00: Eingabe (i) Farbmatrik-Sytem; Sechs Bunttonwinkel des Farbgerätes: (40.0, 102.8, 136.0, 196.4, 306.3, 328.2); Vier Bunttonwinkel der Elementarfarben: (25.5, 92.3, 162.2, 271.7)  
TLS00: Ausgabe (o) Farbmatrik-Sytem; Sechs Bunttonwinkel des Farbgerätes: (40.0, 102.8, 136.0, 196.4, 306.3, 328.2); Vier Bunttonwinkel der Elementarfarben: (25.5, 92.3, 162.2, 271.7)

#### Y Gelb

olv3Mi = 1.0 1.0 0.0  
olv3Mo = 0.698 1.0 0.0  
LCHMi = 92.7 93.1 103  
LCHo = 89.9 99.7 113  
tchMi = 0.5 1.0 0.286  
tchMo = 0.5 1.0 0.313

#### L Laubgrün

olv3Mi = 0.0 1.0 0.0  
olv3Mo = 0.0 1.0 0.166  
LCHMi = 83.6 115.0 136  
LCHo = 84.2 103.9 146  
tchMi = 0.5 1.0 0.378  
tchMo = 0.5 1.0 0.406

#### C Cyanblau

olv3Mi = 0.0 1.0 1.0  
olv3Mo = 0.0 0.909 1.0  
LCHMi = 86.9 48.1 196  
LCHo = 81.7 55.4 206  
tchMi = 0.5 1.0 0.545  
tchMo = 0.5 1.0 0.573

#### O Orangerot

olv3Mi = 1.0 0.0 0.0  
olv3Mo = 1.0 0.159 0.0  
LCHMi = 50.5 100.4 40  
LCHo = 57.2 99.2 50  
tchMi = 0.5 1.0 0.111  
tchMo = 0.5 1.0 0.139

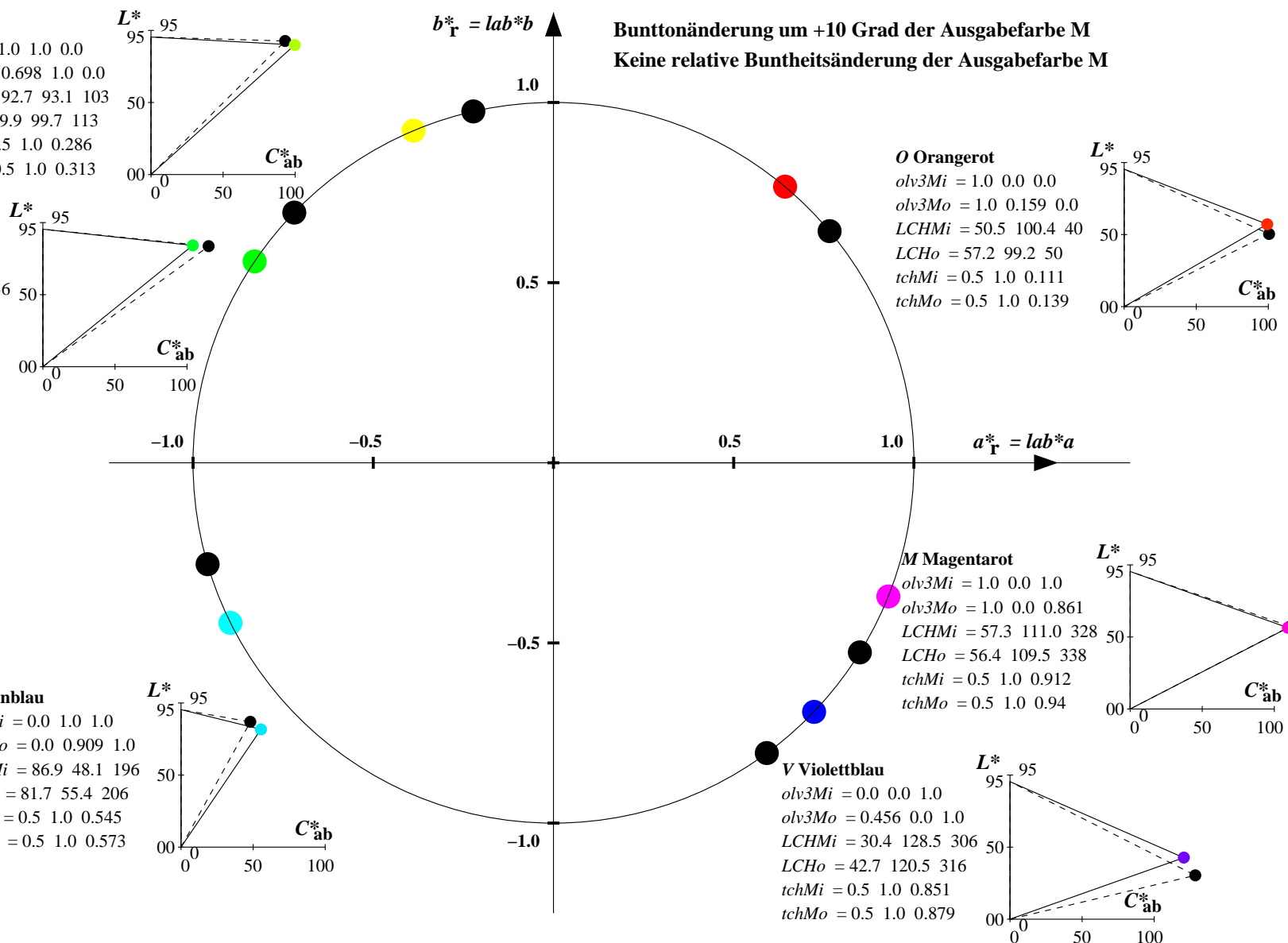
#### M Magentarot

olv3Mi = 1.0 0.0 1.0  
olv3Mo = 1.0 0.0 0.861  
LCHMi = 57.3 111.0 328  
LCHo = 56.4 109.5 338  
tchMi = 0.5 1.0 0.912  
tchMo = 0.5 1.0 0.94

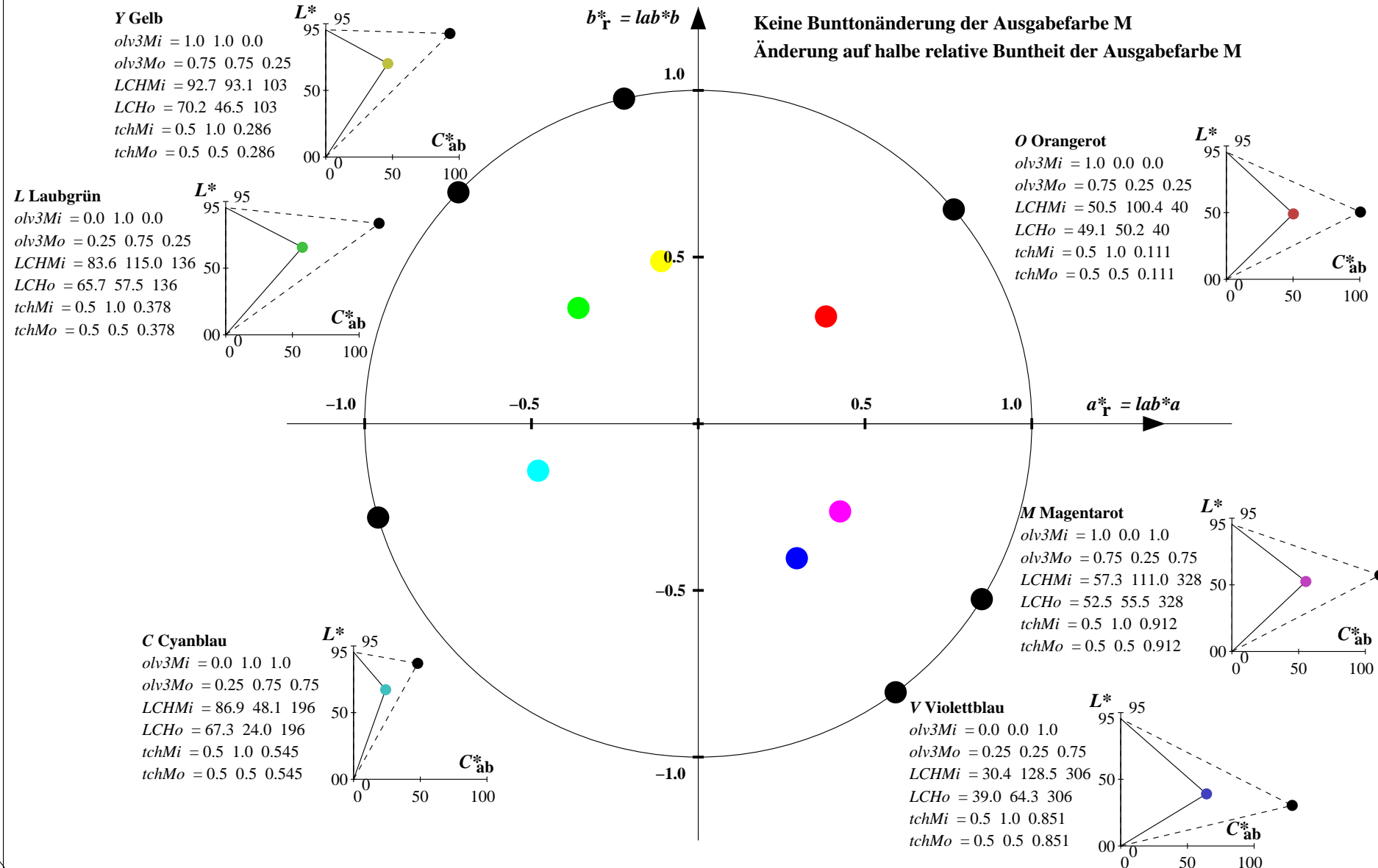
#### V Violettblau

olv3Mi = 0.0 0.0 1.0  
olv3Mo = 0.456 0.0 1.0  
LCHMi = 30.4 128.5 306  
LCHo = 42.7 120.5 316  
tchMi = 0.5 1.0 0.851  
tchMo = 0.5 1.0 0.879

Bunttonänderung um +10 Grad der Ausgabefarbe M  
Keine relative Buntheitsänderung der Ausgabefarbe M

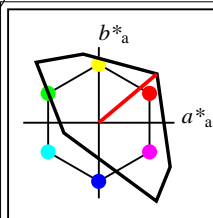


**Relatives CIELAB-Buntheitsdiagramm: ( $a_R^* = lab^*a$ ,  $b_R^* = lab^*b$ ) und absolutes CIELAB Bunttondreiecks-Diagramm: ( $L^*$ ,  $C_{ab}^*$ ) für Ein- (---) und Ausgabe (----) TLS00: Eingabe (i) Farbmatrik-Sytem; Sechs Bunttonwinkel des Farbgerätes: (40.0, 102.8, 136.0, 196.4, 306.3, 328.2); Vier Bunttonwinkel der Elementarfarben: (25.5, 92.3, 162.2, 271.7)  
TLS00: Ausgabe (o) Farbmatrik-Sytem; Sechs Bunttonwinkel des Farbgerätes: (40.0, 102.8, 136.0, 196.4, 306.3, 328.2); Vier Bunttonwinkel der Elementarfarben: (25.5, 92.3, 162.2, 271.7)**



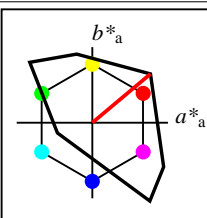
YG680-7, Farb-Management-Workflow: Geräte-Farbeingabedaten des Farbenraums TLS00 -> Geräte-Farbausgabedaten des Farbenraums TLS00, Seite 4/32

BAM-Prüfvorlage YG68; Farbmatrikworkflow TLS00->TLS00 Eingabe: olv\* setrgbcolor  
D65: 6 Grundfarben; Geräte- und Musterdaten; Seite 4/32 Ausgabe: olv\*' (TRI9) setrgbcolor



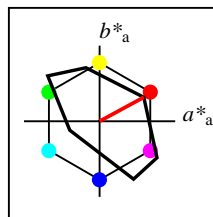
%Umfang  
 $u^*_{rel} = 158$   
%Regularität  
 $g^*_{H,rel} = 20$   
 $g^*_{C,rel} = 37$

TLS00	$L^*=L^*_a$	$a^*_a$	$b^*_a$	$C^*_{ab,a}$	$h^*_{ab,a}$
O <sub>M</sub>	50.5	76.91	64.55	100.41	40
Y <sub>M</sub>	92.66	-20.67	90.75	93.08	103
L <sub>M</sub>	83.62	-82.73	79.9	115.02	136
C <sub>M</sub>	86.88	-46.14	-13.53	48.1	196
V <sub>M</sub>	30.39	76.06	-103.59	128.52	306
M <sub>M</sub>	57.31	94.35	-58.39	110.96	328
N <sub>M</sub>	0.01	0.0	0.0	0.0	0
W <sub>M</sub>	95.41	0.0	0.0	0.0	0
R <sub>CIE</sub>	39.92	58.74	27.99	65.07	25
J <sub>CIE</sub>	81.26	-2.88	71.56	71.62	92
G <sub>CIE</sub>	52.23	-42.41	13.6	44.55	162
B <sub>CIE</sub>	30.57	1.41	-46.46	46.49	272



%Umfang  
 $u^*_{rel} = 158$   
%Regularität  
 $g^*_{H,rel} = 20$   
 $g^*_{C,rel} = 37$

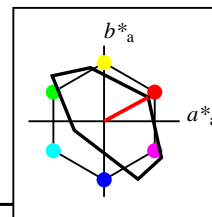
TLS00a; adaptierte CIELAB-Daten	$L^*=L^*_a$	$a^*_a$	$b^*_a$	$C^*_{ab,a}$	$h^*_{ab,a}$
O <sub>Ma</sub>	50.5	76.91	64.55	100.41	40
Y <sub>Ma</sub>	92.66	-20.67	90.75	93.08	103
L <sub>Ma</sub>	83.62	-82.73	79.9	115.02	136
C <sub>Ma</sub>	86.88	-46.14	-13.53	48.1	196
V <sub>Ma</sub>	30.39	76.06	-103.59	128.52	306
M <sub>Ma</sub>	57.31	94.35	-58.39	110.96	328
N <sub>Ma</sub>	0.01	0.0	0.0	0.0	0
W <sub>Ma</sub>	95.41	0.0	0.0	0.0	0
R <sub>CIE</sub>	39.92	58.74	27.99	65.07	25
J <sub>CIE</sub>	81.26	-2.88	71.56	71.62	92
G <sub>CIE</sub>	52.23	-42.41	13.6	44.55	162
B <sub>CIE</sub>	30.57	1.41	-46.46	46.49	272



%Umfang  
 $u^*_{rel} = 72$   
%Regularität  
 $g^*_{H,rel} = 26$   
 $g^*_{C,rel} = 45$

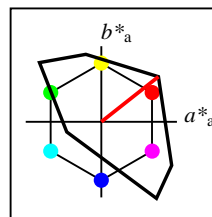
TLS38a; adaptierte CIELAB-Daten	$L^*=L^*_a$	$a^*_a$	$b^*_a$	$C^*_{ab,a}$	$h^*_{ab,a}$
O <sub>Ma</sub>	58.77	58.45	31.73	66.51	28
Y <sub>Ma</sub>	92.98	-18.1	70.81	73.09	104
L <sub>Ma</sub>	85.11	-68.57	60.02	91.14	139
C <sub>Ma</sub>	87.92	-39.41	-11.86	41.17	197
V <sub>Ma</sub>	46.64	44.93	-76.55	88.77	300
M <sub>Ma</sub>	63.71	75.92	-48.21	89.94	328
N <sub>Ma</sub>	37.99	0.0	0.0	0.0	0
W <sub>Ma</sub>	95.41	0.0	0.0	0.0	0
R <sub>CIE</sub>	39.92	58.74	27.99	65.07	25
J <sub>CIE</sub>	81.26	-2.88	71.56	71.62	92
G <sub>CIE</sub>	52.23	-42.41	13.6	44.55	162
B <sub>CIE</sub>	30.57	1.41	-46.46	46.49	272

Workflow-Wahlen  
für Farbmuster:  
1. keine Farbänderung  
2. Buntton-Änderung  
3. Buntheits-Änderung



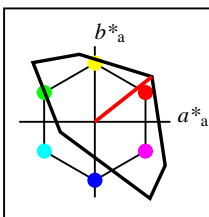
%Umfang  
 $u^*_{rel} = 72$   
%Regularität  
 $g^*_{H,rel} = 26$   
 $g^*_{C,rel} = 45$

TLS38a; adaptierte CIELAB-Daten	$L^*=L^*_a$	$a^*_a$	$b^*_a$	$C^*_{ab,a}$	$h^*_{ab,a}$
O <sub>Ma</sub>	58.77	58.45	31.73	66.51	28
Y <sub>Ma</sub>	92.98	-18.1	70.81	73.09	104
L <sub>Ma</sub>	85.11	-68.57	60.02	91.14	139
C <sub>Ma</sub>	87.92	-39.41	-11.86	41.17	197
V <sub>Ma</sub>	46.64	44.93	-76.55	88.77	300
M <sub>Ma</sub>	63.71	75.92	-48.21	89.94	328
N <sub>Ma</sub>	37.99	0.0	0.0	0.0	0
W <sub>Ma</sub>	95.41	0.0	0.0	0.0	0
R <sub>CIE</sub>	39.92	58.74	27.99	65.07	25
J <sub>CIE</sub>	81.26	-2.88	71.56	71.62	92
G <sub>CIE</sub>	52.23	-42.41	13.6	44.55	162
B <sub>CIE</sub>	30.57	1.41	-46.46	46.49	272



%Umfang  
 $u^*_{rel} = 146$   
%Regularität  
 $g^*_{H,rel} = 21$   
 $g^*_{C,rel} = 38$

TLS06a; adaptierte CIELAB-Daten	$L^*=L^*_a$	$a^*_a$	$b^*_a$	$C^*_{ab,a}$	$h^*_{ab,a}$
O <sub>Ma</sub>	51.08	75.54	59.69	96.28	38
Y <sub>Ma</sub>	92.68	-20.5	89.24	91.57	103
L <sub>Ma</sub>	83.72	-81.78	78.32	113.24	136
C <sub>Ma</sub>	86.94	-45.71	-13.42	47.65	196
V <sub>Ma</sub>	31.77	72.91	-101.29	124.81	306
M <sub>Ma</sub>	57.74	93.06	-57.7	109.5	328
N <sub>Ma</sub>	5.69	0.0	0.0	0.0	0
W <sub>Ma</sub>	95.41	0.0	0.0	0.0	0
R <sub>CIE</sub>	39.92	58.74	27.99	65.07	25
J <sub>CIE</sub>	81.26	-2.88	71.56	71.62	92
G <sub>CIE</sub>	52.23	-42.41	13.6	44.55	162
B <sub>CIE</sub>	30.57	1.41	-46.46	46.49	272



%Umfang  
 $u^*_{rel} = 146$   
%Regularität  
 $g^*_{H,rel} = 21$   
 $g^*_{C,rel} = 38$

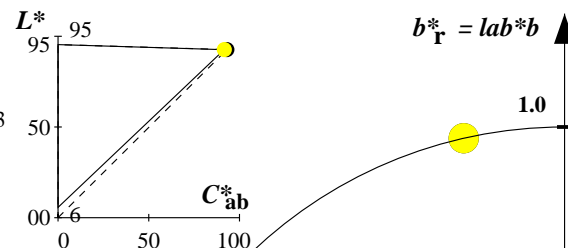
TLS06	$L^*=L^*_a$	$a^*_a$	$b^*_a$	$C^*_{ab,a}$	$h^*_{ab,a}$
O <sub>M</sub>	51.08	75.54	59.69	96.28	38
Y <sub>M</sub>	92.68	-20.5	89.24	91.57	103
L <sub>M</sub>	83.72	-81.78	78.32	113.24	136
C <sub>M</sub>	86.94	-45.71	-13.42	47.65	196
V <sub>M</sub>	31.77	72.91	-101.29	124.81	306
M <sub>M</sub>	57.74	93.06	-57.7	109.5	328
N <sub>M</sub>	5.69	0.0	0.0	0.0	0
W <sub>M</sub>	95.41	0.0	0.0	0.0	0
R <sub>CIE</sub>	39.92	58.74	27.99	65.07	25
J <sub>CIE</sub>	81.26	-2.88	71.56	71.62	92
G <sub>CIE</sub>	52.23	-42.41	13.6	44.55	162
B <sub>CIE</sub>	30.57	1.41	-46.46	46.49	272



**Relatives CIELAB-Buntheitsdiagramm:** ( $a^*_r = lab^*a$ ,  $b^*_r = lab^*b$ ) und **absolutes CIELAB Bunttondreiecks-Diagramm:** ( $L^*$ ,  $C^*_{ab}$ ) für Ein- (---) und Ausgabe (----) TLS00: Eingabe (i) Farbmatrik-Sytem; Sechs Bunttonwinkel des Farbgerätes: (40.0, 102.8, 136.0, 196.4, 306.3, 328.2); Vier Bunttonwinkel der Elementarfarben: (25.5, 92.3, 162.2, 271.7)  
TLS06: Ausgabe (o) Farbmatrik-Sytem; Sechs Bunttonwinkel des Farbgerätes: (38.3, 102.9, 136.2, 196.4, 305.7, 328.2); Vier Bunttonwinkel der Elementarfarben: (25.5, 92.3, 162.2, 271.7)

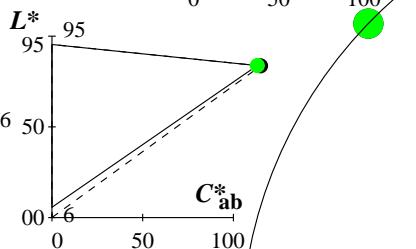
#### Y Gelb

$olv3Mi = 1.0 \ 1.0 \ 0.0$   
 $olv3Mo = 1.0 \ 0.998 \ 0.0$   
 $LCHMi = 92.7 \ 93.1 \ 103$   
 $LCHo = 92.6 \ 91.6 \ 103$   
 $tchMi = 0.5 \ 1.0 \ 0.286$   
 $tchMo = 0.5 \ 1.0 \ 0.286$



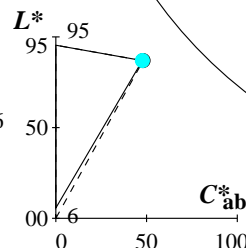
#### L Laubgrün

$olv3Mi = 0.0 \ 1.0 \ 0.0$   
 $olv3Mo = 0.007 \ 1.0 \ 0.0$   
 $LCHMi = 83.6 \ 115.0 \ 136$   
 $LCHo = 83.8 \ 113.1 \ 136$   
 $tchMi = 0.5 \ 1.0 \ 0.378$   
 $tchMo = 0.5 \ 1.0 \ 0.378$



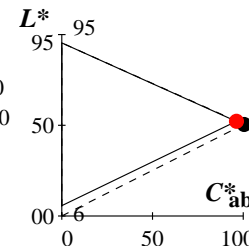
#### C Cyanblau

$olv3Mi = 0.0 \ 1.0 \ 1.0$   
 $olv3Mo = 0.0 \ 1.0 \ 1.0$   
 $LCHMi = 86.9 \ 48.1 \ 196$   
 $LCHo = 86.9 \ 47.7 \ 196$   
 $tchMi = 0.5 \ 1.0 \ 0.545$   
 $tchMo = 0.5 \ 1.0 \ 0.545$



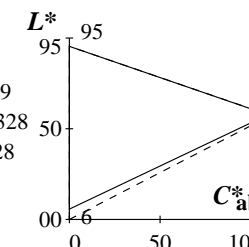
#### O Orangerot

$olv3Mi = 1.0 \ 0.0 \ 0.0$   
 $olv3Mo = 1.0 \ 0.026 \ 0.0$   
 $LCHMi = 50.5 \ 100.4 \ 40$   
 $LCHo = 52.2 \ 96.2 \ 40$   
 $tchMi = 0.5 \ 1.0 \ 0.111$   
 $tchMo = 0.5 \ 1.0 \ 0.111$



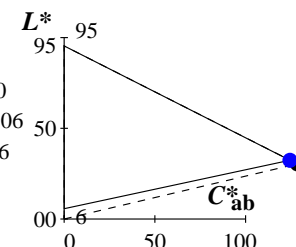
#### M Magentarot

$olv3Mi = 1.0 \ 0.0 \ 1.0$   
 $olv3Mo = 1.0 \ 0.0 \ 0.999$   
 $LCHMi = 57.3 \ 111.0 \ 328$   
 $LCHo = 57.7 \ 109.5 \ 328$   
 $tchMi = 0.5 \ 1.0 \ 0.912$   
 $tchMo = 0.5 \ 1.0 \ 0.912$



#### V Violettblau

$olv3Mi = 0.0 \ 0.0 \ 1.0$   
 $olv3Mo = 0.024 \ 0.0 \ 1.0$   
 $LCHMi = 30.4 \ 128.5 \ 306$   
 $LCHo = 32.4 \ 124.4 \ 306$   
 $tchMi = 0.5 \ 1.0 \ 0.851$   
 $tchMo = 0.5 \ 1.0 \ 0.851$



Keine Bunttonänderung der Ausgabefarbe M

Keine relative Buntheitsänderung der Ausgabefarbe M

Relatives CIELAB-Buntheitsdiagramm: ( $a^*_r = lab^*a$ ,  $b^*_r = lab^*b$ ) und absolutes CIELAB Bunttondreiecks-Diagramm: ( $L^*$ ,  $C^*_{ab}$ ) für Ein- (—) und Ausgabe (---)  
TLS00: Eingabe (i) Farbmatrik-Sytem; Sechs Bunttonwinkel des Farbgerätes: (40.0, 102.8, 136.0, 196.4, 306.3, 328.2); Vier Bunttonwinkel der Elementarfarben: (25.5, 92.3, 162.2, 271.7)  
TLS06: Ausgabe (o) Farbmatrik-Sytem; Sechs Bunttonwinkel des Farbgerätes: (38.3, 102.9, 136.2, 196.4, 305.7, 328.2); Vier Bunttonwinkel der Elementarfarben: (25.5, 92.3, 162.2, 271.7)

#### Y Gelb

olv3Mi = 1.0 1.0 0.0  
olv3Mo = 0.703 1.0 0.0  
LCHMi = 92.7 93.1 103  
LCHo = 90.0 98.0 113  
tchMi = 0.5 1.0 0.286  
tchMo = 0.5 1.0 0.313

#### L Laubgrün

olv3Mi = 0.0 1.0 0.0  
olv3Mo = 0.0 1.0 0.162  
LCHMi = 83.6 115.0 136  
LCHo = 84.2 102.6 146  
tchMi = 0.5 1.0 0.378  
tchMo = 0.5 1.0 0.406

#### C Cyanblau

olv3Mi = 0.0 1.0 1.0  
olv3Mo = 0.0 0.909 1.0  
LCHMi = 86.9 48.1 196  
LCHo = 81.9 54.7 206  
tchMi = 0.5 1.0 0.545  
tchMo = 0.5 1.0 0.573

#### O Orangerot

olv3Mi = 1.0 0.0 0.0  
olv3Mo = 1.0 0.181 0.0  
LCHMi = 50.5 100.4 40  
LCHo = 58.6 95.4 50  
tchMi = 0.5 1.0 0.111  
tchMo = 0.5 1.0 0.139

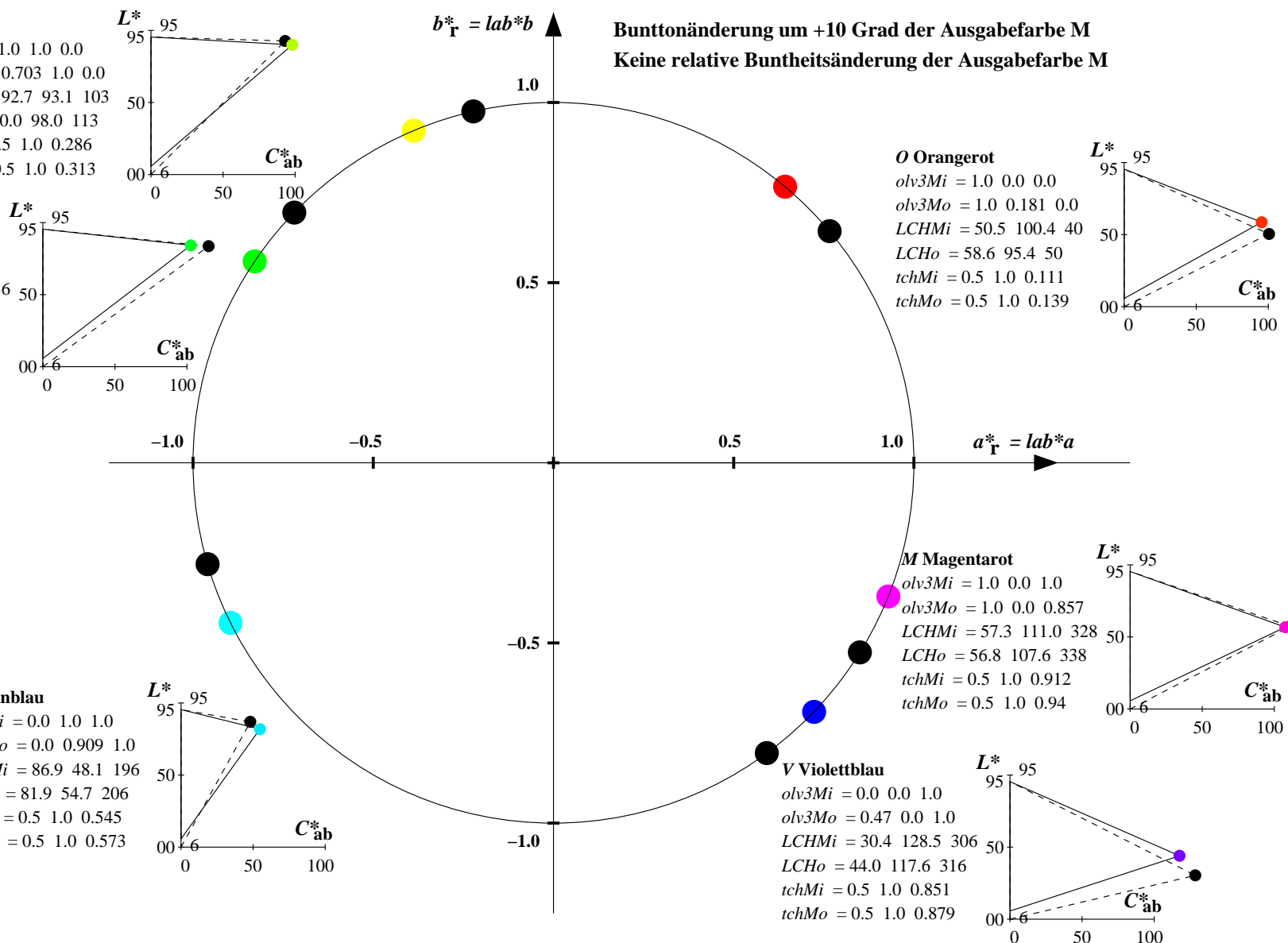
#### M Magentarot

olv3Mi = 1.0 0.0 1.0  
olv3Mo = 1.0 0.0 0.857  
LCHMi = 57.3 111.0 328  
LCHo = 56.8 107.6 338  
tchMi = 0.5 1.0 0.912  
tchMo = 0.5 1.0 0.94

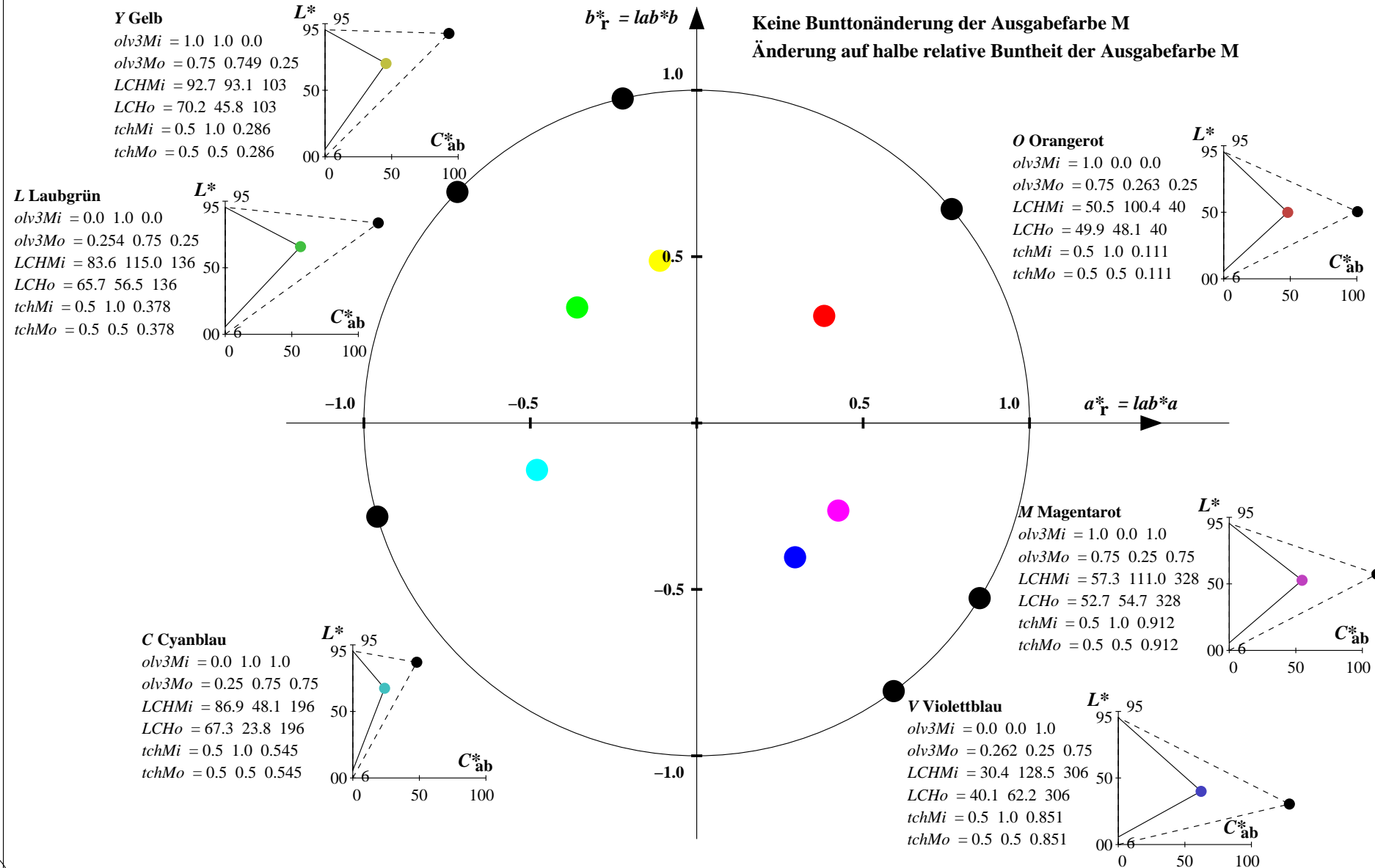
#### V Violettblau

olv3Mi = 0.0 0.0 1.0  
olv3Mo = 0.47 0.0 1.0  
LCHMi = 30.4 128.5 306  
LCHo = 44.0 117.6 316  
tchMi = 0.5 1.0 0.851  
tchMo = 0.5 1.0 0.879

Bunttonänderung um +10 Grad der Ausgabefarbe M  
Keine relative Buntheitsänderung der Ausgabefarbe M



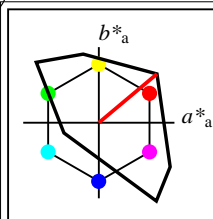
**Relatives CIELAB-Buntheitsdiagramm: ( $a_R^* = lab^*a$ ,  $b_R^* = lab^*b$ ) und absolutes CIELAB Bunttondreiecks-Diagramm: ( $L^*$ ,  $C_{ab}^*$ ) für Ein- (—) und Ausgabe (---) TLS00: Eingabe (i) Farbmatrik-Sytem; Sechs Bunttonwinkel des Farbgerätes: (40.0, 102.8, 136.0, 196.4, 306.3, 328.2); Vier Bunttonwinkel der Elementarfarben: (25.5, 92.3, 162.2, 271.7) TLS06: Ausgabe (o) Farbmatrik-Sytem; Sechs Bunttonwinkel des Farbgerätes: (38.3, 102.9, 136.2, 196.4, 305.7, 328.2); Vier Bunttonwinkel der Elementarfarben: (25.5, 92.3, 162.2, 271.7)**



YG680-7, Farb-Management-Workflow: Geräte-Farbeingabedaten des Farbenraums TLS00 -> Geräte-Farbausgabedaten des Farbenraums TLS06, Seite 8/32

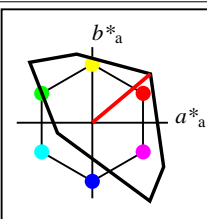
BAM-Prüfvorlage YG68; Farbmatrikworkflow TLS00->TLS06 Eingabe: olv\* setrgbcolor  
D65: 6 Grundfarben; Geräte- und Musterdaten; Seite 8/32 Ausgabe: olv\*' (TRI9) setrgbcolor





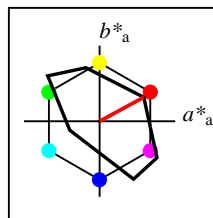
%Umfang  
 $u^*_{rel} = 158$   
%Regularität  
 $g^*_{H,rel} = 20$   
 $g^*_{C,rel} = 37$

TLS00	$L^*=L^*_a$	$a^*_a$	$b^*_a$	$C^*_{ab,a}$	$h^*_{ab,a}$
O <sub>M</sub>	50.5	76.91	64.55	100.41	40
Y <sub>M</sub>	92.66	-20.67	90.75	93.08	103
L <sub>M</sub>	83.62	-82.73	79.9	115.02	136
C <sub>M</sub>	86.88	-46.14	-13.53	48.1	196
V <sub>M</sub>	30.39	76.06	-103.59	128.52	306
M <sub>M</sub>	57.31	94.35	-58.39	110.96	328
N <sub>M</sub>	0.01	0.0	0.0	0.0	0
W <sub>M</sub>	95.41	0.0	0.0	0.0	0
R <sub>CIE</sub>	39.92	58.74	27.99	65.07	25
J <sub>CIE</sub>	81.26	-2.88	71.56	71.62	92
G <sub>CIE</sub>	52.23	-42.41	13.6	44.55	162
B <sub>CIE</sub>	30.57	1.41	-46.46	46.49	272



%Umfang  
 $u^*_{rel} = 158$   
%Regularität  
 $g^*_{H,rel} = 20$   
 $g^*_{C,rel} = 37$

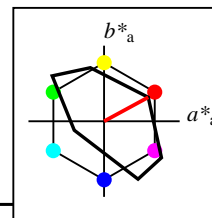
TLS00a; adaptierte CIELAB-Daten	$L^*=L^*_a$	$a^*_a$	$b^*_a$	$C^*_{ab,a}$	$h^*_{ab,a}$
O <sub>Ma</sub>	50.5	76.91	64.55	100.41	40
Y <sub>Ma</sub>	92.66	-20.67	90.75	93.08	103
L <sub>Ma</sub>	83.62	-82.73	79.9	115.02	136
C <sub>Ma</sub>	86.88	-46.14	-13.53	48.1	196
V <sub>Ma</sub>	30.39	76.06	-103.59	128.52	306
M <sub>Ma</sub>	57.31	94.35	-58.39	110.96	328
N <sub>Ma</sub>	0.01	0.0	0.0	0.0	0
W <sub>Ma</sub>	95.41	0.0	0.0	0.0	0
R <sub>CIE</sub>	39.92	58.74	27.99	65.07	25
J <sub>CIE</sub>	81.26	-2.88	71.56	71.62	92
G <sub>CIE</sub>	52.23	-42.41	13.6	44.55	162
B <sub>CIE</sub>	30.57	1.41	-46.46	46.49	272



%Umfang  
 $u^*_{rel} = 72$   
%Regularität  
 $g^*_{H,rel} = 26$   
 $g^*_{C,rel} = 45$

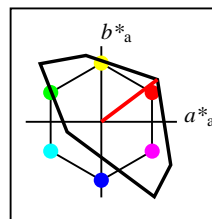
TLS38a; adaptierte CIELAB-Daten	$L^*=L^*_a$	$a^*_a$	$b^*_a$	$C^*_{ab,a}$	$h^*_{ab,a}$
O <sub>Ma</sub>	58.77	58.45	31.73	66.51	28
Y <sub>Ma</sub>	92.98	-18.1	70.81	73.09	104
L <sub>Ma</sub>	85.11	-68.57	60.02	91.14	139
C <sub>Ma</sub>	87.92	-39.41	-11.86	41.17	197
V <sub>Ma</sub>	46.64	44.93	-76.55	88.77	300
M <sub>Ma</sub>	63.71	75.92	-48.21	89.94	328
N <sub>Ma</sub>	37.99	0.0	0.0	0.0	0
W <sub>Ma</sub>	95.41	0.0	0.0	0.0	0
R <sub>CIE</sub>	39.92	58.74	27.99	65.07	25
J <sub>CIE</sub>	81.26	-2.88	71.56	71.62	92
G <sub>CIE</sub>	52.23	-42.41	13.6	44.55	162
B <sub>CIE</sub>	30.57	1.41	-46.46	46.49	272

Workflow-Wahlen  
für Farbmuster:  
1. keine Farbänderung  
2. Buntton-Änderung  
3. Buntheits-Änderung



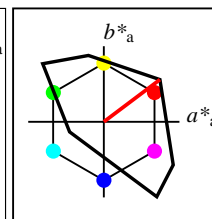
%Umfang  
 $u^*_{rel} = 72$   
%Regularität  
 $g^*_{H,rel} = 26$   
 $g^*_{C,rel} = 45$

TLS38a; adaptierte CIELAB-Daten	$L^*=L^*_a$	$a^*_a$	$b^*_a$	$C^*_{ab,a}$	$h^*_{ab,a}$
O <sub>Ma</sub>	58.77	58.45	31.73	66.51	28
Y <sub>Ma</sub>	92.98	-18.1	70.81	73.09	104
L <sub>Ma</sub>	85.11	-68.57	60.02	91.14	139
C <sub>Ma</sub>	87.92	-39.41	-11.86	41.17	197
V <sub>Ma</sub>	46.64	44.93	-76.55	88.77	300
M <sub>Ma</sub>	63.71	75.92	-48.21	89.94	328
N <sub>Ma</sub>	37.99	0.0	0.0	0.0	0
W <sub>Ma</sub>	95.41	0.0	0.0	0.0	0
R <sub>CIE</sub>	39.92	58.74	27.99	65.07	25
J <sub>CIE</sub>	81.26	-2.88	71.56	71.62	92
G <sub>CIE</sub>	52.23	-42.41	13.6	44.55	162
B <sub>CIE</sub>	30.57	1.41	-46.46	46.49	272



%Umfang  
 $u^*_{rel} = 134$   
%Regularität  
 $g^*_{H,rel} = 21$   
 $g^*_{C,rel} = 39$

TLS11a; adaptierte CIELAB-Daten	$L^*=L^*_a$	$a^*_a$	$b^*_a$	$C^*_{ab,a}$	$h^*_{ab,a}$
O <sub>Ma</sub>	51.65	74.2	55.83	92.86	37
Y <sub>Ma</sub>	92.7	-20.34	87.77	90.1	103
L <sub>Ma</sub>	83.81	-80.84	76.81	111.52	136
C <sub>Ma</sub>	87.01	-45.27	-13.32	47.2	196
V <sub>Ma</sub>	33.06	70.03	-99.08	121.34	305
M <sub>Ma</sub>	58.17	91.8	-57.02	108.07	328
N <sub>Ma</sub>	10.99	0.0	0.0	0.0	0
W <sub>Ma</sub>	95.41	0.0	0.0	0.0	0
R <sub>CIE</sub>	39.92	58.74	27.99	65.07	25
J <sub>CIE</sub>	81.26	-2.88	71.56	71.62	92
G <sub>CIE</sub>	52.23	-42.41	13.6	44.55	162
B <sub>CIE</sub>	30.57	1.41	-46.46	46.49	272



%Umfang  
 $u^*_{rel} = 134$   
%Regularität  
 $g^*_{H,rel} = 21$   
 $g^*_{C,rel} = 39$

TLS11	$L^*=L^*_a$	$a^*_a$	$b^*_a$	$C^*_{ab,a}$	$h^*_{ab,a}$
O <sub>M</sub>	51.65	74.2	55.83	92.86	37
Y <sub>M</sub>	92.7	-20.34	87.77	90.1	103
L <sub>M</sub>	83.81	-80.84	76.81	111.52	136
C <sub>M</sub>	87.01	-45.27	-13.32	47.2	196
V <sub>M</sub>	33.06	70.03	-99.08	121.34	305
M <sub>M</sub>	58.17	91.8	-57.02	108.07	328
N <sub>M</sub>	10.99	0.0	0.0	0.0	0
W <sub>M</sub>	95.41	0.0	0.0	0.0	0
R <sub>CIE</sub>	39.92	58.74	27.99	65.07	25
J <sub>CIE</sub>	81.26	-2.88	71.56	71.62	92
G <sub>CIE</sub>	52.23	-42.41	13.6	44.55	162
B <sub>CIE</sub>	30.57	1.41	-46.46	46.49	272

**Relatives CIELAB-Buntheitsdiagramm:** ( $a_R^* = lab^*a$ ,  $b_R^* = lab^*b$ ) und **absolutes CIELAB Bunttondreiecks-Diagramm:** ( $L^*$ ,  $C_{ab}^*$ ) für Ein- (---) und Ausgabe (----) TLS00: Eingabe (i) Farbmatrik-Sytem; Sechs Bunttonwinkel des Farbgerätes: (40.0, 102.8, 136.0, 196.4, 306.3, 328.2); Vier Bunttonwinkel der Elementarfarben: (25.5, 92.3, 162.2, 271.7)  
TLS11: Ausgabe (o) Farbmatrik-Sytem; Sechs Bunttonwinkel des Farbgerätes: (37.0, 103.1, 136.5, 196.4, 305.3, 328.1); Vier Bunttonwinkel der Elementarfarben: (25.5, 92.3, 162.2, 271.7)

#### Y Gelb

olv3Mi = 1.0 1.0 0.0  
olv3Mo = 1.0 0.997 0.0  
LCHMi = 92.7 93.1 103  
LCHo = 92.6 90.1 103  
tchMi = 0.5 1.0 0.286  
tchMo = 0.5 1.0 0.286

#### L Laubgrün

olv3Mi = 0.0 1.0 0.0  
olv3Mo = 0.014 1.0 0.0  
LCHMi = 83.6 115.0 136  
LCHo = 83.9 111.2 136  
tchMi = 0.5 1.0 0.378  
tchMo = 0.5 1.0 0.378

#### C Cyanblau

olv3Mi = 0.0 1.0 1.0  
olv3Mo = 0.0 1.0 0.999  
LCHMi = 86.9 48.1 196  
LCHo = 87.0 47.3 196  
tchMi = 0.5 1.0 0.545  
tchMo = 0.5 1.0 0.545

#### O Orangerot

olv3Mi = 1.0 0.0 0.0  
olv3Mo = 1.0 0.046 0.0  
LCHMi = 50.5 100.4 40  
LCHo = 53.5 92.7 40  
tchMi = 0.5 1.0 0.111  
tchMo = 0.5 1.0 0.111

#### M Magentarot

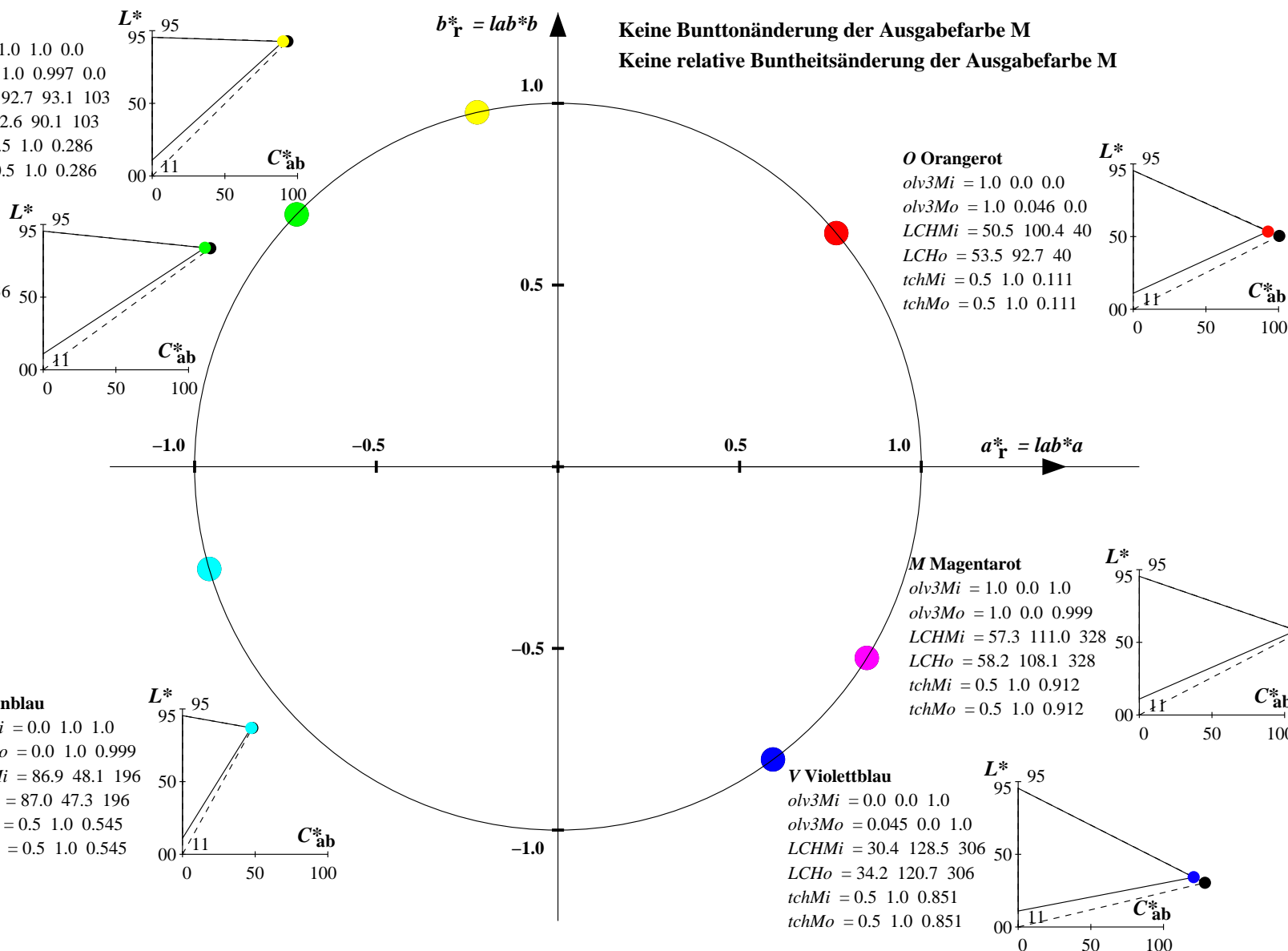
olv3Mi = 1.0 0.0 1.0  
olv3Mo = 1.0 0.0 0.999  
LCHMi = 57.3 111.0 328  
LCHo = 58.2 108.1 328  
tchMi = 0.5 1.0 0.912  
tchMo = 0.5 1.0 0.912

#### V Violettblau

olv3Mi = 0.0 0.0 1.0  
olv3Mo = 0.045 0.0 1.0  
LCHMi = 30.4 128.5 306  
LCHo = 34.2 120.7 306  
tchMi = 0.5 1.0 0.851  
tchMo = 0.5 1.0 0.851

Keine Bunttonänderung der Ausgabefarbe M

Keine relative Buntheitsänderung der Ausgabefarbe M



**Relatives CIELAB-Buntheitsdiagramm: ( $a_R^* = lab^*a$ ,  $b_R^* = lab^*b$ ) und absolutes CIELAB Bunttondreiecks-Diagramm: ( $L^*$ ,  $C_{ab}^*$ ) für Ein- (---) und Ausgabe (----) TLS00: Eingabe (i) Farbmatrik-Sytem; Sechs Bunttonwinkel des Farbgerätes: (40.0, 102.8, 136.0, 196.4, 306.3, 328.2); Vier Bunttonwinkel der Elementarfarben: (25.5, 92.3, 162.2, 271.7) TLS11: Ausgabe (o) Farbmatrik-Sytem; Sechs Bunttonwinkel des Farbgerätes: (37.0, 103.1, 136.5, 196.4, 305.3, 328.1); Vier Bunttonwinkel der Elementarfarben: (25.5, 92.3, 162.2, 271.7)**

#### Y Gelb

$olv3Mi = 1.0 \ 1.0 \ 0.0$   
 $olv3Mo = 0.707 \ 1.0 \ 0.0$   
 $LCHMi = 92.7 \ 93.1 \ 103$   
 $LCHo = 90.1 \ 96.4 \ 113$   
 $tchMi = 0.5 \ 1.0 \ 0.286$   
 $tchMo = 0.5 \ 1.0 \ 0.313$

#### L Laubgrün

$olv3Mi = 0.0 \ 1.0 \ 0.0$   
 $olv3Mo = 0.0 \ 1.0 \ 0.159$   
 $LCHMi = 83.6 \ 115.0 \ 136$   
 $LCHo = 84.3 \ 101.3 \ 146$   
 $tchMi = 0.5 \ 1.0 \ 0.378$   
 $tchMo = 0.5 \ 1.0 \ 0.406$

#### C Cyanblau

$olv3Mi = 0.0 \ 1.0 \ 1.0$   
 $olv3Mo = 0.0 \ 0.909 \ 1.0$   
 $LCHMi = 86.9 \ 48.1 \ 196$   
 $LCHo = 82.1 \ 54.0 \ 206$   
 $tchMi = 0.5 \ 1.0 \ 0.545$   
 $tchMo = 0.5 \ 1.0 \ 0.573$

#### O Orangerot

$olv3Mi = 1.0 \ 0.0 \ 0.0$   
 $olv3Mo = 1.0 \ 0.198 \ 0.0$   
 $LCHMi = 50.5 \ 100.4 \ 40$   
 $LCHo = 59.8 \ 92.3 \ 50$   
 $tchMi = 0.5 \ 1.0 \ 0.111$   
 $tchMo = 0.5 \ 1.0 \ 0.139$

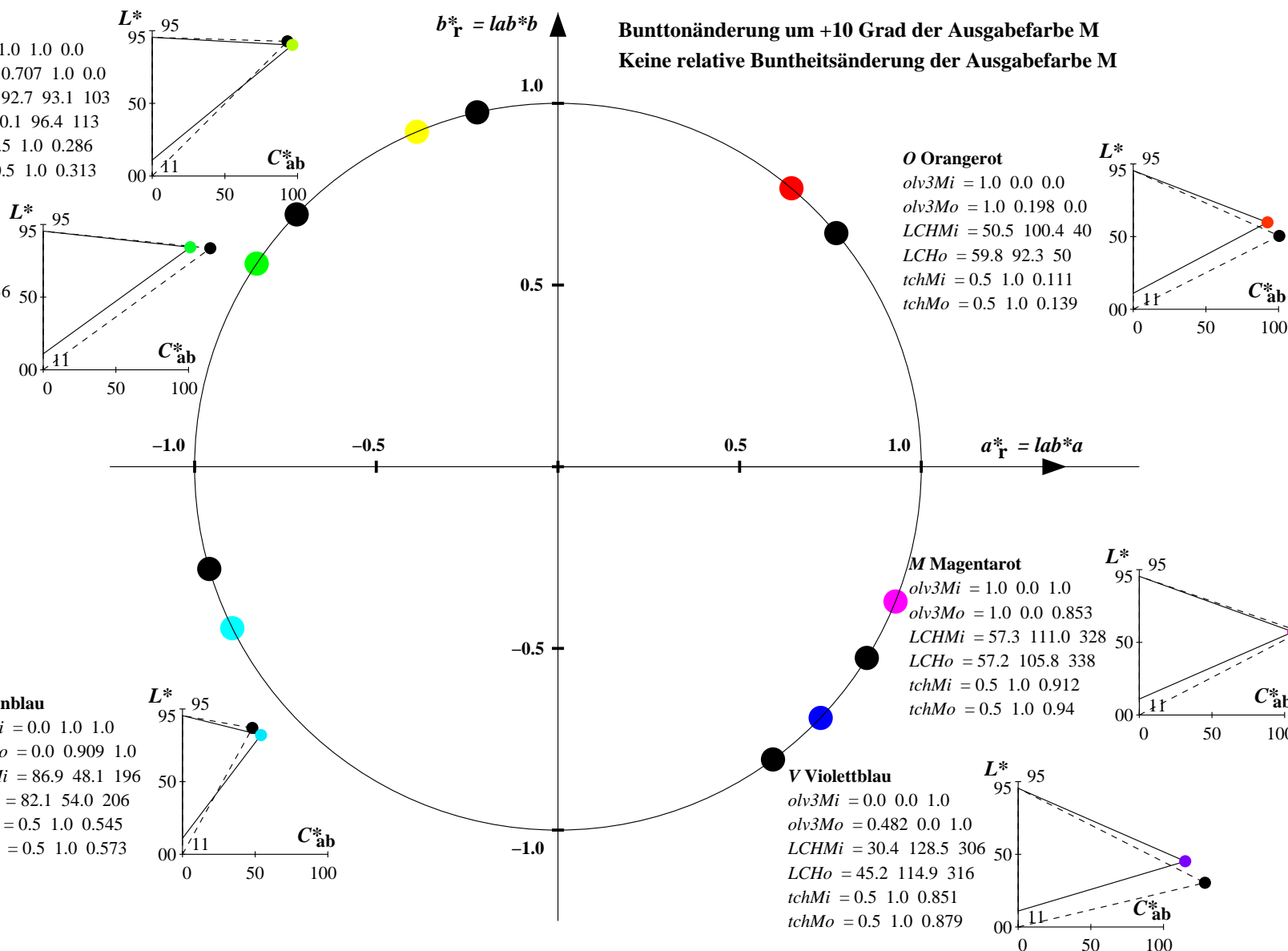
#### M Magentarot

$olv3Mi = 1.0 \ 0.0 \ 1.0$   
 $olv3Mo = 1.0 \ 0.0 \ 0.853$   
 $LCHMi = 57.3 \ 111.0 \ 328$   
 $LCHo = 57.2 \ 105.8 \ 338$   
 $tchMi = 0.5 \ 1.0 \ 0.912$   
 $tchMo = 0.5 \ 1.0 \ 0.94$

#### V Violettblau

$olv3Mi = 0.0 \ 0.0 \ 1.0$   
 $olv3Mo = 0.482 \ 0.0 \ 1.0$   
 $LCHMi = 30.4 \ 128.5 \ 306$   
 $LCHo = 45.2 \ 114.9 \ 316$   
 $tchMi = 0.5 \ 1.0 \ 0.851$   
 $tchMo = 0.5 \ 1.0 \ 0.879$

**Bunttonänderung um +10 Grad der Ausgabefarbe M  
Keine relative Buntheitsänderung der Ausgabefarbe M**



**Relatives CIELAB-Buntheitsdiagramm: ( $a_R^* = lab^*a$ ,  $b_R^* = lab^*b$ ) und absolutes CIELAB Bunttondreiecks-Diagramm: ( $L^*$ ,  $C_{ab}^*$ ) für Ein- (—) und Ausgabe (---) TLS00: Eingabe (i) Farbmatrik-Sytem; Sechs Bunttonwinkel des Farbgerätes: (40.0, 102.8, 136.0, 196.4, 306.3, 328.2); Vier Bunttonwinkel der Elementarfarben: (25.5, 92.3, 162.2, 271.7) TLS11: Ausgabe (o) Farbmatrik-Sytem; Sechs Bunttonwinkel des Farbgerätes: (37.0, 103.1, 136.5, 196.4, 305.3, 328.1); Vier Bunttonwinkel der Elementarfarben: (25.5, 92.3, 162.2, 271.7)**

#### Y Gelb

olv3Mi = 1.0 1.0 0.0  
olv3Mo = 0.75 0.748 0.25  
LCHMi = 92.7 93.1 103  
LCHo = 70.1 45.1 103  
tchMi = 0.5 1.0 0.286  
tchMo = 0.5 0.5 0.286

#### L Laubgrün

olv3Mi = 0.0 1.0 0.0  
olv3Mo = 0.257 0.75 0.25  
LCHMi = 83.6 115.0 136  
LCHo = 65.8 55.6 136  
tchMi = 0.5 1.0 0.378  
tchMo = 0.5 0.5 0.378

#### C Cyanblau

olv3Mi = 0.0 1.0 1.0  
olv3Mo = 0.25 0.75 0.75  
LCHMi = 86.9 48.1 196  
LCHo = 67.4 23.6 196  
tchMi = 0.5 1.0 0.545  
tchMo = 0.5 0.5 0.545

#### O Orangerot

olv3Mi = 1.0 0.0 0.0  
olv3Mo = 0.75 0.273 0.25  
LCHMi = 50.5 100.4 40  
LCHo = 50.6 46.4 40  
tchMi = 0.5 1.0 0.111  
tchMo = 0.5 0.5 0.111

#### M Magentarot

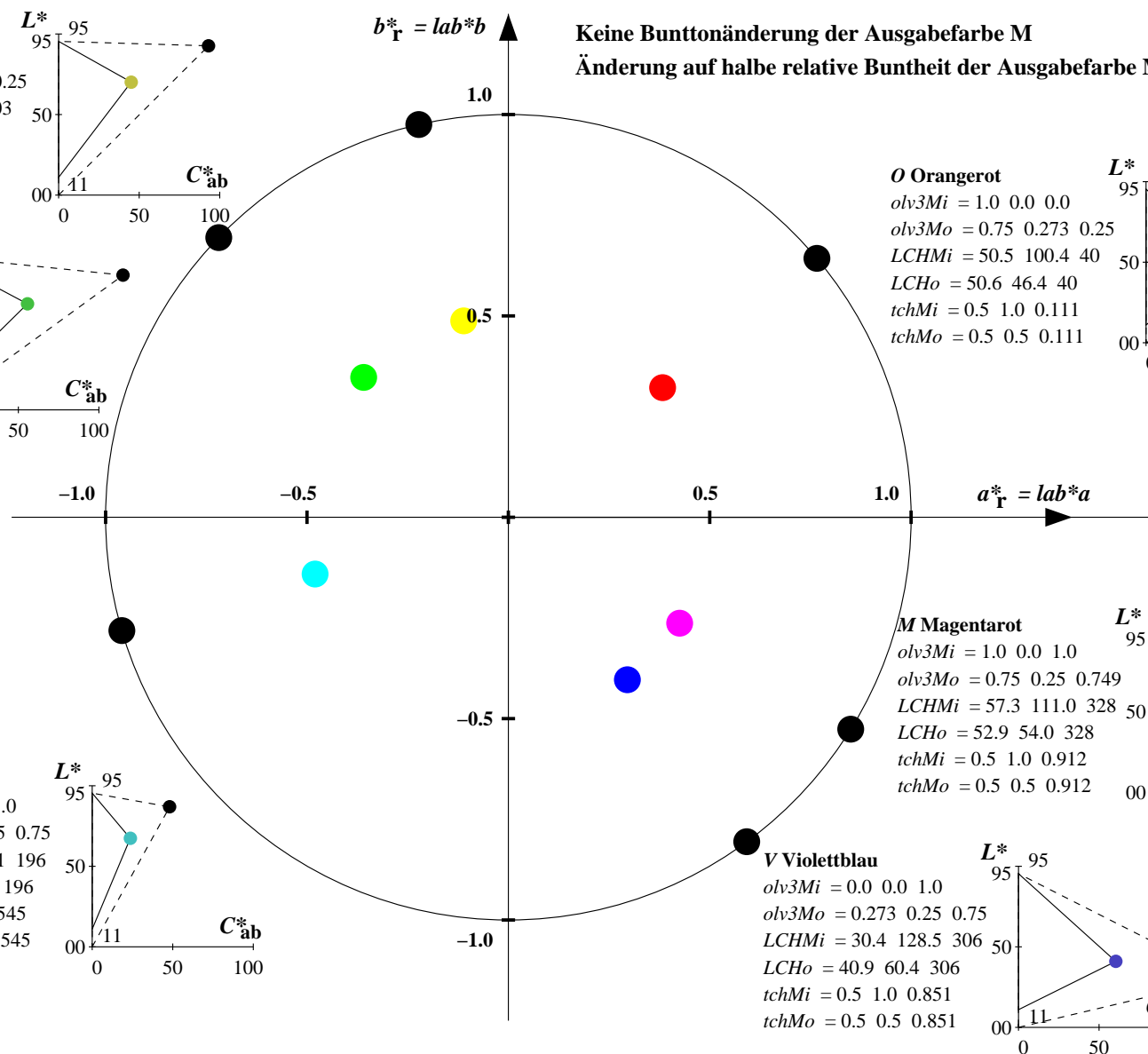
olv3Mi = 1.0 0.0 1.0  
olv3Mo = 0.75 0.25 0.749  
LCHMi = 57.3 111.0 328  
LCHo = 52.9 54.0 328  
tchMi = 0.5 1.0 0.912  
tchMo = 0.5 0.5 0.912

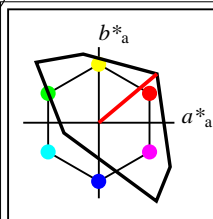
#### V Violettblau

olv3Mi = 0.0 0.0 1.0  
olv3Mo = 0.273 0.25 0.75  
LCHMi = 30.4 128.5 306  
LCHo = 40.9 60.4 306  
tchMi = 0.5 1.0 0.851  
tchMo = 0.5 0.5 0.851

**Keine Bunttonänderung der Ausgabefarbe M**

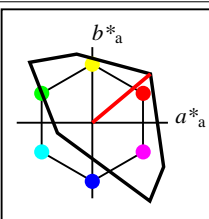
**Änderung auf halbe relative Buntheit der Ausgabefarbe M**





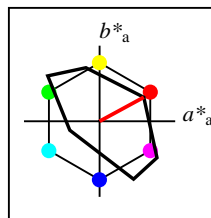
%Umfang  
 $u^*_{rel} = 158$   
%Regularität  
 $g^*_{H,rel} = 20$   
 $g^*_{C,rel} = 37$

TLS00	$L^*=L^*_a$	$a^*_a$	$b^*_a$	$C^*_{ab,a}$	$h^*_{ab,a}$
O <sub>M</sub>	50.5	76.91	64.55	100.41	40
Y <sub>M</sub>	92.66	-20.67	90.75	93.08	103
L <sub>M</sub>	83.62	-82.73	79.9	115.02	136
C <sub>M</sub>	86.88	-46.14	-13.53	48.1	196
V <sub>M</sub>	30.39	76.06	-103.59	128.52	306
M <sub>M</sub>	57.31	94.35	-58.39	110.96	328
N <sub>M</sub>	0.01	0.0	0.0	0.0	0
W <sub>M</sub>	95.41	0.0	0.0	0.0	0
R <sub>CIE</sub>	39.92	58.74	27.99	65.07	25
J <sub>CIE</sub>	81.26	-2.88	71.56	71.62	92
G <sub>CIE</sub>	52.23	-42.41	13.6	44.55	162
B <sub>CIE</sub>	30.57	1.41	-46.46	46.49	272



%Umfang  
 $u^*_{rel} = 158$   
%Regularität  
 $g^*_{H,rel} = 20$   
 $g^*_{C,rel} = 37$

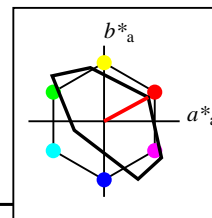
TLS00a; adaptierte CIELAB-Daten	$L^*=L^*_a$	$a^*_a$	$b^*_a$	$C^*_{ab,a}$	$h^*_{ab,a}$
O <sub>Ma</sub>	50.5	76.91	64.55	100.41	40
Y <sub>Ma</sub>	92.66	-20.67	90.75	93.08	103
L <sub>Ma</sub>	83.62	-82.73	79.9	115.02	136
C <sub>Ma</sub>	86.88	-46.14	-13.53	48.1	196
V <sub>Ma</sub>	30.39	76.06	-103.59	128.52	306
M <sub>Ma</sub>	57.31	94.35	-58.39	110.96	328
N <sub>Ma</sub>	0.01	0.0	0.0	0.0	0
W <sub>Ma</sub>	95.41	0.0	0.0	0.0	0
R <sub>CIE</sub>	39.92	58.74	27.99	65.07	25
J <sub>CIE</sub>	81.26	-2.88	71.56	71.62	92
G <sub>CIE</sub>	52.23	-42.41	13.6	44.55	162
B <sub>CIE</sub>	30.57	1.41	-46.46	46.49	272



%Umfang  
 $u^*_{rel} = 72$   
%Regularität  
 $g^*_{H,rel} = 26$   
 $g^*_{C,rel} = 45$

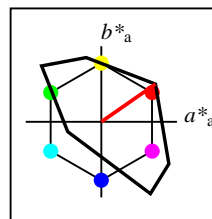
TLS38a; adaptierte CIELAB-Daten	$L^*=L^*_a$	$a^*_a$	$b^*_a$	$C^*_{ab,a}$	$h^*_{ab,a}$
O <sub>Ma</sub>	58.77	58.45	31.73	66.51	28
Y <sub>Ma</sub>	92.98	-18.1	70.81	73.09	104
L <sub>Ma</sub>	85.11	-68.57	60.02	91.14	139
C <sub>Ma</sub>	87.92	-39.41	-11.86	41.17	197
V <sub>Ma</sub>	46.64	44.93	-76.55	88.77	300
M <sub>Ma</sub>	63.71	75.92	-48.21	89.94	328
N <sub>Ma</sub>	37.99	0.0	0.0	0.0	0
W <sub>Ma</sub>	95.41	0.0	0.0	0.0	0
R <sub>CIE</sub>	39.92	58.74	27.99	65.07	25
J <sub>CIE</sub>	81.26	-2.88	71.56	71.62	92
G <sub>CIE</sub>	52.23	-42.41	13.6	44.55	162
B <sub>CIE</sub>	30.57	1.41	-46.46	46.49	272

Workflow-Wahlen  
für Farbmuster:  
1. keine Farbänderung  
2. Buntton-Änderung  
3. Buntheits-Änderung



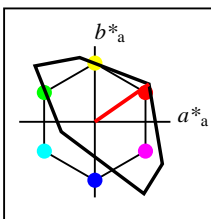
%Umfang  
 $u^*_{rel} = 72$   
%Regularität  
 $g^*_{H,rel} = 26$   
 $g^*_{C,rel} = 45$

TLS38a; adaptierte CIELAB-Daten	$L^*=L^*_a$	$a^*_a$	$b^*_a$	$C^*_{ab,a}$	$h^*_{ab,a}$
O <sub>Ma</sub>	58.77	58.45	31.73	66.51	28
Y <sub>Ma</sub>	92.98	-18.1	70.81	73.09	104
L <sub>Ma</sub>	85.11	-68.57	60.02	91.14	139
C <sub>Ma</sub>	87.92	-39.41	-11.86	41.17	197
V <sub>Ma</sub>	46.64	44.93	-76.55	88.77	300
M <sub>Ma</sub>	63.71	75.92	-48.21	89.94	328
N <sub>Ma</sub>	37.99	0.0	0.0	0.0	0
W <sub>Ma</sub>	95.41	0.0	0.0	0.0	0
R <sub>CIE</sub>	39.92	58.74	27.99	65.07	25
J <sub>CIE</sub>	81.26	-2.88	71.56	71.62	92
G <sub>CIE</sub>	52.23	-42.41	13.6	44.55	162
B <sub>CIE</sub>	30.57	1.41	-46.46	46.49	272



%Umfang  
 $u^*_{rel} = 118$   
%Regularität  
 $g^*_{H,rel} = 22$   
 $g^*_{C,rel} = 40$

TLS18a; adaptierte CIELAB-Daten	$L^*=L^*_a$	$a^*_a$	$b^*_a$	$C^*_{ab,a}$	$h^*_{ab,a}$
O <sub>Ma</sub>	52.76	71.63	49.88	87.29	35
Y <sub>Ma</sub>	92.74	-20.02	84.97	87.3	103
L <sub>Ma</sub>	84.0	-78.98	73.94	108.2	137
C <sub>Ma</sub>	87.14	-44.41	-13.11	46.32	196
V <sub>Ma</sub>	35.47	64.92	-95.06	115.12	304
M <sub>Ma</sub>	59.01	89.33	-55.67	105.26	328
N <sub>Ma</sub>	18.01	0.0	0.0	0.0	0
W <sub>Ma</sub>	95.41	0.0	0.0	0.0	0
R <sub>CIE</sub>	39.92	58.74	27.99	65.07	25
J <sub>CIE</sub>	81.26	-2.88	71.56	71.62	92
G <sub>CIE</sub>	52.23	-42.41	13.6	44.55	162
B <sub>CIE</sub>	30.57	1.41	-46.46	46.49	272



%Umfang  
 $u^*_{rel} = 118$   
%Regularität  
 $g^*_{H,rel} = 22$   
 $g^*_{C,rel} = 40$

TLS18	$L^*=L^*_a$	$a^*_a$	$b^*_a$	$C^*_{ab,a}$	$h^*_{ab,a}$
O <sub>M</sub>	52.76	71.63	49.88	87.29	35
Y <sub>M</sub>	92.74	-20.02	84.97	87.3	103
L <sub>M</sub>	84.0	-78.98	73.94	108.2	137
C <sub>M</sub>	87.14	-44.41	-13.11	46.32	196
V <sub>M</sub>	35.47	64.92	-95.06	115.12	304
M <sub>M</sub>	59.01	89.33	-55.67	105.26	328
N <sub>M</sub>	18.01	0.0	0.0	0.0	0
W <sub>M</sub>	95.41	0.0	0.0	0.0	0
R <sub>CIE</sub>	39.92	58.74	27.99	65.07	25
J <sub>CIE</sub>	81.26	-2.88	71.56	71.62	92
G <sub>CIE</sub>	52.23	-42.41	13.6	44.55	162
B <sub>CIE</sub>	30.57	1.41	-46.46	46.49	272



**Relatives CIELAB-Buntheitsdiagramm: ( $a_R^* = lab^*a$ ,  $b_R^* = lab^*b$ ) und absolutes CIELAB Bunttondreiecks-Diagramm: ( $L^*$ ,  $C_{ab}^*$ ) für Ein- (---) und Ausgabe (----) TLS00: Eingabe (i) Farbmatrik-Sytem; Sechs Bunttonwinkel des Farbgerätes: (40.0, 102.8, 136.0, 196.4, 306.3, 328.2); Vier Bunttonwinkel der Elementarfarben: (25.5, 92.3, 162.2, 271.7) TLS18: Ausgabe (o) Farbmatrik-Sytem; Sechs Bunttonwinkel des Farbgerätes: (34.9, 103.3, 136.9, 196.5, 304.3, 328.1); Vier Bunttonwinkel der Elementarfarben: (25.5, 92.3, 162.2, 271.7)**

#### Y Gelb

$olv3Mi = 1.0 \ 1.0 \ 0.0$   
 $olv3Mo = 1.0 \ 0.994 \ 0.0$   
 $LCHMi = 92.7 \ 93.1 \ 103$   
 $LCHo = 92.5 \ 87.3 \ 103$   
 $tchMi = 0.5 \ 1.0 \ 0.286$   
 $tchMo = 0.5 \ 1.0 \ 0.286$

#### L Laubgrün

$olv3Mi = 0.0 \ 1.0 \ 0.0$   
 $olv3Mo = 0.027 \ 1.0 \ 0.0$   
 $LCHMi = 83.6 \ 115.0 \ 136$   
 $LCHo = 84.2 \ 107.6 \ 136$   
 $tchMi = 0.5 \ 1.0 \ 0.378$   
 $tchMo = 0.5 \ 1.0 \ 0.378$

#### C Cyanblau

$olv3Mi = 0.0 \ 1.0 \ 1.0$   
 $olv3Mo = 0.0 \ 1.0 \ 0.998$   
 $LCHMi = 86.9 \ 48.1 \ 196$   
 $LCHo = 87.1 \ 46.4 \ 196$   
 $tchMi = 0.5 \ 1.0 \ 0.545$   
 $tchMo = 0.5 \ 1.0 \ 0.545$

#### O Orangerot

$olv3Mi = 1.0 \ 0.0 \ 0.0$   
 $olv3Mo = 1.0 \ 0.075 \ 0.0$   
 $LCHMi = 50.5 \ 100.4 \ 40$   
 $LCHo = 55.8 \ 87.3 \ 40$   
 $tchMi = 0.5 \ 1.0 \ 0.111$   
 $tchMo = 0.5 \ 1.0 \ 0.111$

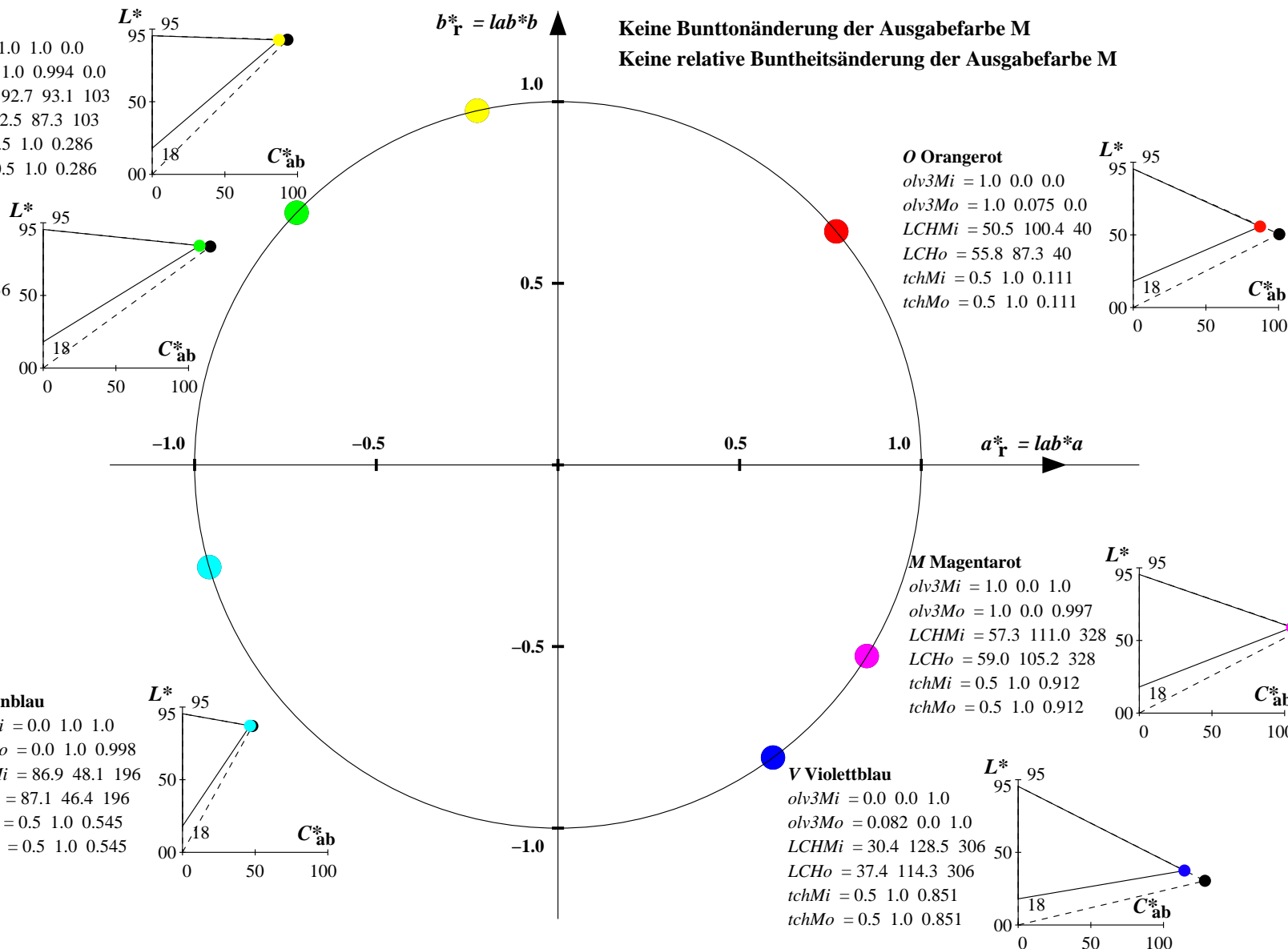
#### M Magentarot

$olv3Mi = 1.0 \ 0.0 \ 1.0$   
 $olv3Mo = 1.0 \ 0.0 \ 0.997$   
 $LCHMi = 57.3 \ 111.0 \ 328$   
 $LCHo = 59.0 \ 105.2 \ 328$   
 $tchMi = 0.5 \ 1.0 \ 0.912$   
 $tchMo = 0.5 \ 1.0 \ 0.912$

#### V Violettblau

$olv3Mi = 0.0 \ 0.0 \ 1.0$   
 $olv3Mo = 0.082 \ 0.0 \ 1.0$   
 $LCHMi = 30.4 \ 128.5 \ 306$   
 $LCHo = 37.4 \ 114.3 \ 306$   
 $tchMi = 0.5 \ 1.0 \ 0.851$   
 $tchMo = 0.5 \ 1.0 \ 0.851$

Keine Bunttonänderung der Ausgabefarbe M  
Keine relative Buntheitsänderung der Ausgabefarbe M



Relatives CIELAB-Buntheitsdiagramm: ( $a_R^* = lab^*a$ ,  $b_R^* = lab^*b$ ) und absolutes CIELAB Bunttondreiecks-Diagramm: ( $L^*$ ,  $C_{ab}^*$ ) für Ein- (---) und Ausgabe (----) TLS00: Eingabe (i) Farbmatrik-Sytem; Sechs Bunttonwinkel des Farbgerätes: (40.0, 102.8, 136.0, 196.4, 306.3, 328.2); Vier Bunttonwinkel der Elementarfarben: (25.5, 92.3, 162.2, 271.7) TLS18: Ausgabe (o) Farbmatrik-Sytem; Sechs Bunttonwinkel des Farbgerätes: (34.9, 103.3, 136.9, 196.5, 304.3, 328.1); Vier Bunttonwinkel der Elementarfarben: (25.5, 92.3, 162.2, 271.7)

#### Y Gelb

$olv3Mi = 1.0 \ 1.0 \ 0.0$   
 $olv3Mo = 0.715 \ 1.0 \ 0.0$   
 $LCHMi = 92.7 \ 93.1 \ 103$   
 $LCHo = 90.2 \ 93.3 \ 113$   
 $tchMi = 0.5 \ 1.0 \ 0.286$   
 $tchMo = 0.5 \ 1.0 \ 0.313$

#### L Laubgrün

$olv3Mi = 0.0 \ 1.0 \ 0.0$   
 $olv3Mo = 0.0 \ 1.0 \ 0.153$   
 $LCHMi = 83.6 \ 115.0 \ 136$   
 $LCHo = 84.5 \ 98.7 \ 146$   
 $tchMi = 0.5 \ 1.0 \ 0.378$   
 $tchMo = 0.5 \ 1.0 \ 0.406$

#### C Cyanblau

$olv3Mi = 0.0 \ 1.0 \ 1.0$   
 $olv3Mo = 0.0 \ 0.908 \ 1.0$   
 $LCHMi = 86.9 \ 48.1 \ 196$   
 $LCHo = 82.4 \ 52.6 \ 206$   
 $tchMi = 0.5 \ 1.0 \ 0.545$   
 $tchMo = 0.5 \ 1.0 \ 0.573$

#### O Orangerot

$olv3Mi = 1.0 \ 0.0 \ 0.0$   
 $olv3Mo = 1.0 \ 0.222 \ 0.0$   
 $LCHMi = 50.5 \ 100.4 \ 40$   
 $LCHo = 61.6 \ 87.3 \ 50$   
 $tchMi = 0.5 \ 1.0 \ 0.111$   
 $tchMo = 0.5 \ 1.0 \ 0.139$

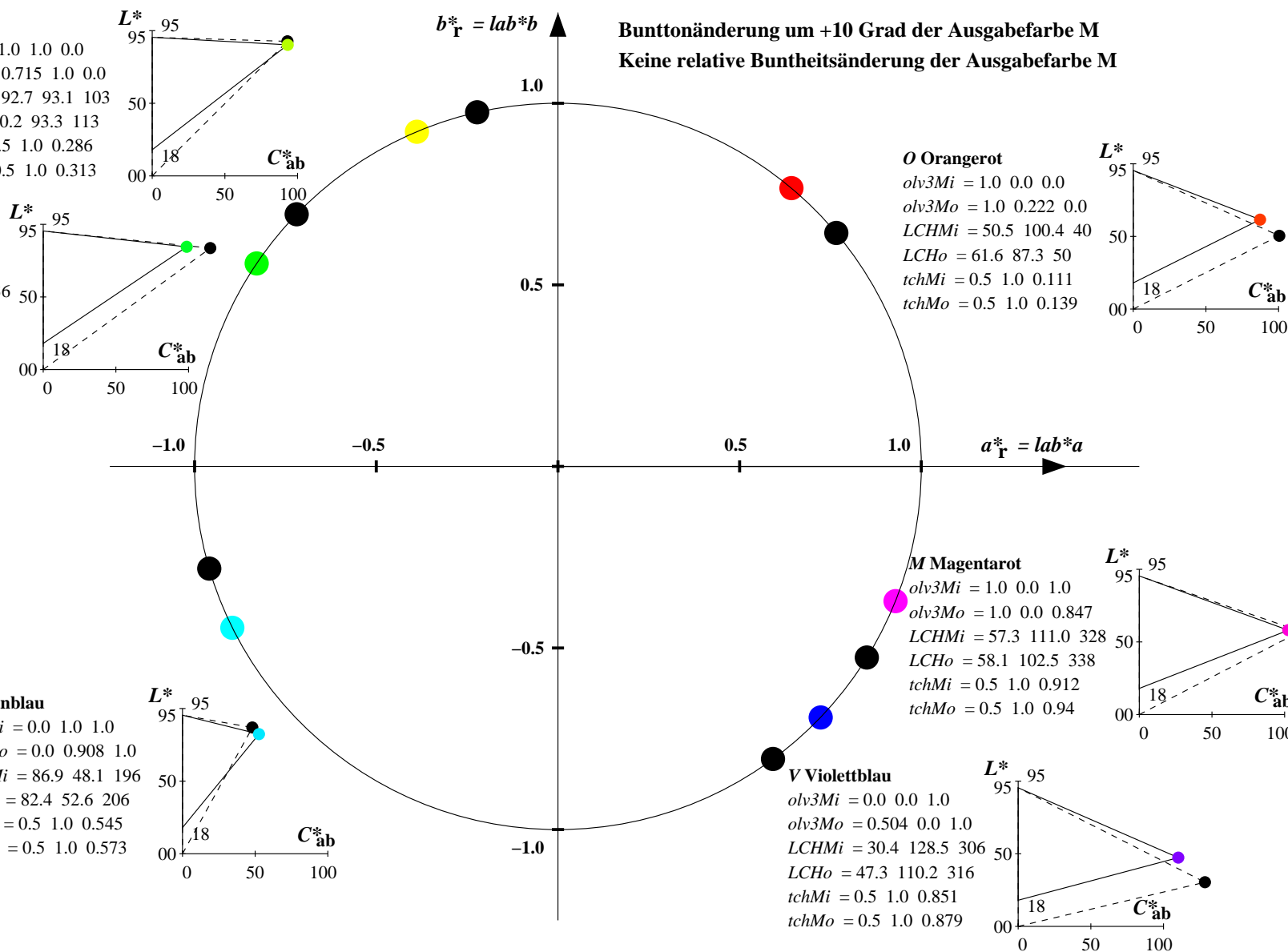
#### M Magentarot

$olv3Mi = 1.0 \ 0.0 \ 1.0$   
 $olv3Mo = 1.0 \ 0.0 \ 0.847$   
 $LCHMi = 57.3 \ 111.0 \ 328$   
 $LCHo = 58.1 \ 102.5 \ 338$   
 $tchMi = 0.5 \ 1.0 \ 0.912$   
 $tchMo = 0.5 \ 1.0 \ 0.94$

#### V Violettblau

$olv3Mi = 0.0 \ 0.0 \ 1.0$   
 $olv3Mo = 0.504 \ 0.0 \ 1.0$   
 $LCHMi = 30.4 \ 128.5 \ 306$   
 $LCHo = 47.3 \ 110.2 \ 316$   
 $tchMi = 0.5 \ 1.0 \ 0.851$   
 $tchMo = 0.5 \ 1.0 \ 0.879$

Bunttonänderung um +10 Grad der Ausgabefarbe M  
Keine relative Buntheitsänderung der Ausgabefarbe M



**Relatives CIELAB-Buntheitsdiagramm: ( $a^*_r = lab^*a$ ,  $b^*_r = lab^*b$ ) und absolutes CIELAB Bunttondreiecks-Diagramm: ( $L^*$ ,  $C^*_{ab}$ ) für Ein- (—) und Ausgabe (---) TLS00: Eingabe (i) Farbmatrik-Sytem; Sechs Bunttonwinkel des Farbgerätes: (40.0, 102.8, 136.0, 196.4, 306.3, 328.2); Vier Bunttonwinkel der Elementarfarben: (25.5, 92.3, 162.2, 271.7)  
TLS18: Ausgabe (o) Farbmatrik-Sytem; Sechs Bunttonwinkel des Farbgerätes: (34.9, 103.3, 136.9, 196.5, 304.3, 328.1); Vier Bunttonwinkel der Elementarfarben: (25.5, 92.3, 162.2, 271.7)**

#### Y Gelb

olv3Mi = 1.0 1.0 0.0  
olv3Mo = 0.75 0.747 0.25  
LCHMi = 92.7 93.1 103  
LCHo = 70.1 43.6 103  
tchMi = 0.5 1.0 0.286  
tchMo = 0.5 0.5 0.286

#### L Laubgrün

olv3Mi = 0.0 1.0 0.0  
olv3Mo = 0.263 0.75 0.25  
LCHMi = 83.6 115.0 136  
LCHo = 66.0 53.8 136  
tchMi = 0.5 1.0 0.378  
tchMo = 0.5 0.5 0.378

#### C Cyanblau

olv3Mi = 0.0 1.0 1.0  
olv3Mo = 0.25 0.75 0.749  
LCHMi = 86.9 48.1 196  
LCHo = 67.4 23.2 196  
tchMi = 0.5 1.0 0.545  
tchMo = 0.5 0.5 0.545

#### O Orangerot

olv3Mi = 1.0 0.0 0.0  
olv3Mo = 0.75 0.288 0.25  
LCHMi = 50.5 100.4 40  
LCHo = 51.7 43.6 40  
tchMi = 0.5 1.0 0.111  
tchMo = 0.5 0.5 0.111

#### M Magentarot

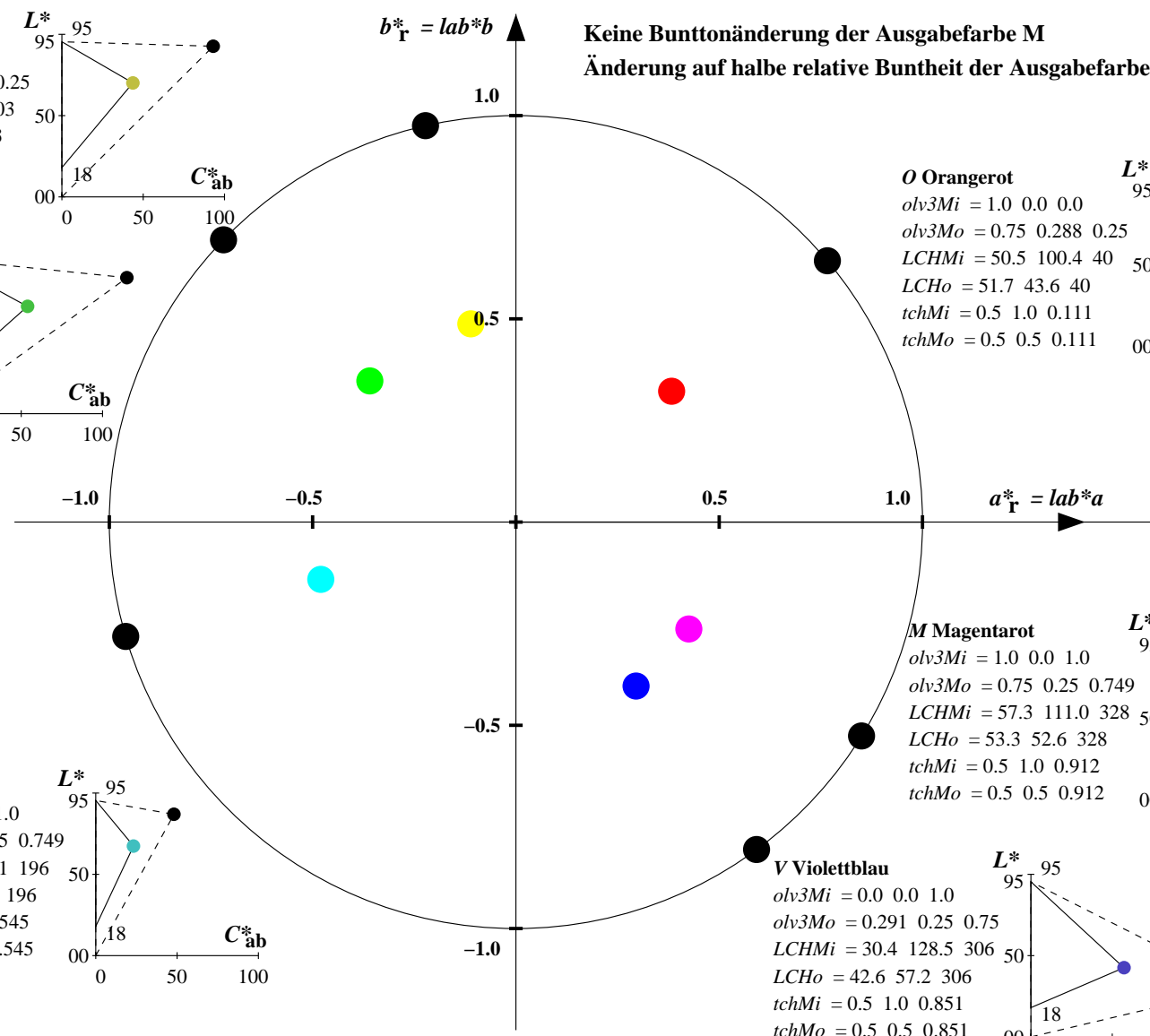
olv3Mi = 1.0 0.0 1.0  
olv3Mo = 0.75 0.25 0.749  
LCHMi = 57.3 111.0 328  
LCHo = 53.3 52.6 328  
tchMi = 0.5 1.0 0.912  
tchMo = 0.5 0.5 0.912

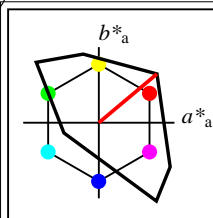
#### V Violettblau

olv3Mi = 0.0 0.0 1.0  
olv3Mo = 0.291 0.25 0.75  
LCHMi = 30.4 128.5 306  
LCHo = 42.6 57.2 306  
tchMi = 0.5 1.0 0.851  
tchMo = 0.5 0.5 0.851

**Keine Bunttonänderung der Ausgabefarbe M**

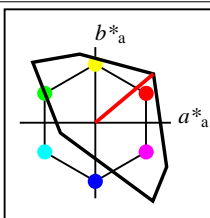
**Änderung auf halbe relative Buntheit der Ausgabefarbe M**





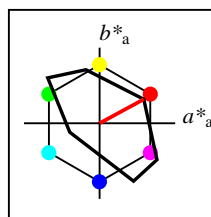
%Umfang  
 $u^*_{rel} = 158$   
%Regularität  
 $g^*_{H,rel} = 20$   
 $g^*_{C,rel} = 37$

TLS00	$L^*=L^*_a$	$a^*_a$	$b^*_a$	$C^*_{ab,a}$	$h^*_{ab,a}$
O <sub>M</sub>	50.5	76.91	64.55	100.41	40
Y <sub>M</sub>	92.66	-20.67	90.75	93.08	103
L <sub>M</sub>	83.62	-82.73	79.9	115.02	136
C <sub>M</sub>	86.88	-46.14	-13.53	48.1	196
V <sub>M</sub>	30.39	76.06	-103.59	128.52	306
M <sub>M</sub>	57.31	94.35	-58.39	110.96	328
N <sub>M</sub>	0.01	0.0	0.0	0.0	0
W <sub>M</sub>	95.41	0.0	0.0	0.0	0
R <sub>CIE</sub>	39.92	58.74	27.99	65.07	25
J <sub>CIE</sub>	81.26	-2.88	71.56	71.62	92
G <sub>CIE</sub>	52.23	-42.41	13.6	44.55	162
B <sub>CIE</sub>	30.57	1.41	-46.46	46.49	272



%Umfang  
 $u^*_{rel} = 158$   
%Regularität  
 $g^*_{H,rel} = 20$   
 $g^*_{C,rel} = 37$

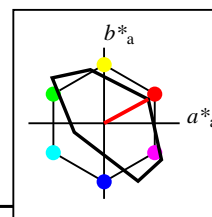
TLS00a; adaptierte CIELAB-Daten	$L^*=L^*_a$	$a^*_a$	$b^*_a$	$C^*_{ab,a}$	$h^*_{ab,a}$
O <sub>Ma</sub>	50.5	76.91	64.55	100.41	40
Y <sub>Ma</sub>	92.66	-20.67	90.75	93.08	103
L <sub>Ma</sub>	83.62	-82.73	79.9	115.02	136
C <sub>Ma</sub>	86.88	-46.14	-13.53	48.1	196
V <sub>Ma</sub>	30.39	76.06	-103.59	128.52	306
M <sub>Ma</sub>	57.31	94.35	-58.39	110.96	328
N <sub>Ma</sub>	0.01	0.0	0.0	0.0	0
W <sub>Ma</sub>	95.41	0.0	0.0	0.0	0
R <sub>CIE</sub>	39.92	58.74	27.99	65.07	25
J <sub>CIE</sub>	81.26	-2.88	71.56	71.62	92
G <sub>CIE</sub>	52.23	-42.41	13.6	44.55	162
B <sub>CIE</sub>	30.57	1.41	-46.46	46.49	272



%Umfang  
 $u^*_{rel} = 72$   
%Regularität  
 $g^*_{H,rel} = 26$   
 $g^*_{C,rel} = 45$

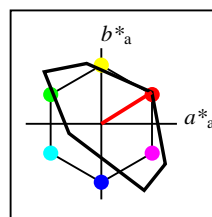
TLS38a; adaptierte CIELAB-Daten	$L^*=L^*_a$	$a^*_a$	$b^*_a$	$C^*_{ab,a}$	$h^*_{ab,a}$
O <sub>Ma</sub>	58.77	58.45	31.73	66.51	28
Y <sub>Ma</sub>	92.98	-18.1	70.81	73.09	104
L <sub>Ma</sub>	85.11	-68.57	60.02	91.14	139
C <sub>Ma</sub>	87.92	-39.41	-11.86	41.17	197
V <sub>Ma</sub>	46.64	44.93	-76.55	88.77	300
M <sub>Ma</sub>	63.71	75.92	-48.21	89.94	328
N <sub>Ma</sub>	37.99	0.0	0.0	0.0	0
W <sub>Ma</sub>	95.41	0.0	0.0	0.0	0
R <sub>CIE</sub>	39.92	58.74	27.99	65.07	25
J <sub>CIE</sub>	81.26	-2.88	71.56	71.62	92
G <sub>CIE</sub>	52.23	-42.41	13.6	44.55	162
B <sub>CIE</sub>	30.57	1.41	-46.46	46.49	272

Workflow-Wahlen  
für Farbmuster:  
1. keine Farbänderung  
2. Buntton-Änderung  
3. Buntheits-Änderung



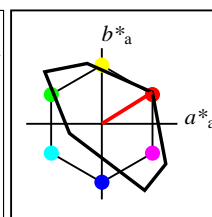
%Umfang  
 $u^*_{rel} = 72$   
%Regularität  
 $g^*_{H,rel} = 26$   
 $g^*_{C,rel} = 45$

TLS38a; adaptierte CIELAB-Daten	$L^*=L^*_a$	$a^*_a$	$b^*_a$	$C^*_{ab,a}$	$h^*_{ab,a}$
O <sub>Ma</sub>	58.77	58.45	31.73	66.51	28
Y <sub>Ma</sub>	92.98	-18.1	70.81	73.09	104
L <sub>Ma</sub>	85.11	-68.57	60.02	91.14	139
C <sub>Ma</sub>	87.92	-39.41	-11.86	41.17	197
V <sub>Ma</sub>	46.64	44.93	-76.55	88.77	300
M <sub>Ma</sub>	63.71	75.92	-48.21	89.94	328
N <sub>Ma</sub>	37.99	0.0	0.0	0.0	0
W <sub>Ma</sub>	95.41	0.0	0.0	0.0	0
R <sub>CIE</sub>	39.92	58.74	27.99	65.07	25
J <sub>CIE</sub>	81.26	-2.88	71.56	71.62	92
G <sub>CIE</sub>	52.23	-42.41	13.6	44.55	162
B <sub>CIE</sub>	30.57	1.41	-46.46	46.49	272



%Umfang  
 $u^*_{rel} = 98$   
%Regularität  
 $g^*_{H,rel} = 24$   
 $g^*_{C,rel} = 43$

TLS28a; adaptierte CIELAB-Daten	$L^*=L^*_a$	$a^*_a$	$b^*_a$	$C^*_{ab,a}$	$h^*_{ab,a}$
O <sub>Ma</sub>	54.88	66.84	41.69	78.78	32
Y <sub>Ma</sub>	92.82	-19.38	79.81	82.13	104
L <sub>Ma</sub>	84.37	-75.38	68.76	102.04	138
C <sub>Ma</sub>	87.4	-42.71	-12.69	44.57	197
V <sub>Ma</sub>	39.7	56.66	-88.01	104.68	303
M <sub>Ma</sub>	60.64	84.61	-53.07	99.88	328
N <sub>Ma</sub>	26.85	0.0	0.0	0.0	0
W <sub>Ma</sub>	95.41	0.0	0.0	0.0	0
R <sub>CIE</sub>	39.92	58.74	27.99	65.07	25
J <sub>CIE</sub>	81.26	-2.88	71.56	71.62	92
G <sub>CIE</sub>	52.23	-42.41	13.6	44.55	162
B <sub>CIE</sub>	30.57	1.41	-46.46	46.49	272



%Umfang  
 $u^*_{rel} = 98$   
%Regularität  
 $g^*_{H,rel} = 24$   
 $g^*_{C,rel} = 43$

TLS28	$L^*=L^*_a$	$a^*_a$	$b^*_a$	$C^*_{ab,a}$	$h^*_{ab,a}$
O <sub>M</sub>	54.88	66.84	41.69	78.78	32
Y <sub>M</sub>	92.82	-19.38	79.81	82.13	104
L <sub>M</sub>	84.37	-75.38	68.76	102.04	138
C <sub>M</sub>	87.4	-42.71	-12.69	44.57	197
V <sub>M</sub>	39.7	56.66	-88.01	104.68	303
M <sub>M</sub>	60.64	84.61	-53.07	99.88	328
N <sub>M</sub>	26.85	0.0	0.0	0.0	0
W <sub>M</sub>	95.41	0.0	0.0	0.0	0
R <sub>CIE</sub>	39.92	58.74	27.99	65.07	25
J <sub>CIE</sub>	81.26	-2.88	71.56	71.62	92
G <sub>CIE</sub>	52.23	-42.41	13.6	44.55	162
B <sub>CIE</sub>	30.57	1.41	-46.46	46.49	272

**Relatives CIELAB-Buntheitsdiagramm:** ( $a_R^* = lab^*a$ ,  $b_R^* = lab^*b$ ) und **absolutes CIELAB Bunttondreiecks-Diagramm:** ( $L^*$ ,  $C_{ab}^*$ ) für Ein- (---) und Ausgabe (----) TLS00: Eingabe (i) Farbmatrik-Sytem; Sechs Bunttonwinkel des Farbgerätes: (40.0, 102.8, 136.0, 196.4, 306.3, 328.2); Vier Bunttonwinkel der Elementarfarben: (25.5, 92.3, 162.2, 271.7)  
TLS28: Ausgabe (o) Farbmatrik-Sytem; Sechs Bunttonwinkel des Farbgerätes: (32.0, 103.7, 137.6, 196.6, 302.8, 327.9); Vier Bunttonwinkel der Elementarfarben: (25.5, 92.3, 162.2, 271.7)

#### Y Gelb

olv3Mi = 1.0 1.0 0.0  
olv3Mo = 1.0 0.989 0.0  
LCHMi = 92.7 93.1 103  
LCHo = 92.4 82.1 103  
tchMi = 0.5 1.0 0.286  
tchMo = 0.5 1.0 0.286

#### L Laubgrün

olv3Mi = 0.0 1.0 0.0  
olv3Mo = 0.048 1.0 0.0  
LCHMi = 83.6 115.0 136  
LCHo = 84.8 101.1 136  
tchMi = 0.5 1.0 0.378  
tchMo = 0.5 1.0 0.378

#### C Cyanblau

olv3Mi = 0.0 1.0 1.0  
olv3Mo = 0.0 1.0 0.997  
LCHMi = 86.9 48.1 196  
LCHo = 87.4 44.8 196  
tchMi = 0.5 1.0 0.545  
tchMo = 0.5 1.0 0.545

#### O Orangerot

olv3Mi = 1.0 0.0 0.0  
olv3Mo = 1.0 0.112 0.0  
LCHMi = 50.5 100.4 40  
LCHo = 59.1 79.2 40  
tchMi = 0.5 1.0 0.111  
tchMo = 0.5 1.0 0.111

#### M Magentarot

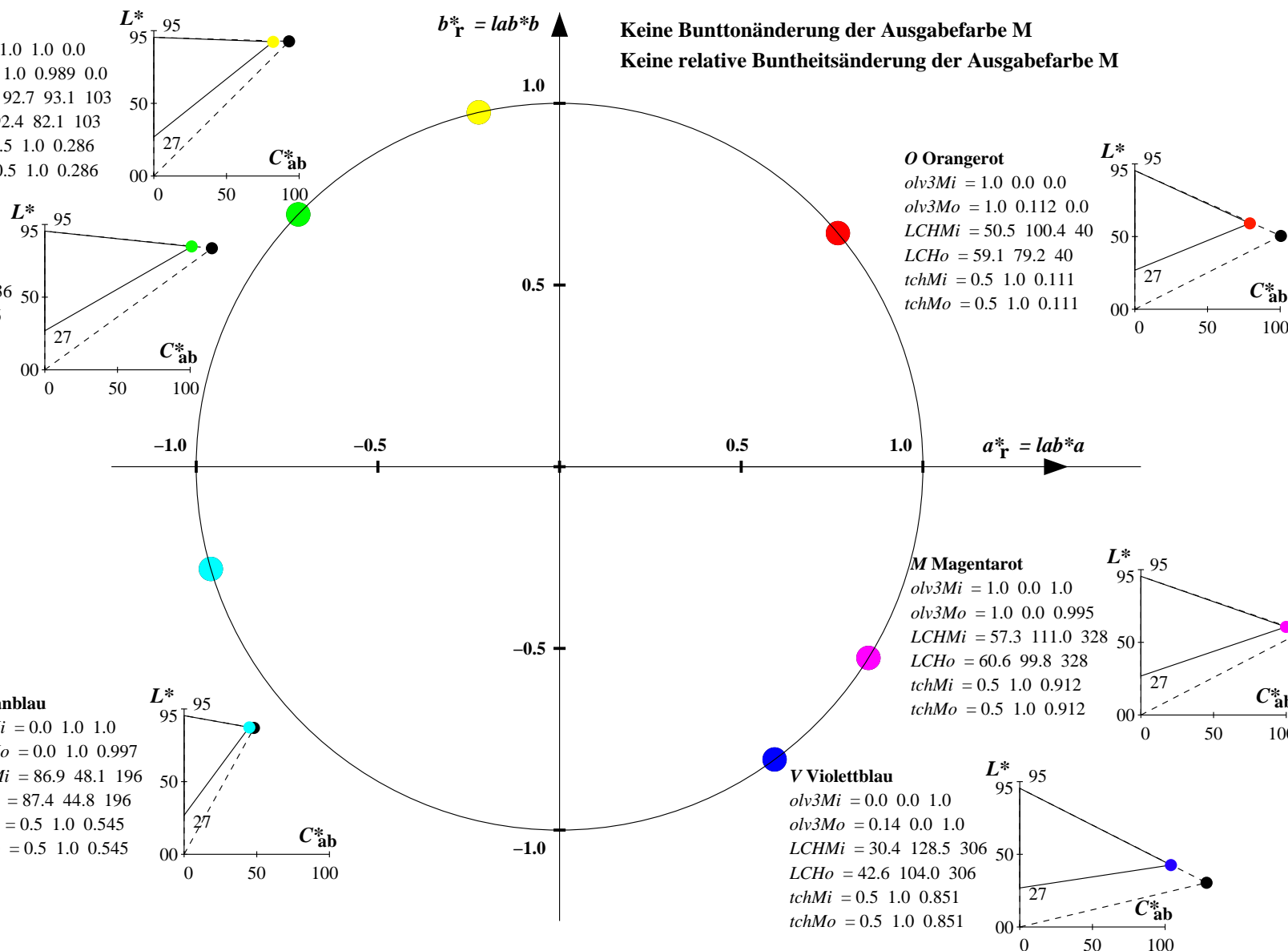
olv3Mi = 1.0 0.0 1.0  
olv3Mo = 1.0 0.0 0.995  
LCHMi = 57.3 111.0 328  
LCHo = 60.6 99.8 328  
tchMi = 0.5 1.0 0.912  
tchMo = 0.5 1.0 0.912

#### V Violettblau

olv3Mi = 0.0 0.0 1.0  
olv3Mo = 0.14 0.0 1.0  
LCHMi = 30.4 128.5 306  
LCHo = 42.6 104.0 306  
tchMi = 0.5 1.0 0.851  
tchMo = 0.5 1.0 0.851

Keine Bunttonänderung der Ausgabefarbe M

Keine relative Buntheitsänderung der Ausgabefarbe M





**Relatives CIELAB-Buntheitsdiagramm: ( $a_R^* = lab^*a$ ,  $b_R^* = lab^*b$ ) und absolutes CIELAB Bunttondreiecks-Diagramm: ( $L^*$ ,  $C_{ab}^*$ ) für Ein- (---) und Ausgabe (----) TLS00: Eingabe (i) Farbmatrik-Sytem; Sechs Bunttonwinkel des Farbgerätes: (40.0, 102.8, 136.0, 196.4, 306.3, 328.2); Vier Bunttonwinkel der Elementarfarben: (25.5, 92.3, 162.2, 271.7) TLS28: Ausgabe (o) Farbmatrik-Sytem; Sechs Bunttonwinkel des Farbgerätes: (32.0, 103.7, 137.6, 196.6, 302.8, 327.9); Vier Bunttonwinkel der Elementarfarben: (25.5, 92.3, 162.2, 271.7)**

**Y Gelb**

$olv3Mi = 1.0 \ 1.0 \ 0.0$   
 $olv3Mo = 0.73 \ 1.0 \ 0.0$   
 $LCHMi = 92.7 \ 93.1 \ 103$   
 $LCHo = 90.5 \ 87.5 \ 113$   
 $tchMi = 0.5 \ 1.0 \ 0.286$   
 $tchMo = 0.5 \ 1.0 \ 0.313$

**L Laubgrün**

$olv3Mi = 0.0 \ 1.0 \ 0.0$   
 $olv3Mo = 0.0 \ 1.0 \ 0.142$   
 $LCHMi = 83.6 \ 115.0 \ 136$   
 $LCHo = 84.8 \ 93.9 \ 146$   
 $tchMi = 0.5 \ 1.0 \ 0.378$   
 $tchMo = 0.5 \ 1.0 \ 0.406$

**C Cyanblau**

$olv3Mi = 0.0 \ 1.0 \ 1.0$   
 $olv3Mo = 0.0 \ 0.908 \ 1.0$   
 $LCHMi = 86.9 \ 48.1 \ 196$   
 $LCHo = 83.0 \ 50.1 \ 206$   
 $tchMi = 0.5 \ 1.0 \ 0.545$   
 $tchMo = 0.5 \ 1.0 \ 0.573$

**O Orangerot**

$olv3Mi = 1.0 \ 0.0 \ 0.0$   
 $olv3Mo = 1.0 \ 0.252 \ 0.0$   
 $LCHMi = 50.5 \ 100.4 \ 40$   
 $LCHo = 64.4 \ 79.6 \ 50$   
 $tchMi = 0.5 \ 1.0 \ 0.111$   
 $tchMo = 0.5 \ 1.0 \ 0.139$

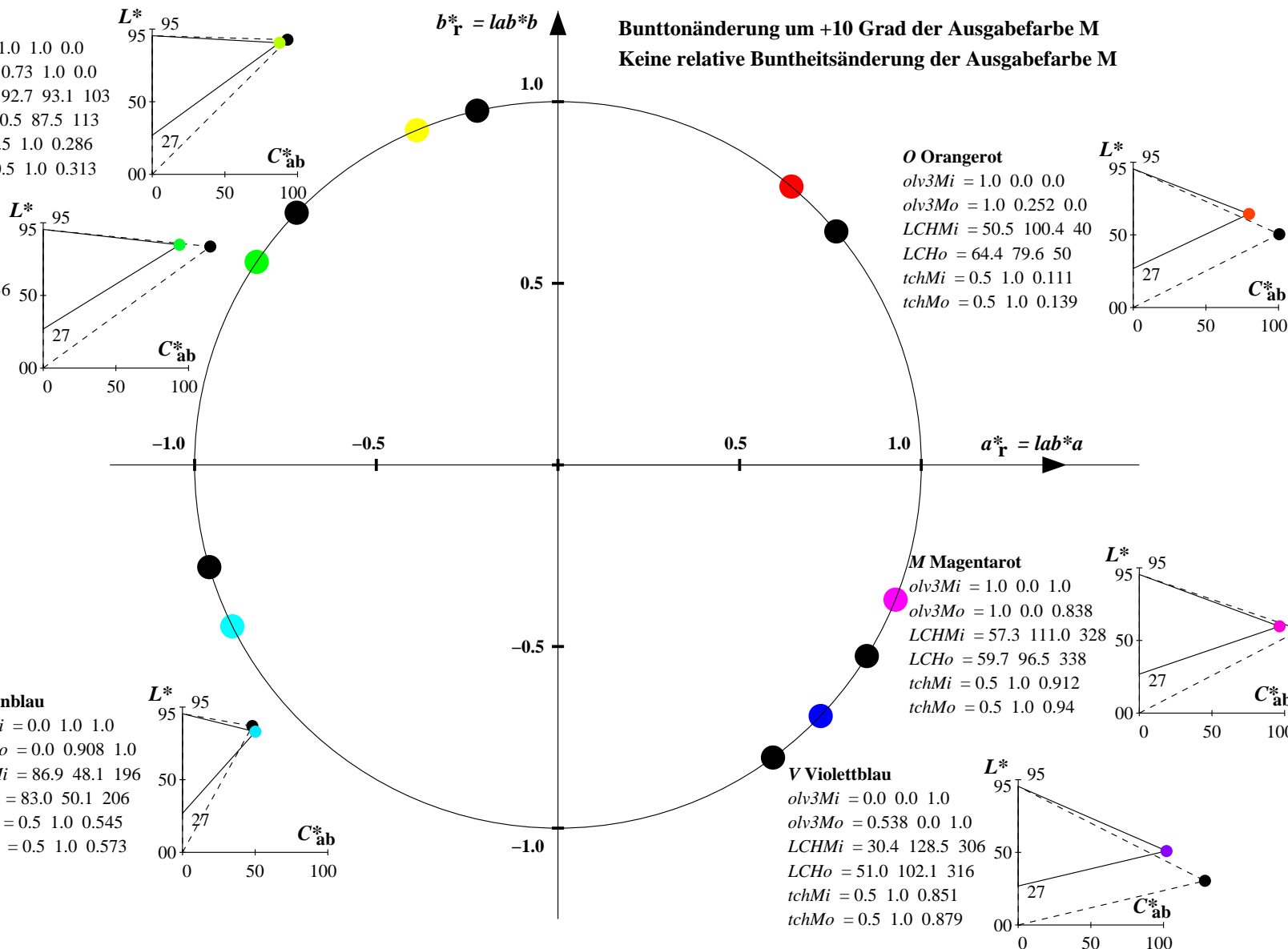
**M Magentarot**

$olv3Mi = 1.0 \ 0.0 \ 1.0$   
 $olv3Mo = 1.0 \ 0.0 \ 0.838$   
 $LCHMi = 57.3 \ 111.0 \ 328$   
 $LCHo = 59.7 \ 96.5 \ 338$   
 $tchMi = 0.5 \ 1.0 \ 0.912$   
 $tchMo = 0.5 \ 1.0 \ 0.94$

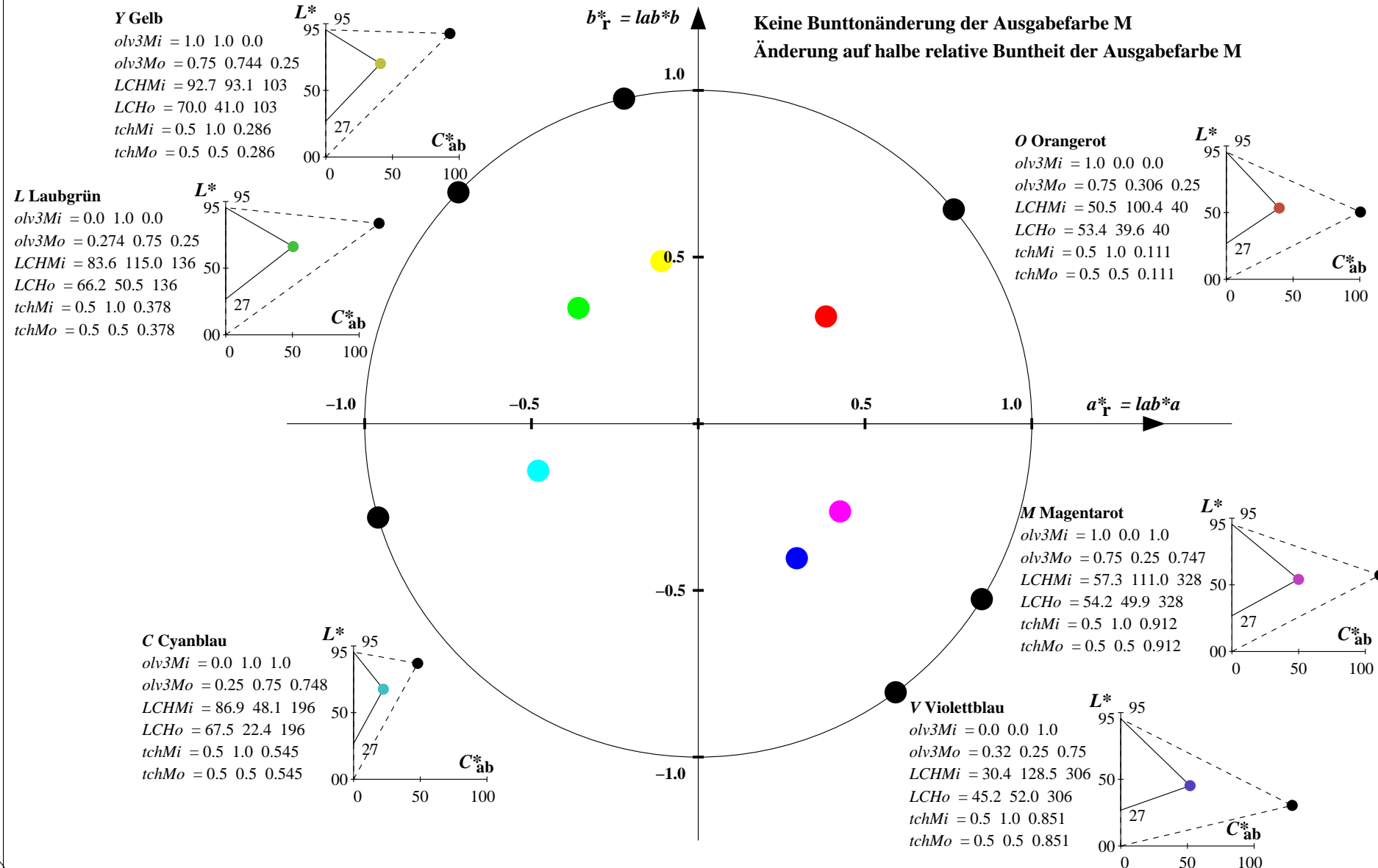
**V Violettblau**

$olv3Mi = 0.0 \ 0.0 \ 1.0$   
 $olv3Mo = 0.538 \ 0.0 \ 1.0$   
 $LCHMi = 30.4 \ 128.5 \ 306$   
 $LCHo = 51.0 \ 102.1 \ 316$   
 $tchMi = 0.5 \ 1.0 \ 0.851$   
 $tchMo = 0.5 \ 1.0 \ 0.879$

**Bunttonänderung um +10 Grad der Ausgabefarbe M  
Keine relative Buntheitsänderung der Ausgabefarbe M**

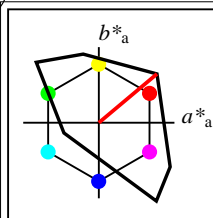


**Relatives CIELAB-Buntheitsdiagramm: ( $a_R^* = lab^*a$ ,  $b_R^* = lab^*b$ ) und absolutes CIELAB Bunttondreiecks-Diagramm: ( $L^*$ ,  $C_{ab}^*$ ) für Ein- (---) und Ausgabe (----) TLS00: Eingabe (i) Farbmatrik-Sytem; Sechs Bunttonwinkel des Farbgerätes: (40.0, 102.8, 136.0, 196.4, 306.3, 328.2); Vier Bunttonwinkel der Elementarfarben: (25.5, 92.3, 162.2, 271.7) TLS28: Ausgabe (o) Farbmatrik-Sytem; Sechs Bunttonwinkel des Farbgerätes: (32.0, 103.7, 137.6, 196.6, 302.8, 327.9); Vier Bunttonwinkel der Elementarfarben: (25.5, 92.3, 162.2, 271.7)**



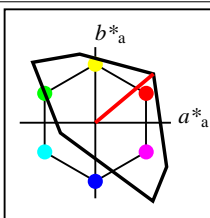
YG680-7, Farb-Management-Workflow: Geräte-Farbeingabedaten des Farbenraums TLS00 -> Geräte-Farbausgabedaten des Farbenraums TLS28, Seite 20/32

BAM-Prüfvorlage YG68; Farbmatrikworkflow TLS00->TLS28 Eingabe: olv\* setrgbcolor  
D65: 6 Grundfarben; Geräte- und Musterdaten; Seite 20/32 Ausgabe: olv\*' (TRI9) setrgbcolor



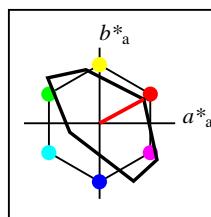
%Umfang  
 $u^*_{rel} = 158$   
%Regularität  
 $g^*_{H,rel} = 20$   
 $g^*_{C,rel} = 37$

TLS00	$L^*=L^*_a$	$a^*_a$	$b^*_a$	$C^*_{ab,a}$	$h^*_{ab,a}$
O <sub>M</sub>	50.5	76.91	64.55	100.41	40
Y <sub>M</sub>	92.66	-20.67	90.75	93.08	103
L <sub>M</sub>	83.62	-82.73	79.9	115.02	136
C <sub>M</sub>	86.88	-46.14	-13.53	48.1	196
V <sub>M</sub>	30.39	76.06	-103.59	128.52	306
M <sub>M</sub>	57.31	94.35	-58.39	110.96	328
N <sub>M</sub>	0.01	0.0	0.0	0.0	0
W <sub>M</sub>	95.41	0.0	0.0	0.0	0
R <sub>CIE</sub>	39.92	58.74	27.99	65.07	25
J <sub>CIE</sub>	81.26	-2.88	71.56	71.62	92
G <sub>CIE</sub>	52.23	-42.41	13.6	44.55	162
B <sub>CIE</sub>	30.57	1.41	-46.46	46.49	272



%Umfang  
 $u^*_{rel} = 158$   
%Regularität  
 $g^*_{H,rel} = 20$   
 $g^*_{C,rel} = 37$

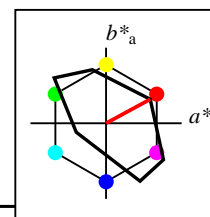
TLS00a; adaptierte CIELAB-Daten	$L^*=L^*_a$	$a^*_a$	$b^*_a$	$C^*_{ab,a}$	$h^*_{ab,a}$
O <sub>Ma</sub>	50.5	76.91	64.55	100.41	40
Y <sub>Ma</sub>	92.66	-20.67	90.75	93.08	103
L <sub>Ma</sub>	83.62	-82.73	79.9	115.02	136
C <sub>Ma</sub>	86.88	-46.14	-13.53	48.1	196
V <sub>Ma</sub>	30.39	76.06	-103.59	128.52	306
M <sub>Ma</sub>	57.31	94.35	-58.39	110.96	328
N <sub>Ma</sub>	0.01	0.0	0.0	0.0	0
W <sub>Ma</sub>	95.41	0.0	0.0	0.0	0
R <sub>CIE</sub>	39.92	58.74	27.99	65.07	25
J <sub>CIE</sub>	81.26	-2.88	71.56	71.62	92
G <sub>CIE</sub>	52.23	-42.41	13.6	44.55	162
B <sub>CIE</sub>	30.57	1.41	-46.46	46.49	272



%Umfang  
 $u^*_{rel} = 72$   
%Regularität  
 $g^*_{H,rel} = 26$   
 $g^*_{C,rel} = 45$

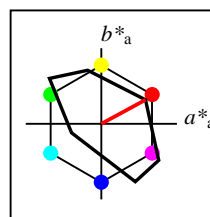
TLS38a; adaptierte CIELAB-Daten	$L^*=L^*_a$	$a^*_a$	$b^*_a$	$C^*_{ab,a}$	$h^*_{ab,a}$
O <sub>Ma</sub>	58.77	58.45	31.73	66.51	28
Y <sub>Ma</sub>	92.98	-18.1	70.81	73.09	104
L <sub>Ma</sub>	85.11	-68.57	60.02	91.14	139
C <sub>Ma</sub>	87.92	-39.41	-11.86	41.17	197
V <sub>Ma</sub>	46.64	44.93	-76.55	88.77	300
M <sub>Ma</sub>	63.71	75.92	-48.21	89.94	328
N <sub>Ma</sub>	37.99	0.0	0.0	0.0	0
W <sub>Ma</sub>	95.41	0.0	0.0	0.0	0
R <sub>CIE</sub>	39.92	58.74	27.99	65.07	25
J <sub>CIE</sub>	81.26	-2.88	71.56	71.62	92
G <sub>CIE</sub>	52.23	-42.41	13.6	44.55	162
B <sub>CIE</sub>	30.57	1.41	-46.46	46.49	272

Workflow-Wahlen  
für Farbmuster:  
1. keine Farbänderung  
2. Buntton-Änderung  
3. Buntheits-Änderung



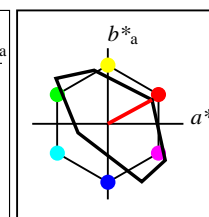
%Umfang  
 $u^*_{rel} = 72$   
%Regularität  
 $g^*_{H,rel} = 26$   
 $g^*_{C,rel} = 45$

TLS38a; adaptierte CIELAB-Daten	$L^*=L^*_a$	$a^*_a$	$b^*_a$	$C^*_{ab,a}$	$h^*_{ab,a}$
O <sub>Ma</sub>	58.77	58.45	31.73	66.51	28
Y <sub>Ma</sub>	92.98	-18.1	70.81	73.09	104
L <sub>Ma</sub>	85.11	-68.57	60.02	91.14	139
C <sub>Ma</sub>	87.92	-39.41	-11.86	41.17	197
V <sub>Ma</sub>	46.64	44.93	-76.55	88.77	300
M <sub>Ma</sub>	63.71	75.92	-48.21	89.94	328
N <sub>Ma</sub>	37.99	0.0	0.0	0.0	0
W <sub>Ma</sub>	95.41	0.0	0.0	0.0	0
R <sub>CIE</sub>	39.92	58.74	27.99	65.07	25
J <sub>CIE</sub>	81.26	-2.88	71.56	71.62	92
G <sub>CIE</sub>	52.23	-42.41	13.6	44.55	162
B <sub>CIE</sub>	30.57	1.41	-46.46	46.49	272



%Umfang  
 $u^*_{rel} = 72$   
%Regularität  
 $g^*_{H,rel} = 26$   
 $g^*_{C,rel} = 45$

TLS38a; adaptierte CIELAB-Daten	$L^*=L^*_a$	$a^*_a$	$b^*_a$	$C^*_{ab,a}$	$h^*_{ab,a}$
O <sub>Ma</sub>	58.77	58.45	31.73	66.51	28
Y <sub>Ma</sub>	92.98	-18.1	70.81	73.09	104
L <sub>Ma</sub>	85.11	-68.57	60.02	91.14	139
C <sub>Ma</sub>	87.92	-39.41	-11.86	41.17	197
V <sub>Ma</sub>	46.64	44.93	-76.55	88.77	300
M <sub>Ma</sub>	63.71	75.92	-48.21	89.94	328
N <sub>Ma</sub>	37.99	0.0	0.0	0.0	0
W <sub>Ma</sub>	95.41	0.0	0.0	0.0	0
R <sub>CIE</sub>	39.92	58.74	27.99	65.07	25
J <sub>CIE</sub>	81.26	-2.88	71.56	71.62	92
G <sub>CIE</sub>	52.23	-42.41	13.6	44.55	162
B <sub>CIE</sub>	30.57	1.41	-46.46	46.49	272



%Umfang  
 $u^*_{rel} = 72$   
%Regularität  
 $g^*_{H,rel} = 26$   
 $g^*_{C,rel} = 45$

TLS38	$L^*=L^*_a$	$a^*_a$	$b^*_a$	$C^*_{ab,a}$	$h^*_{ab,a}$
O <sub>M</sub>	58.77	58.45	31.73	66.51	28
Y <sub>M</sub>	92.98	-18.1	70.81	73.09	104
L <sub>M</sub>	85.11	-68.57	60.02	91.14	139
C <sub>M</sub>	87.92	-39.41	-11.86	41.17	197
V <sub>M</sub>	46.64	44.93	-76.55	88.77	300
M <sub>M</sub>	63.71	75.92	-48.21	89.94	328
N <sub>M</sub>	37.99	0.0	0.0	0.0	0
W <sub>M</sub>	95.41	0.0	0.0	0.0	0
R <sub>CIE</sub>	39.92	58.74	27.99	65.07	25
J <sub>CIE</sub>	81.26	-2.88	71.56	71.62	92
G <sub>CIE</sub>	52.23	-42.41	13.6	44.55	162
B <sub>CIE</sub>	30.57	1.41	-46.46	46.49	272

**Relatives CIELAB-Buntheitsdiagramm:** ( $a^*_r = lab^*a$ ,  $b^*_r = lab^*b$ ) und **absolutes CIELAB Bunttondreiecks-Diagramm:** ( $L^*$ ,  $C^*_{ab}$ ) für Ein- (---) und Ausgabe (----) TLS00: Eingabe (i) Farbmatrik-Sytem; Sechs Bunttonwinkel des Farbgerätes: (40.0, 102.8, 136.0, 196.4, 306.3, 328.2); Vier Bunttonwinkel der Elementarfarben: (25.5, 92.3, 162.2, 271.7)  
TLS38: Ausgabe (o) Farbmatrik-Sytem; Sechs Bunttonwinkel des Farbgerätes: (28.5, 104.3, 138.8, 196.8, 300.4, 327.6); Vier Bunttonwinkel der Elementarfarben: (25.5, 92.3, 162.2, 271.7)

#### Y Gelb

$olv3Mi = 1.0 \ 1.0 \ 0.0$   
 $olv3Mo = 1.0 \ 0.98 \ 0.0$   
 $LCHMi = 92.7 \ 93.1 \ 103$   
 $LCHo = 92.3 \ 73.0 \ 103$   
 $tchMi = 0.5 \ 1.0 \ 0.286$   
 $tchMo = 0.5 \ 1.0 \ 0.286$

#### L Laubgrün

$olv3Mi = 0.0 \ 1.0 \ 0.0$   
 $olv3Mo = 0.082 \ 1.0 \ 0.0$   
 $LCHMi = 83.6 \ 115.0 \ 136$   
 $LCHo = 85.8 \ 89.7 \ 136$   
 $tchMi = 0.5 \ 1.0 \ 0.378$   
 $tchMo = 0.5 \ 1.0 \ 0.378$

#### C Cyanblau

$olv3Mi = 0.0 \ 1.0 \ 1.0$   
 $olv3Mo = 0.0 \ 1.0 \ 0.993$   
 $LCHMi = 86.9 \ 48.1 \ 196$   
 $LCHo = 87.9 \ 41.5 \ 196$   
 $tchMi = 0.5 \ 1.0 \ 0.545$   
 $tchMo = 0.5 \ 1.0 \ 0.545$

#### O Orangerot

$olv3Mi = 1.0 \ 0.0 \ 0.0$   
 $olv3Mo = 1.0 \ 0.152 \ 0.0$   
 $LCHMi = 50.5 \ 100.4 \ 40$   
 $LCHo = 64.0 \ 67.5 \ 40$   
 $tchMi = 0.5 \ 1.0 \ 0.111$   
 $tchMo = 0.5 \ 1.0 \ 0.111$

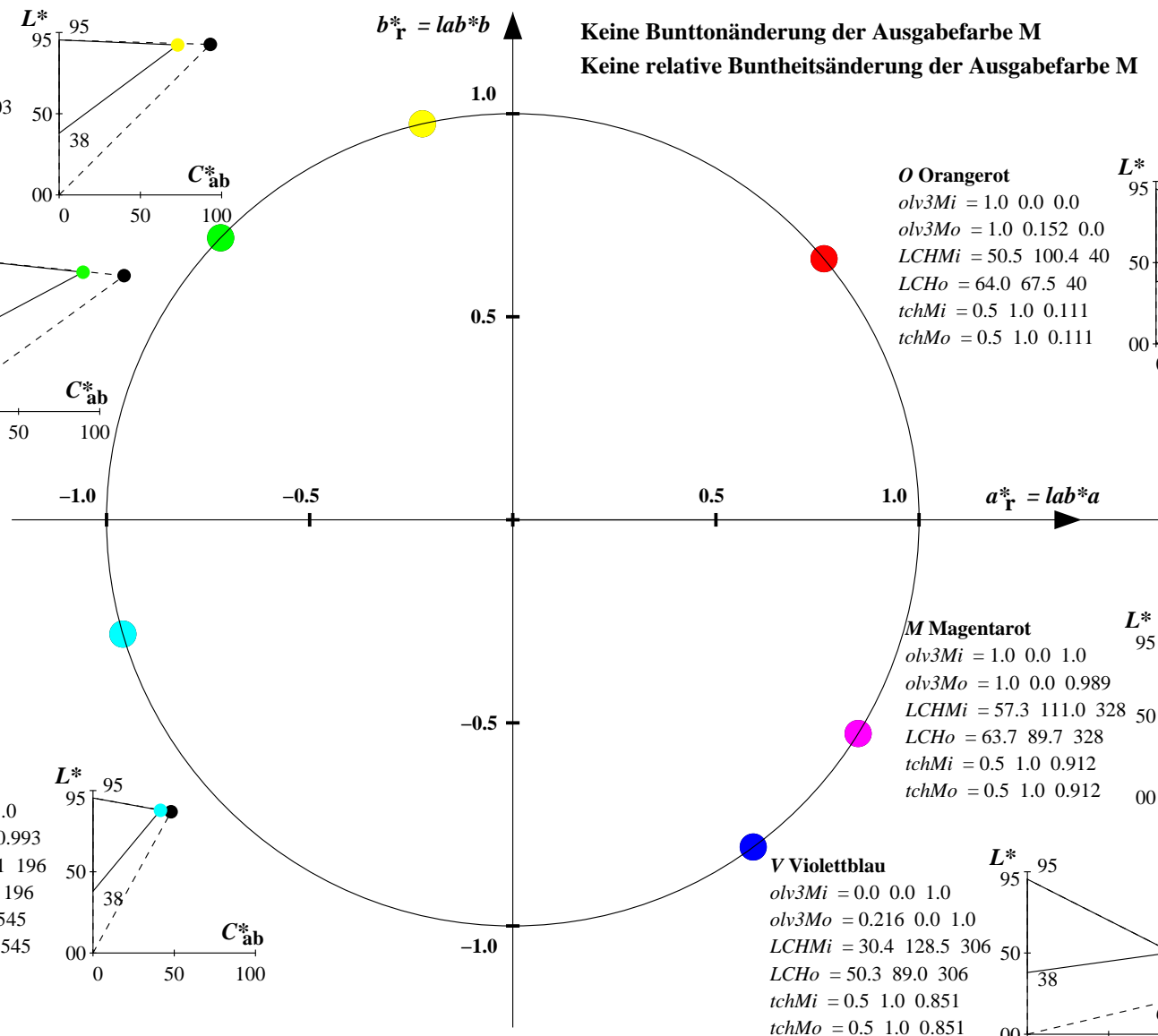
#### M Magentarot

$olv3Mi = 1.0 \ 0.0 \ 1.0$   
 $olv3Mo = 1.0 \ 0.0 \ 0.989$   
 $LCHMi = 57.3 \ 111.0 \ 328$   
 $LCHo = 63.7 \ 89.7 \ 328$   
 $tchMi = 0.5 \ 1.0 \ 0.912$   
 $tchMo = 0.5 \ 1.0 \ 0.912$

#### V Violettblau

$olv3Mi = 0.0 \ 0.0 \ 1.0$   
 $olv3Mo = 0.216 \ 0.0 \ 1.0$   
 $LCHMi = 30.4 \ 128.5 \ 306$   
 $LCHo = 50.3 \ 89.0 \ 306$   
 $tchMi = 0.5 \ 1.0 \ 0.851$   
 $tchMo = 0.5 \ 1.0 \ 0.851$

**Keine Bunttonänderung der Ausgabefarbe M**  
**Keine relative Buntheitsänderung der Ausgabefarbe M**



**Relatives CIELAB-Buntheitsdiagramm: ( $a_R^* = lab^*a$ ,  $b_R^* = lab^*b$ ) und absolutes CIELAB Bunttondreiecks-Diagramm: ( $L^*$ ,  $C_{ab}^*$ ) für Ein- (---) und Ausgabe (----) TLS00: Eingabe (i) Farbmatrik-Sytem; Sechs Bunttonwinkel des Farbgerätes: (40.0, 102.8, 136.0, 196.4, 306.3, 328.2); Vier Bunttonwinkel der Elementarfarben: (25.5, 92.3, 162.2, 271.7) TLS38: Ausgabe (o) Farbmatrik-Sytem; Sechs Bunttonwinkel des Farbgerätes: (28.5, 104.3, 138.8, 196.8, 300.4, 327.6); Vier Bunttonwinkel der Elementarfarben: (25.5, 92.3, 162.2, 271.7)**

#### Y Gelb

olv3Mi = 1.0 1.0 0.0  
olv3Mo = 0.753 1.0 0.0  
LCHMi = 92.7 93.1 103  
LCHo = 91.0 77.5 113  
tchMi = 0.5 1.0 0.286  
tchMo = 0.5 1.0 0.313

#### L Laubgrün

olv3Mi = 0.0 1.0 0.0  
olv3Mo = 0.0 1.0 0.124  
LCHMi = 83.6 115.0 136  
LCHo = 85.5 84.9 146  
tchMi = 0.5 1.0 0.378  
tchMo = 0.5 1.0 0.406

#### C Cyanblau

olv3Mi = 0.0 1.0 1.0  
olv3Mo = 0.0 0.907 1.0  
LCHMi = 86.9 48.1 196  
LCHo = 84.1 45.6 206  
tchMi = 0.5 1.0 0.545  
tchMo = 0.5 1.0 0.573

#### O Orangerot

olv3Mi = 1.0 0.0 0.0  
olv3Mo = 1.0 0.284 0.0  
LCHMi = 50.5 100.4 40  
LCHo = 68.5 68.4 50  
tchMi = 0.5 1.0 0.111  
tchMo = 0.5 1.0 0.139

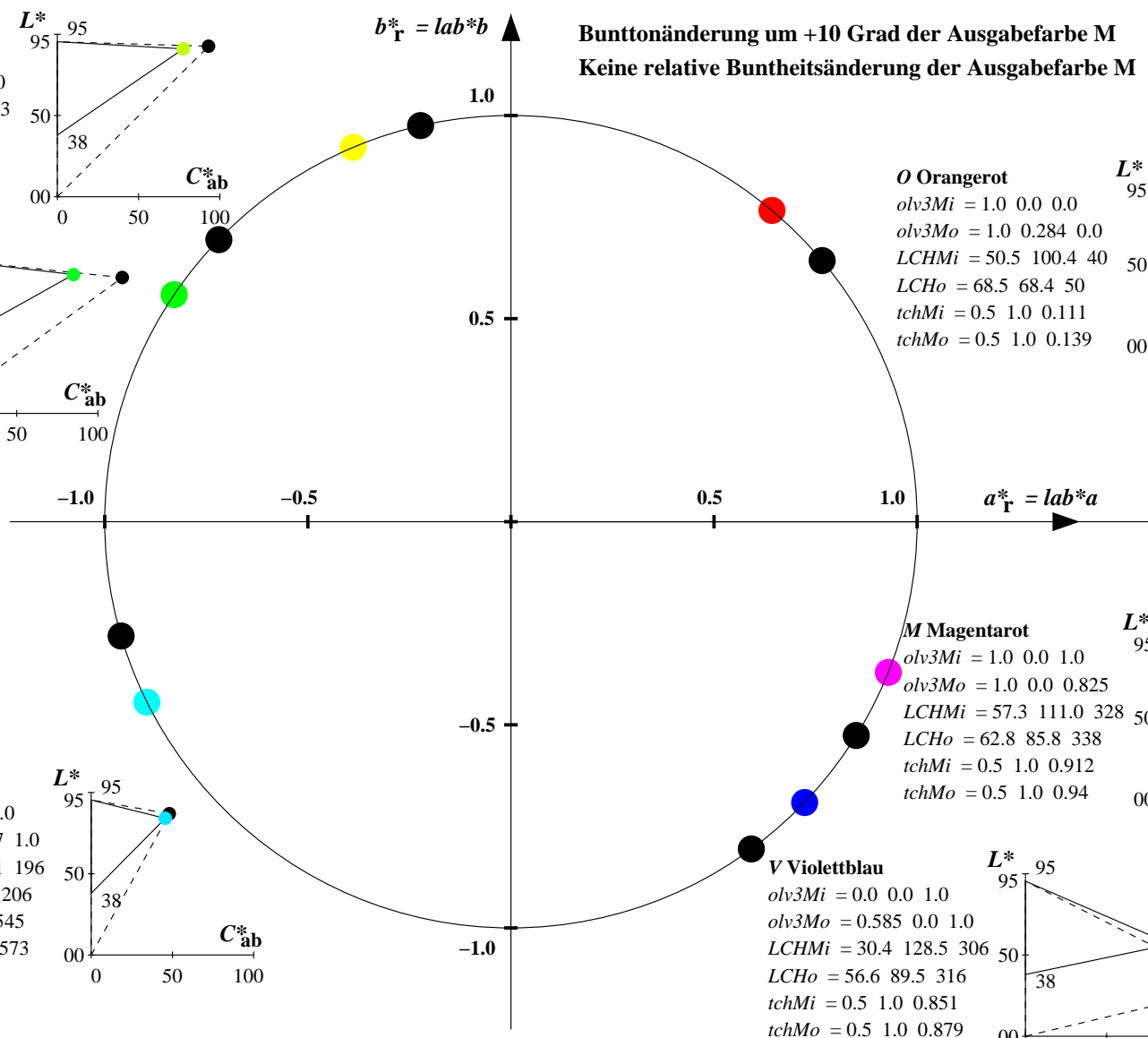
#### M Magentarot

olv3Mi = 1.0 0.0 1.0  
olv3Mo = 1.0 0.0 0.825  
LCHMi = 57.3 111.0 328  
LCHo = 62.8 85.8 338  
tchMi = 0.5 1.0 0.912  
tchMo = 0.5 1.0 0.94

#### V Violettblau

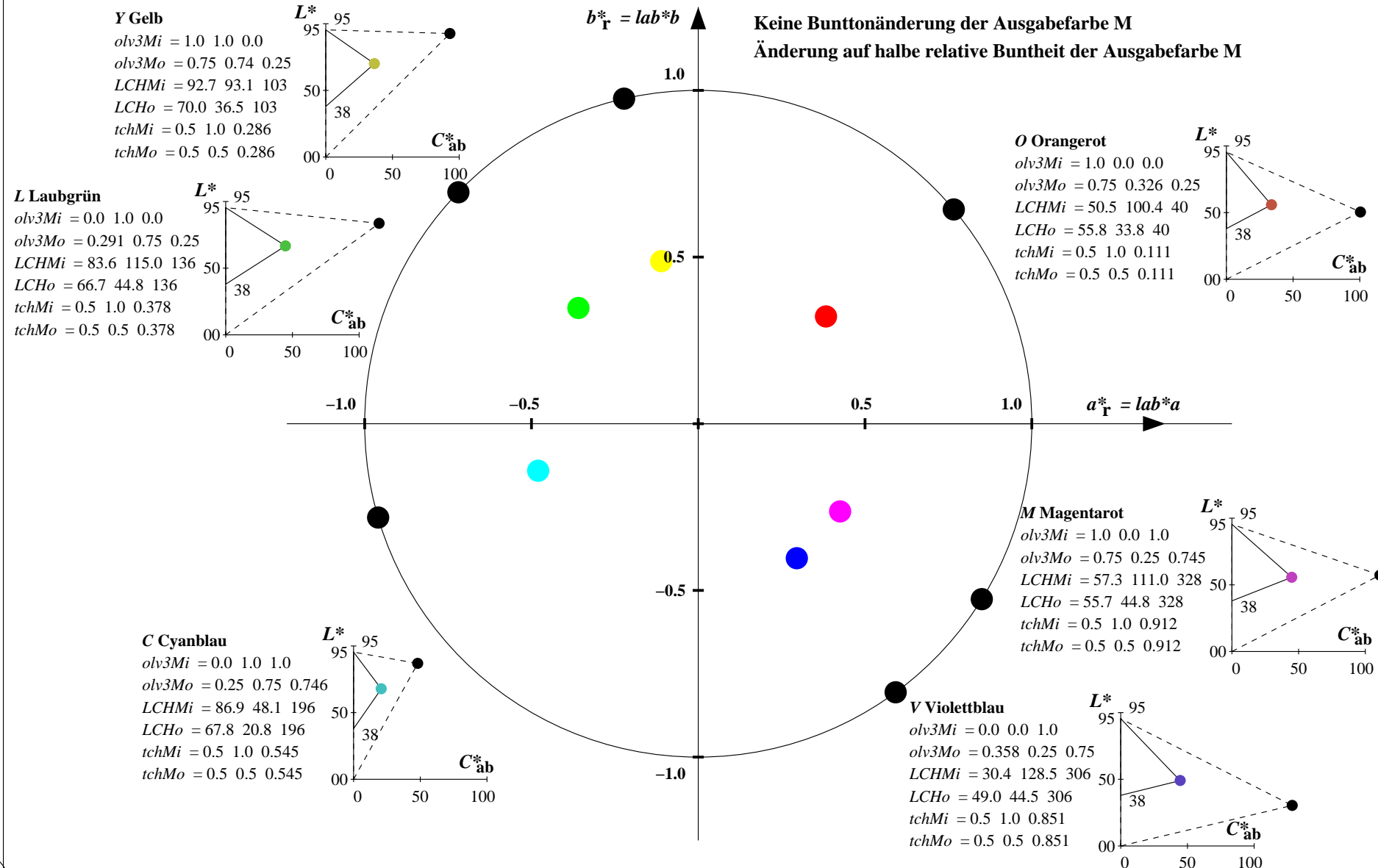
olv3Mi = 0.0 0.0 1.0  
olv3Mo = 0.585 0.0 1.0  
LCHMi = 30.4 128.5 306  
LCHo = 56.6 89.5 316  
tchMi = 0.5 1.0 0.851  
tchMo = 0.5 1.0 0.879

**Bunttonänderung um +10 Grad der Ausgabefarbe M  
Keine relative Buntheitsänderung der Ausgabefarbe M**



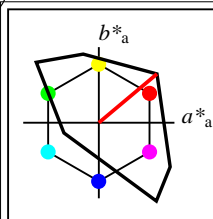


Relatives CIELAB-Buntheitsdiagramm: ( $a_R^* = lab^*a$ ,  $b_R^* = lab^*b$ ) und absolutes CIELAB Bunttondreiecks-Diagramm: ( $L^*$ ,  $C_{ab}^*$ ) für Ein- (---) und Ausgabe (----) TLS00: Eingabe (i) Farbmatrik-Sytem; Sechs Bunttonwinkel des Farbgerätes: (40.0, 102.8, 136.0, 196.4, 306.3, 328.2); Vier Bunttonwinkel der Elementarfarben: (25.5, 92.3, 162.2, 271.7)  
TLS38: Ausgabe (o) Farbmatrik-Sytem; Sechs Bunttonwinkel des Farbgerätes: (28.5, 104.3, 138.8, 196.8, 300.4, 327.6); Vier Bunttonwinkel der Elementarfarben: (25.5, 92.3, 162.2, 271.7)



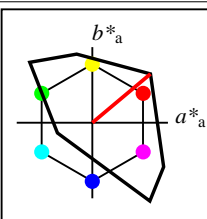
YG680-7, Farb-Management-Workflow: Geräte-Farbeingabedaten des Farbenraums TLS00 -> Geräte-Farbausgabedaten des Farbenraums TLS38, Seite 24/32

BAM-Prüfvorlage YG68; Farbmatrikworkflow TLS00->TLS38 Eingabe: olv\* setrgbcolor  
D65: 6 Grundfarben; Geräte- und Musterdaten; Seite 24/32 Ausgabe: olv\*' (TRI9) setrgbcolor



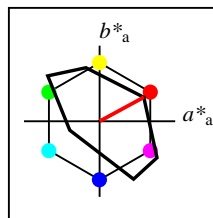
%Umfang  
 $u^*_{rel} = 158$   
%Regularität  
 $g^*_{H,rel} = 20$   
 $g^*_{C,rel} = 37$

TLS00	$L^*=L^*_a$	$a^*_a$	$b^*_a$	$C^*_{ab,a}$	$h^*_{ab,a}$
O <sub>M</sub>	50.5	76.91	64.55	100.41	40
Y <sub>M</sub>	92.66	-20.67	90.75	93.08	103
L <sub>M</sub>	83.62	-82.73	79.9	115.02	136
C <sub>M</sub>	86.88	-46.14	-13.53	48.1	196
V <sub>M</sub>	30.39	76.06	-103.59	128.52	306
M <sub>M</sub>	57.31	94.35	-58.39	110.96	328
N <sub>M</sub>	0.01	0.0	0.0	0.0	0
W <sub>M</sub>	95.41	0.0	0.0	0.0	0
R <sub>CIE</sub>	39.92	58.74	27.99	65.07	25
J <sub>CIE</sub>	81.26	-2.88	71.56	71.62	92
G <sub>CIE</sub>	52.23	-42.41	13.6	44.55	162
B <sub>CIE</sub>	30.57	1.41	-46.46	46.49	272



%Umfang  
 $u^*_{rel} = 158$   
%Regularität  
 $g^*_{H,rel} = 20$   
 $g^*_{C,rel} = 37$

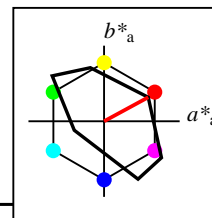
TLS00a; adaptierte CIELAB-Daten	$L^*=L^*_a$	$a^*_a$	$b^*_a$	$C^*_{ab,a}$	$h^*_{ab,a}$
O <sub>Ma</sub>	50.5	76.91	64.55	100.41	40
Y <sub>Ma</sub>	92.66	-20.67	90.75	93.08	103
L <sub>Ma</sub>	83.62	-82.73	79.9	115.02	136
C <sub>Ma</sub>	86.88	-46.14	-13.53	48.1	196
V <sub>Ma</sub>	30.39	76.06	-103.59	128.52	306
M <sub>Ma</sub>	57.31	94.35	-58.39	110.96	328
N <sub>Ma</sub>	0.01	0.0	0.0	0.0	0
W <sub>Ma</sub>	95.41	0.0	0.0	0.0	0
R <sub>CIE</sub>	39.92	58.74	27.99	65.07	25
J <sub>CIE</sub>	81.26	-2.88	71.56	71.62	92
G <sub>CIE</sub>	52.23	-42.41	13.6	44.55	162
B <sub>CIE</sub>	30.57	1.41	-46.46	46.49	272



%Umfang  
 $u^*_{rel} = 72$   
%Regularität  
 $g^*_{H,rel} = 26$   
 $g^*_{C,rel} = 45$

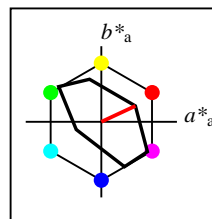
TLS38a; adaptierte CIELAB-Daten	$L^*=L^*_a$	$a^*_a$	$b^*_a$	$C^*_{ab,a}$	$h^*_{ab,a}$
O <sub>Ma</sub>	58.77	58.45	31.73	66.51	28
Y <sub>Ma</sub>	92.98	-18.1	70.81	73.09	104
L <sub>Ma</sub>	85.11	-68.57	60.02	91.14	139
C <sub>Ma</sub>	87.92	-39.41	-11.86	41.17	197
V <sub>Ma</sub>	46.64	44.93	-76.55	88.77	300
M <sub>Ma</sub>	63.71	75.92	-48.21	89.94	328
N <sub>Ma</sub>	37.99	0.0	0.0	0.0	0
W <sub>Ma</sub>	95.41	0.0	0.0	0.0	0
R <sub>CIE</sub>	39.92	58.74	27.99	65.07	25
J <sub>CIE</sub>	81.26	-2.88	71.56	71.62	92
G <sub>CIE</sub>	52.23	-42.41	13.6	44.55	162
B <sub>CIE</sub>	30.57	1.41	-46.46	46.49	272

Workflow-Wahlen  
für Farbmuster:  
1. keine Farbänderung  
2. Buntton-Änderung  
3. Buntheits-Änderung



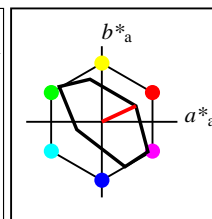
%Umfang  
 $u^*_{rel} = 72$   
%Regularität  
 $g^*_{H,rel} = 26$   
 $g^*_{C,rel} = 45$

TLS38a; adaptierte CIELAB-Daten	$L^*=L^*_a$	$a^*_a$	$b^*_a$	$C^*_{ab,a}$	$h^*_{ab,a}$
O <sub>Ma</sub>	58.77	58.45	31.73	66.51	28
Y <sub>Ma</sub>	92.98	-18.1	70.81	73.09	104
L <sub>Ma</sub>	85.11	-68.57	60.02	91.14	139
C <sub>Ma</sub>	87.92	-39.41	-11.86	41.17	197
V <sub>Ma</sub>	46.64	44.93	-76.55	88.77	300
M <sub>Ma</sub>	63.71	75.92	-48.21	89.94	328
N <sub>Ma</sub>	37.99	0.0	0.0	0.0	0
W <sub>Ma</sub>	95.41	0.0	0.0	0.0	0
R <sub>CIE</sub>	39.92	58.74	27.99	65.07	25
J <sub>CIE</sub>	81.26	-2.88	71.56	71.62	92
G <sub>CIE</sub>	52.23	-42.41	13.6	44.55	162
B <sub>CIE</sub>	30.57	1.41	-46.46	46.49	272



%Umfang  
 $u^*_{rel} = 43$   
%Regularität  
 $g^*_{H,rel} = 30$   
 $g^*_{C,rel} = 48$

TLS50a; adaptierte CIELAB-Daten	$L^*=L^*_a$	$a^*_a$	$b^*_a$	$C^*_{ab,a}$	$h^*_{ab,a}$
O <sub>Ma</sub>	65.53	45.06	20.98	49.7	25
Y <sub>Ma</sub>	93.3	-15.6	56.27	58.4	106
L <sub>Ma</sub>	86.55	-56.3	46.52	73.04	140
C <sub>Ma</sub>	88.94	-33.18	-10.23	34.73	197
V <sub>Ma</sub>	57.17	30.66	-59.39	66.85	297
M <sub>Ma</sub>	69.22	60.95	-39.56	72.67	327
N <sub>Ma</sub>	52.02	0.0	0.0	0.0	0
W <sub>Ma</sub>	95.41	0.0	0.0	0.0	0
R <sub>CIE</sub>	39.92	58.74	27.99	65.07	25
J <sub>CIE</sub>	81.26	-2.88	71.56	71.62	92
G <sub>CIE</sub>	52.23	-42.41	13.6	44.55	162
B <sub>CIE</sub>	30.57	1.41	-46.46	46.49	272



%Umfang  
 $u^*_{rel} = 43$   
%Regularität  
 $g^*_{H,rel} = 30$   
 $g^*_{C,rel} = 48$

TLS50	$L^*=L^*_a$	$a^*_a$	$b^*_a$	$C^*_{ab,a}$	$h^*_{ab,a}$
O <sub>M</sub>	65.53	45.06	20.98	49.7	25
Y <sub>M</sub>	93.3	-15.6	56.27	58.4	106
L <sub>M</sub>	86.55	-56.3	46.52	73.04	140
C <sub>M</sub>	88.94	-33.18	-10.23	34.73	197
V <sub>M</sub>	57.17	30.66	-59.39	66.85	297
M <sub>M</sub>	69.22	60.95	-39.56	72.67	327
N <sub>M</sub>	52.02	0.0	0.0	0.0	0
W <sub>M</sub>	95.41	0.0	0.0	0.0	0
R <sub>CIE</sub>	39.92	58.74	27.99	65.07	25
J <sub>CIE</sub>	81.26	-2.88	71.56	71.62	92
G <sub>CIE</sub>	52.23	-42.41	13.6	44.55	162
B <sub>CIE</sub>	30.57	1.41	-46.46	46.49	272

Relatives CIELAB-Buntheitsdiagramm: ( $a_R^* = lab^*a$ ,  $b_R^* = lab^*b$ ) und absolutes CIELAB Bunttendreiecks-Diagramm: ( $L^*$ ,  $C_{ab}^*$ ) für Ein- (—) und Ausgabe (---)  
TLS00: Eingabe (i) Farbmatrik-Sytem; Sechs Bunttonwinkel des Farbgerätes: (40.0, 102.8, 136.0, 196.4, 306.3, 328.2); Vier Bunttonwinkel der Elementarfarben: (25.5, 92.3, 162.2, 271.7)  
TLS50: Ausgabe (o) Farbmatrik-Sytem; Sechs Bunttonwinkel des Farbgerätes: (25.0, 105.5, 140.4, 197.1, 297.3, 327.0); Vier Bunttonwinkel der Elementarfarben: (25.5, 92.3, 162.2, 271.7)

#### Y Gelb

$olv3Mi = 1.0 \ 1.0 \ 0.0$   
 $olv3Mo = 1.0 \ 0.967 \ 0.0$   
 $LCHMi = 92.7 \ 93.1 \ 103$   
 $LCHo = 92.4 \ 58.1 \ 103$   
 $tchMi = 0.5 \ 1.0 \ 0.286$   
 $tchMo = 0.5 \ 1.0 \ 0.286$

#### L Laubgrün

$olv3Mi = 0.0 \ 1.0 \ 0.0$   
 $olv3Mo = 0.127 \ 1.0 \ 0.0$   
 $LCHMi = 83.6 \ 115.0 \ 136$   
 $LCHo = 87.4 \ 71.2 \ 136$   
 $tchMi = 0.5 \ 1.0 \ 0.378$   
 $tchMo = 0.5 \ 1.0 \ 0.378$

#### C Cyanblau

$olv3Mi = 0.0 \ 1.0 \ 1.0$   
 $olv3Mo = 0.0 \ 1.0 \ 0.986$   
 $LCHMi = 86.9 \ 48.1 \ 196$   
 $LCHo = 88.9 \ 35.3 \ 196$   
 $tchMi = 0.5 \ 1.0 \ 0.545$   
 $tchMo = 0.5 \ 1.0 \ 0.545$

#### O Orangerot

$olv3Mi = 1.0 \ 0.0 \ 0.0$   
 $olv3Mo = 1.0 \ 0.187 \ 0.0$   
 $LCHMi = 50.5 \ 100.4 \ 40$   
 $LCHo = 70.7 \ 51.3 \ 40$   
 $tchMi = 0.5 \ 1.0 \ 0.111$   
 $tchMo = 0.5 \ 1.0 \ 0.111$

#### M Magentarot

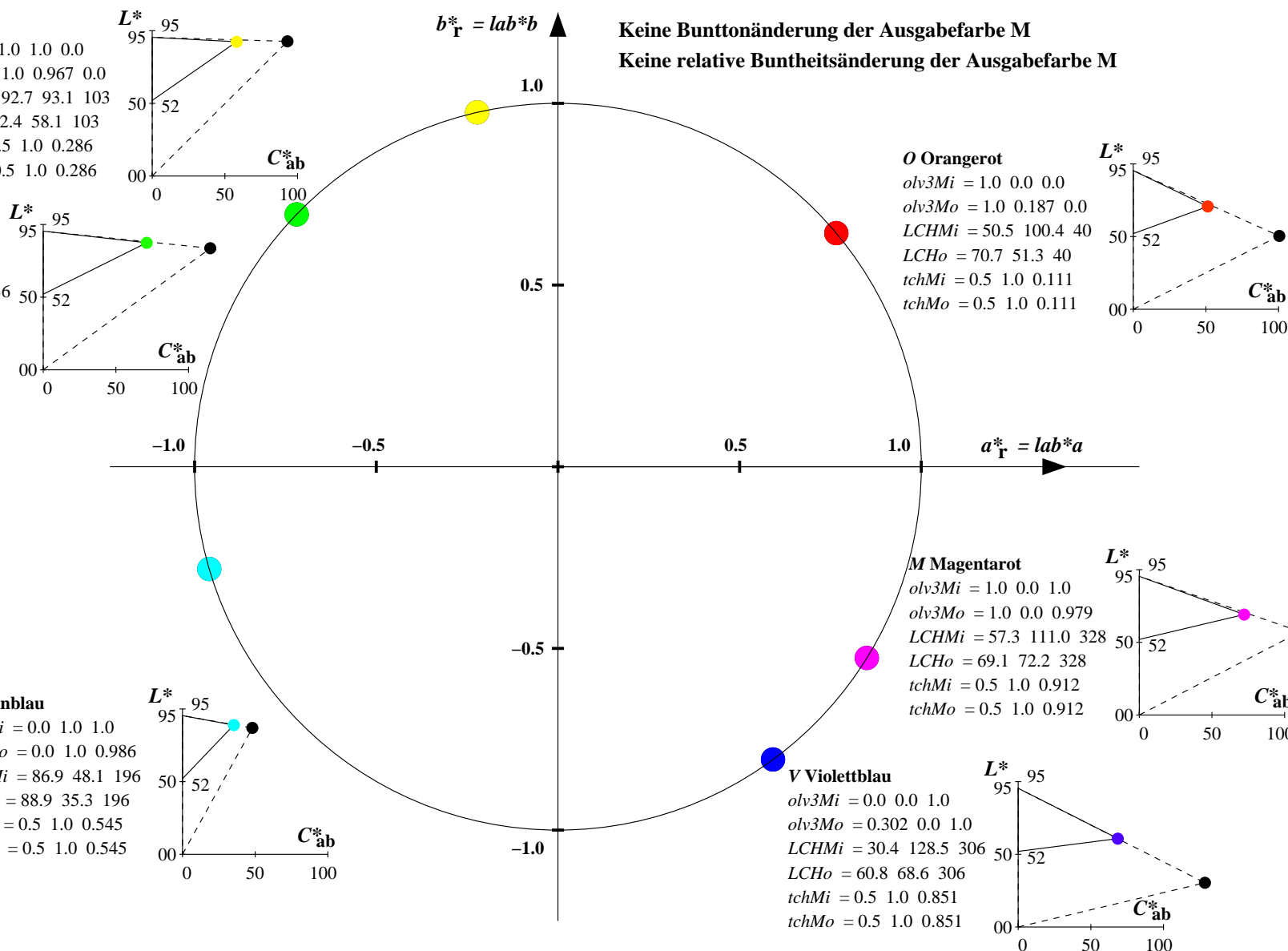
$olv3Mi = 1.0 \ 0.0 \ 1.0$   
 $olv3Mo = 1.0 \ 0.0 \ 0.979$   
 $LCHMi = 57.3 \ 111.0 \ 328$   
 $LCHo = 69.1 \ 72.2 \ 328$   
 $tchMi = 0.5 \ 1.0 \ 0.912$   
 $tchMo = 0.5 \ 1.0 \ 0.912$

#### V Violettblau

$olv3Mi = 0.0 \ 0.0 \ 1.0$   
 $olv3Mo = 0.302 \ 0.0 \ 1.0$   
 $LCHMi = 30.4 \ 128.5 \ 306$   
 $LCHo = 60.8 \ 68.6 \ 306$   
 $tchMi = 0.5 \ 1.0 \ 0.851$   
 $tchMo = 0.5 \ 1.0 \ 0.851$

Keine Bunttonänderung der Ausgabefarbe M

Keine relative Buntheitsänderung der Ausgabefarbe M



**Relatives CIELAB-Buntheitsdiagramm:** ( $a_R^* = lab^*a$ ,  $b_R^* = lab^*b$ ) und **absolutes CIELAB Bunttondreiecks-Diagramm:** ( $L^*$ ,  $C_{ab}^*$ ) für Ein- (---) und Ausgabe (----) TLS00: Eingabe (i) Farbmatrik-Sytem; Sechs Bunttonwinkel des Farbgerätes: (40.0, 102.8, 136.0, 196.4, 306.3, 328.2); Vier Bunttonwinkel der Elementarfarben: (25.5, 92.3, 162.2, 271.7)  
TLS50: Ausgabe (o) Farbmatrik-Sytem; Sechs Bunttonwinkel des Farbgerätes: (25.0, 105.5, 140.4, 197.1, 297.3, 327.0); Vier Bunttonwinkel der Elementarfarben: (25.5, 92.3, 162.2, 271.7)

#### Y Gelb

olv3Mi = 1.0 1.0 0.0  
olv3Mo = 0.79 1.0 0.0  
LCHMi = 92.7 93.1 103  
LCHo = 91.9 61.5 113  
tchMi = 0.5 1.0 0.286  
tchMo = 0.5 1.0 0.313

#### L Laubgrün

olv3Mi = 0.0 1.0 0.0  
olv3Mo = 0.0 1.0 0.098  
LCHMi = 83.6 115.0 136  
LCHo = 86.8 69.3 146  
tchMi = 0.5 1.0 0.378  
tchMo = 0.5 1.0 0.406

#### C Cyanblau

olv3Mi = 0.0 1.0 1.0  
olv3Mo = 0.0 0.908 1.0  
LCHMi = 86.9 48.1 196  
LCHo = 86.0 37.7 206  
tchMi = 0.5 1.0 0.545  
tchMo = 0.5 1.0 0.573

#### O Orangerot

olv3Mi = 1.0 0.0 0.0  
olv3Mo = 1.0 0.311 0.0  
LCHMi = 50.5 100.4 40  
LCHo = 74.2 52.4 50  
tchMi = 0.5 1.0 0.111  
tchMo = 0.5 1.0 0.139

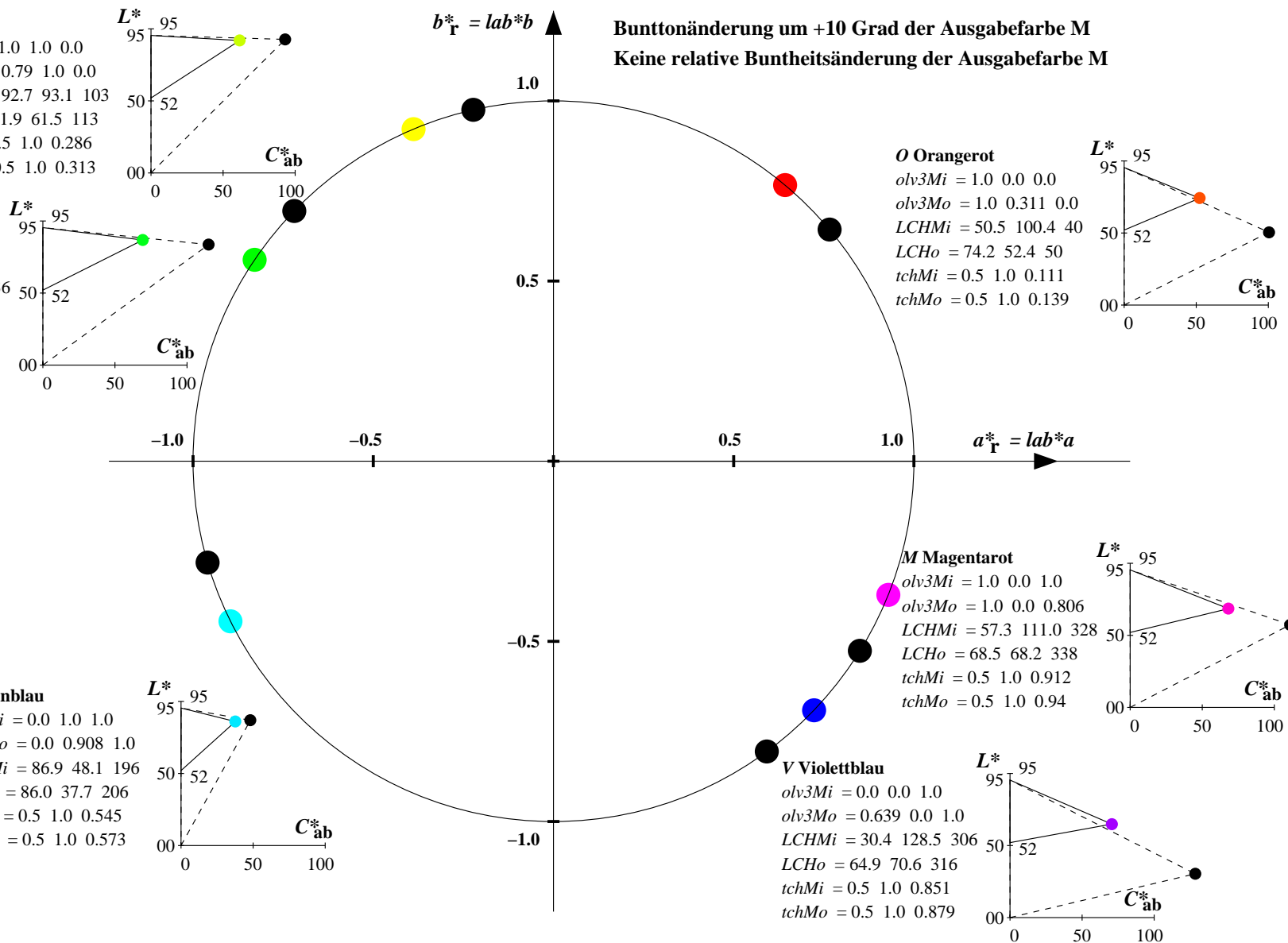
#### M Magentarot

olv3Mi = 1.0 0.0 1.0  
olv3Mo = 1.0 0.0 0.806  
LCHMi = 57.3 111.0 328  
LCHo = 68.5 68.2 338  
tchMi = 0.5 1.0 0.912  
tchMo = 0.5 1.0 0.94

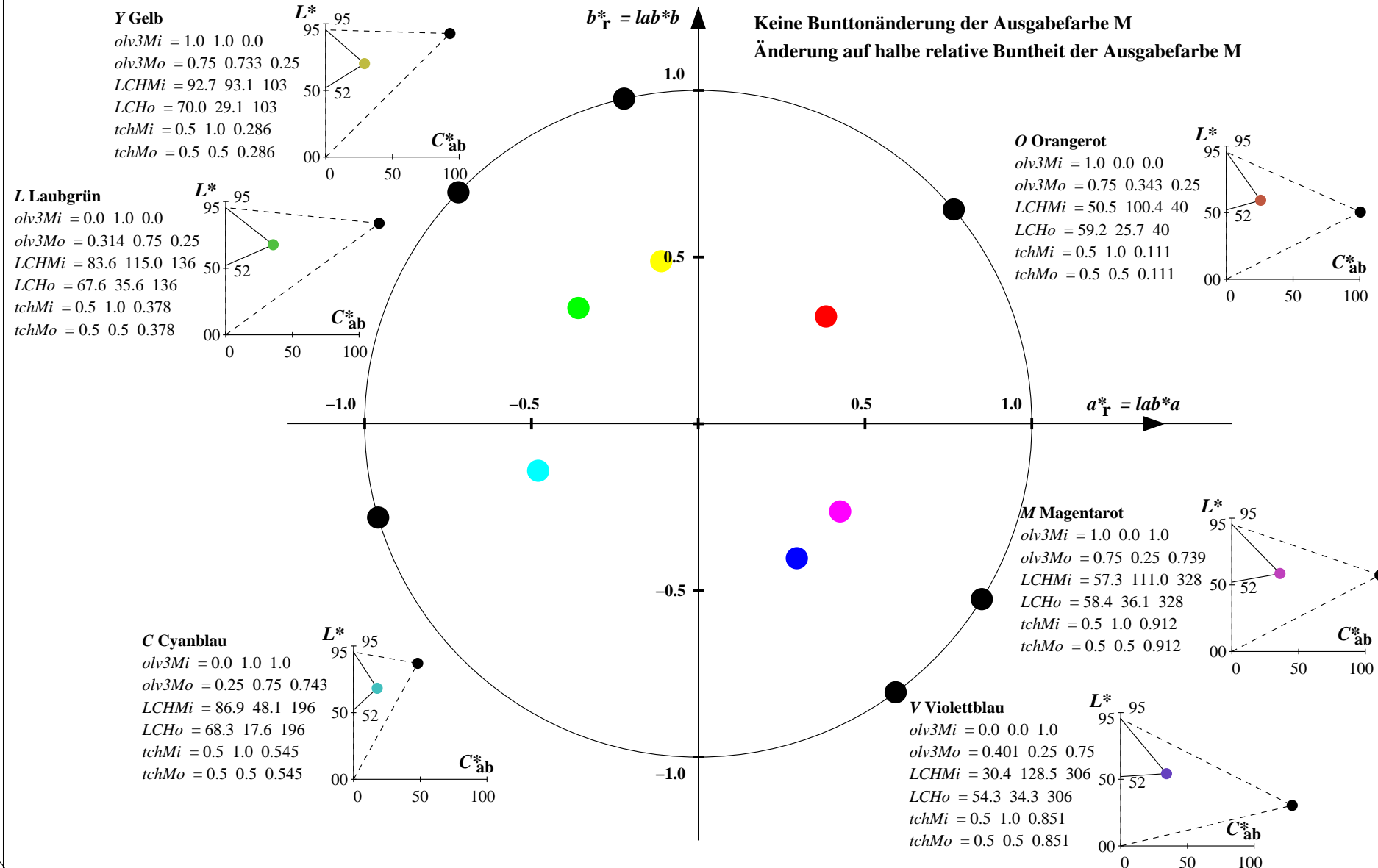
#### V Violettblau

olv3Mi = 0.0 0.0 1.0  
olv3Mo = 0.639 0.0 1.0  
LCHMi = 30.4 128.5 306  
LCHo = 64.9 70.6 316  
tchMi = 0.5 1.0 0.851  
tchMo = 0.5 1.0 0.879

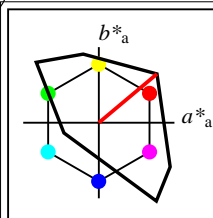
**Bunttonänderung um +10 Grad der Ausgabefarbe M**  
**Keine relative Buntheitsänderung der Ausgabefarbe M**



**Relatives CIELAB-Buntheitsdiagramm: ( $a_R^* = lab^*a$ ,  $b_R^* = lab^*b$ ) und absolutes CIELAB Bunttondreiecks-Diagramm: ( $L^*$ ,  $C_{ab}^*$ ) für Ein- (—) und Ausgabe (---) TLS00: Eingabe (i) Farbmatrik-Sytem; Sechs Bunttonwinkel des Farbgerätes: (40.0, 102.8, 136.0, 196.4, 306.3, 328.2); Vier Bunttonwinkel der Elementarfarben: (25.5, 92.3, 162.2, 271.7)  
TLS50: Ausgabe (o) Farbmatrik-Sytem; Sechs Bunttonwinkel des Farbgerätes: (25.0, 105.5, 140.4, 197.1, 297.3, 327.0); Vier Bunttonwinkel der Elementarfarben: (25.5, 92.3, 162.2, 271.7)**

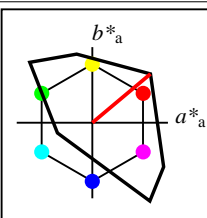






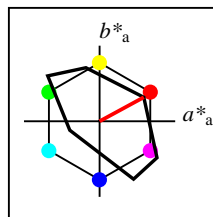
%Umfang  
 $u^*_{rel} = 158$   
%Regularität  
 $g^*_{H,rel} = 20$   
 $g^*_{C,rel} = 37$

TLS00	$L^*=L^*_a$	$a^*_a$	$b^*_a$	$C^*_{ab,a}$	$h^*_{ab,a}$
O <sub>M</sub>	50.5	76.91	64.55	100.41	40
Y <sub>M</sub>	92.66	-20.67	90.75	93.08	103
L <sub>M</sub>	83.62	-82.73	79.9	115.02	136
C <sub>M</sub>	86.88	-46.14	-13.53	48.1	196
V <sub>M</sub>	30.39	76.06	-103.59	128.52	306
M <sub>M</sub>	57.31	94.35	-58.39	110.96	328
N <sub>M</sub>	0.01	0.0	0.0	0.0	0
W <sub>M</sub>	95.41	0.0	0.0	0.0	0
R <sub>CIE</sub>	39.92	58.74	27.99	65.07	25
J <sub>CIE</sub>	81.26	-2.88	71.56	71.62	92
G <sub>CIE</sub>	52.23	-42.41	13.6	44.55	162
B <sub>CIE</sub>	30.57	1.41	-46.46	46.49	272



%Umfang  
 $u^*_{rel} = 158$   
%Regularität  
 $g^*_{H,rel} = 20$   
 $g^*_{C,rel} = 37$

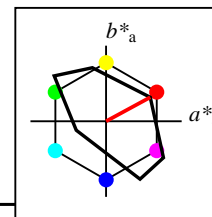
TLS00a; adaptierte CIELAB-Daten	$L^*=L^*_a$	$a^*_a$	$b^*_a$	$C^*_{ab,a}$	$h^*_{ab,a}$
O <sub>Ma</sub>	50.5	76.91	64.55	100.41	40
Y <sub>Ma</sub>	92.66	-20.67	90.75	93.08	103
L <sub>Ma</sub>	83.62	-82.73	79.9	115.02	136
C <sub>Ma</sub>	86.88	-46.14	-13.53	48.1	196
V <sub>Ma</sub>	30.39	76.06	-103.59	128.52	306
M <sub>Ma</sub>	57.31	94.35	-58.39	110.96	328
N <sub>Ma</sub>	0.01	0.0	0.0	0.0	0
W <sub>Ma</sub>	95.41	0.0	0.0	0.0	0
R <sub>CIE</sub>	39.92	58.74	27.99	65.07	25
J <sub>CIE</sub>	81.26	-2.88	71.56	71.62	92
G <sub>CIE</sub>	52.23	-42.41	13.6	44.55	162
B <sub>CIE</sub>	30.57	1.41	-46.46	46.49	272



%Umfang  
 $u^*_{rel} = 72$   
%Regularität  
 $g^*_{H,rel} = 26$   
 $g^*_{C,rel} = 45$

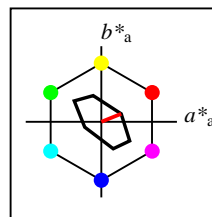
TLS38a; adaptierte CIELAB-Daten	$L^*=L^*_a$	$a^*_a$	$b^*_a$	$C^*_{ab,a}$	$h^*_{ab,a}$
O <sub>Ma</sub>	58.77	58.45	31.73	66.51	28
Y <sub>Ma</sub>	92.98	-18.1	70.81	73.09	104
L <sub>Ma</sub>	85.11	-68.57	60.02	91.14	139
C <sub>Ma</sub>	87.92	-39.41	-11.86	41.17	197
V <sub>Ma</sub>	46.64	44.93	-76.55	88.77	300
M <sub>Ma</sub>	63.71	75.92	-48.21	89.94	328
N <sub>Ma</sub>	37.99	0.0	0.0	0.0	0
W <sub>Ma</sub>	95.41	0.0	0.0	0.0	0
R <sub>CIE</sub>	39.92	58.74	27.99	65.07	25
J <sub>CIE</sub>	81.26	-2.88	71.56	71.62	92
G <sub>CIE</sub>	52.23	-42.41	13.6	44.55	162
B <sub>CIE</sub>	30.57	1.41	-46.46	46.49	272

Workflow-Wahlen  
für Farbmuster:  
1. keine Farbänderung  
2. Buntton-Änderung  
3. Buntheits-Änderung



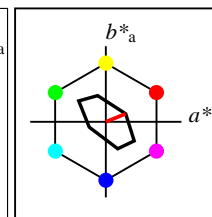
%Umfang  
 $u^*_{rel} = 72$   
%Regularität  
 $g^*_{H,rel} = 26$   
 $g^*_{C,rel} = 45$

TLS38a; adaptierte CIELAB-Daten	$L^*=L^*_a$	$a^*_a$	$b^*_a$	$C^*_{ab,a}$	$h^*_{ab,a}$
O <sub>Ma</sub>	58.77	58.45	31.73	66.51	28
Y <sub>Ma</sub>	92.98	-18.1	70.81	73.09	104
L <sub>Ma</sub>	85.11	-68.57	60.02	91.14	139
C <sub>Ma</sub>	87.92	-39.41	-11.86	41.17	197
V <sub>Ma</sub>	46.64	44.93	-76.55	88.77	300
M <sub>Ma</sub>	63.71	75.92	-48.21	89.94	328
N <sub>Ma</sub>	37.99	0.0	0.0	0.0	0
W <sub>Ma</sub>	95.41	0.0	0.0	0.0	0
R <sub>CIE</sub>	39.92	58.74	27.99	65.07	25
J <sub>CIE</sub>	81.26	-2.88	71.56	71.62	92
G <sub>CIE</sub>	52.23	-42.41	13.6	44.55	162
B <sub>CIE</sub>	30.57	1.41	-46.46	46.49	272



%Umfang  
 $u^*_{rel} = 16$   
%Regularität  
 $g^*_{H,rel} = 34$   
 $g^*_{C,rel} = 51$

TLS70a; adaptierte CIELAB-Daten	$L^*=L^*_a$	$a^*_a$	$b^*_a$	$C^*_{ab,a}$	$h^*_{ab,a}$
O <sub>Ma</sub>	76.43	26.27	10.57	28.32	22
Y <sub>Ma</sub>	93.93	-10.76	34.63	36.27	107
L <sub>Ma</sub>	89.32	-35.8	27.64	45.24	142
C <sub>Ma</sub>	90.93	-21.95	-7.07	23.07	198
V <sub>Ma</sub>	72.1	15.76	-35.63	38.97	294
M <sub>Ma</sub>	78.5	37.52	-25.23	45.22	326
N <sub>Ma</sub>	69.7	0.0	0.0	0.0	0
W <sub>Ma</sub>	95.41	0.0	0.0	0.0	0
R <sub>CIE</sub>	39.92	58.74	27.99	65.07	25
J <sub>CIE</sub>	81.26	-2.88	71.56	71.62	92
G <sub>CIE</sub>	52.23	-42.41	13.6	44.55	162
B <sub>CIE</sub>	30.57	1.41	-46.46	46.49	272



%Umfang  
 $u^*_{rel} = 16$   
%Regularität  
 $g^*_{H,rel} = 34$   
 $g^*_{C,rel} = 51$

TLS70	$L^*=L^*_a$	$a^*_a$	$b^*_a$	$C^*_{ab,a}$	$h^*_{ab,a}$
O <sub>M</sub>	76.43	26.27	10.57	28.32	22
Y <sub>M</sub>	93.93	-10.76	34.63	36.27	107
L <sub>M</sub>	89.32	-35.8	27.64	45.24	142
C <sub>M</sub>	90.93	-21.95	-7.07	23.07	198
V <sub>M</sub>	72.1	15.76	-35.63	38.97	294
M <sub>M</sub>	78.5	37.52	-25.23	45.22	326
N <sub>M</sub>	69.7	0.0	0.0	0.0	0
W <sub>M</sub>	95.41	0.0	0.0	0.0	0
R <sub>CIE</sub>	39.92	58.74	27.99	65.07	25
J <sub>CIE</sub>	81.26	-2.88	71.56	71.62	92
G <sub>CIE</sub>	52.23	-42.41	13.6	44.55	162
B <sub>CIE</sub>	30.57	1.41	-46.46	46.49	272

Relatives CIELAB-Buntheitsdiagramm: ( $a^*_r = lab^*a$ ,  $b^*_r = lab^*b$ ) und absolutes CIELAB Bunttondreiecks-Diagramm: ( $L^*$ ,  $C^*_{ab}$ ) für Ein- (---) und Ausgabe (----) TLS00: Eingabe (i) Farbmatrik-Sytem; Sechs Bunttonwinkel des Farbgerätes: (40.0, 102.8, 136.0, 196.4, 306.3, 328.2); Vier Bunttonwinkel der Elementarfarben: (25.5, 92.3, 162.2, 271.7) TLS70: Ausgabe (o) Farbmatrik-Sytem; Sechs Bunttonwinkel des Farbgerätes: (21.9, 107.3, 142.3, 197.9, 293.9, 326.1); Vier Bunttonwinkel der Elementarfarben: (25.5, 92.3, 162.2, 271.7)

#### Y Gelb

olv3Mi = 1.0 1.0 0.0  
olv3Mo = 1.0 0.948 0.0  
LCHMi = 92.7 93.1 103  
LCHo = 93.0 35.9 103  
tchMi = 0.5 1.0 0.286  
tchMo = 0.5 1.0 0.286

#### L Laubgrün

olv3Mi = 0.0 1.0 0.0  
olv3Mo = 0.181 1.0 0.0  
LCHMi = 83.6 115.0 136  
LCHo = 90.2 43.6 136  
tchMi = 0.5 1.0 0.378  
tchMo = 0.5 1.0 0.378

#### C Cyanblau

olv3Mi = 0.0 1.0 1.0  
olv3Mo = 0.0 1.0 0.973  
LCHMi = 86.9 48.1 196  
LCHo = 90.9 23.7 196  
tchMi = 0.5 1.0 0.545  
tchMo = 0.5 1.0 0.545

#### O Orangerot

olv3Mi = 1.0 0.0 0.0  
olv3Mo = 1.0 0.212 0.0  
LCHMi = 50.5 100.4 40  
LCHo = 80.1 30.0 40  
tchMi = 0.5 1.0 0.111  
tchMo = 0.5 1.0 0.111

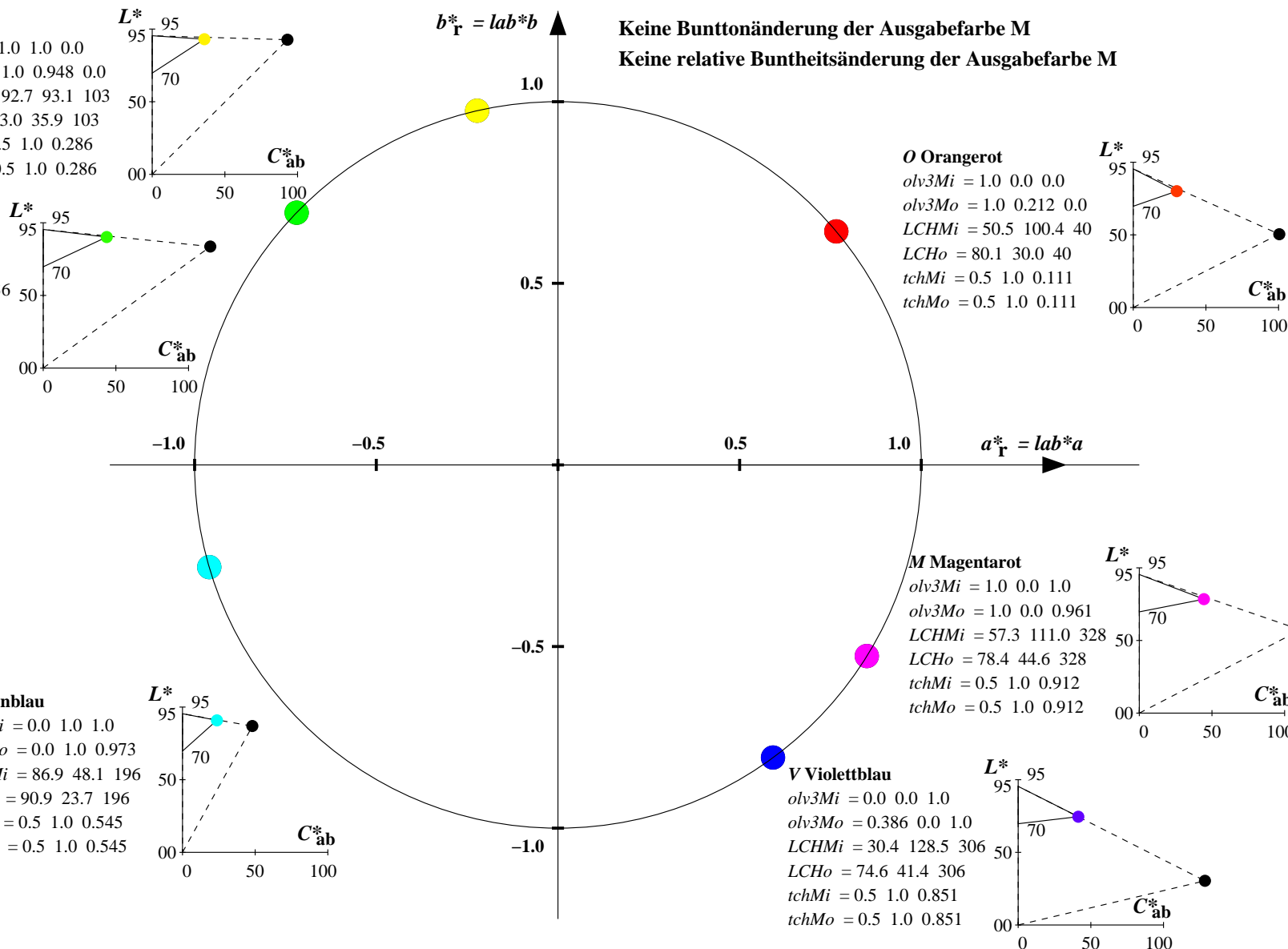
#### M Magentarot

olv3Mi = 1.0 0.0 1.0  
olv3Mo = 1.0 0.0 0.961  
LCHMi = 57.3 111.0 328  
LCHo = 78.4 44.6 328  
tchMi = 0.5 1.0 0.912  
tchMo = 0.5 1.0 0.912

#### V Violettblau

olv3Mi = 0.0 0.0 1.0  
olv3Mo = 0.386 0.0 1.0  
LCHMi = 30.4 128.5 306  
LCHo = 74.6 41.4 306  
tchMi = 0.5 1.0 0.851  
tchMo = 0.5 1.0 0.851

Keine Bunttonänderung der Ausgabefarbe M  
Keine relative Buntheitsänderung der Ausgabefarbe M



**Relatives CIELAB-Buntheitsdiagramm:** ( $a^*_r = lab^*a$ ,  $b^*_r = lab^*b$ ) und **absolutes CIELAB Bunttondreiecks-Diagramm:** ( $L^*$ ,  $C^*_{ab}$ ) für Ein- (---) und Ausgabe (----) TLS00: Eingabe (i) Farbmatrik-Sytem; Sechs Bunttonwinkel des Farbgerätes: (40.0, 102.8, 136.0, 196.4, 306.3, 328.2); Vier Bunttonwinkel der Elementarfarben: (25.5, 92.3, 162.2, 271.7)  
TLS70: Ausgabe (o) Farbmatrik-Sytem; Sechs Bunttonwinkel des Farbgerätes: (21.9, 107.3, 142.3, 197.9, 293.9, 326.1); Vier Bunttonwinkel der Elementarfarben: (25.5, 92.3, 162.2, 271.7)

#### Y Gelb

$olv3Mi = 1.0 \ 1.0 \ 0.0$   
 $olv3Mo = 0.841 \ 1.0 \ 0.0$   
 $LCHMi = 92.7 \ 93.1 \ 103$   
 $LCHo = 93.2 \ 37.7 \ 113$   
 $tchMi = 0.5 \ 1.0 \ 0.286$   
 $tchMo = 0.5 \ 1.0 \ 0.313$

#### L Laubgrün

$olv3Mi = 0.0 \ 1.0 \ 0.0$   
 $olv3Mo = 0.0 \ 1.0 \ 0.066$   
 $LCHMi = 83.6 \ 115.0 \ 136$   
 $LCHo = 89.4 \ 43.8 \ 146$   
 $tchMi = 0.5 \ 1.0 \ 0.378$   
 $tchMo = 0.5 \ 1.0 \ 0.406$

#### C Cyanblau

$olv3Mi = 0.0 \ 1.0 \ 1.0$   
 $olv3Mo = 0.0 \ 0.912 \ 1.0$   
 $LCHMi = 86.9 \ 48.1 \ 196$   
 $LCHo = 89.3 \ 24.5 \ 206$   
 $tchMi = 0.5 \ 1.0 \ 0.545$   
 $tchMo = 0.5 \ 1.0 \ 0.573$

#### O Orangerot

$olv3Mi = 1.0 \ 0.0 \ 0.0$   
 $olv3Mo = 1.0 \ 0.329 \ 0.0$   
 $LCHMi = 50.5 \ 100.4 \ 40$   
 $LCHo = 82.2 \ 30.9 \ 50$   
 $tchMi = 0.5 \ 1.0 \ 0.111$   
 $tchMo = 0.5 \ 1.0 \ 0.139$

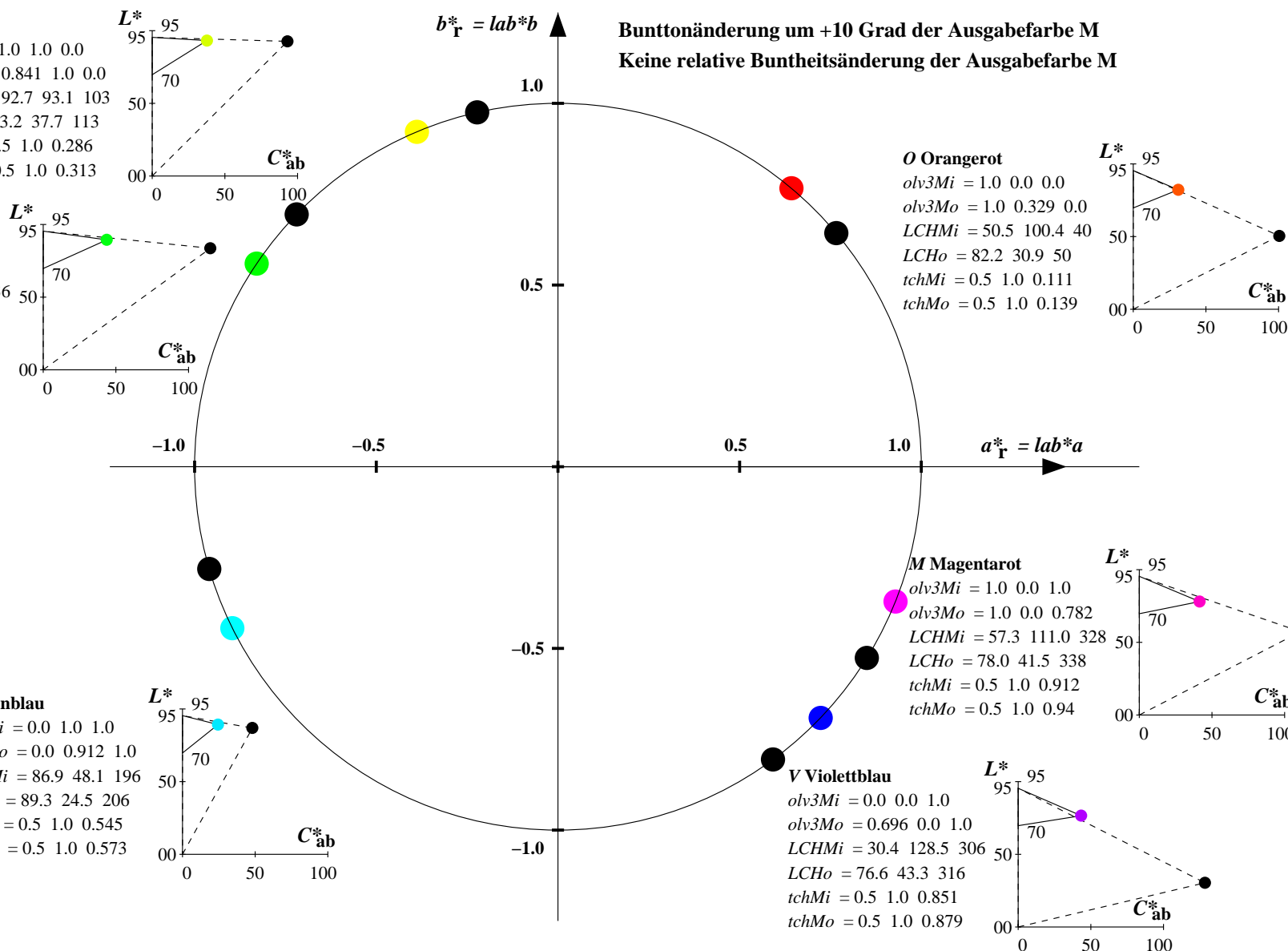
#### M Magentarot

$olv3Mi = 1.0 \ 0.0 \ 1.0$   
 $olv3Mo = 1.0 \ 0.0 \ 0.782$   
 $LCHMi = 57.3 \ 111.0 \ 328$   
 $LCHo = 78.0 \ 41.5 \ 338$   
 $tchMi = 0.5 \ 1.0 \ 0.912$   
 $tchMo = 0.5 \ 1.0 \ 0.94$

#### V Violettblau

$olv3Mi = 0.0 \ 0.0 \ 1.0$   
 $olv3Mo = 0.696 \ 0.0 \ 1.0$   
 $LCHMi = 30.4 \ 128.5 \ 306$   
 $LCHo = 76.6 \ 43.3 \ 316$   
 $tchMi = 0.5 \ 1.0 \ 0.851$   
 $tchMo = 0.5 \ 1.0 \ 0.879$

**Bunttonänderung um +10 Grad der Ausgabefarbe M**  
**Keine relative Buntheitsänderung der Ausgabefarbe M**



**Relatives CIELAB-Buntheitsdiagramm:** ( $a^*_r = lab^*a$ ,  $b^*_r = lab^*b$ ) und **absolutes CIELAB Bunttondreiecks-Diagramm:** ( $L^*$ ,  $C^*_{ab}$ ) für Ein- (---) und Ausgabe (----) TLS00: Eingabe (i) Farbmatrik-Sytem; Sechs Bunttonwinkel des Farbgerätes: (40.0, 102.8, 136.0, 196.4, 306.3, 328.2); Vier Bunttonwinkel der Elementarfarben: (25.5, 92.3, 162.2, 271.7)  
TLS70: Ausgabe (o) Farbmatrik-Sytem; Sechs Bunttonwinkel des Farbgerätes: (21.9, 107.3, 142.3, 197.9, 293.9, 326.1); Vier Bunttonwinkel der Elementarfarben: (25.5, 92.3, 162.2, 271.7)

